

Gelu COMAN

TRANSFER DE CĂLDURĂ ȘI MASĂ

INTRODUCERE

Diversitatea domeniilor de aplicare a fenomenelor de transfer de căldură se datorește multiplelor aspecte sub care acestea se manifestă în procesele industriale.

Deși în anumite procese tehnologice transferul de căldură participă ca fenomen secundar, cunoașterea modului în care acesta poate influența bunul mers al procesului respectiv face posibilă dirijarea corespunzătoare a transferului de căldură, în scopul asigurării unei desfășurări optime din punct de vedere funcțional și economic.

Obiectivele principale ale studiului transferului de căldură sunt următoarele:

- determinarea sau asigurarea cantității de căldură transmisă în unitatea de timp, în condiții date de temperatură;

- verificarea compatibilității materialelor utilizate în construcția instalațiilor și aparatelor cu regimul de temperatură la care sunt supuse. O deosebită importanță prezintă studiul calitativ și cantitativ al materialelor care să permită transferul de căldură în condiții economice optime sau al materialelor termoizolatoare care să limiteze pierderile sau pătrunderile de căldură în exterior.

- stabilirea metodelor și procedeelelor de intensificare sau de micșorare a transferului de căldură.

Aplicațiile industriale ale transferului de căldură sunt foarte complexe și necesită studierea, de la caz la caz, a tuturor fenomenelor sub care se manifestă.

Caracteristicile agenților de lucru care participă la realizarea transferului de căldură în mașinile și instalațiile termice ridică multiple aspecte sub care trebuie abordat transferul de căldură (parametri termofizici și termodinamici diferiți, comportare diferită etc).

Mărimi caracteristice transferului de căldură

Transferul de căldură utilizează o serie de noțiuni care, deși sunt folosite curent și în termodinamică, hidrodinamică (convecția presupune mișcarea fluidului) sau electrodinamică (radiația presupune existența undelor electromagnetice) sunt denumiri specifice.

Cele mai utilizate mărimi sunt:

- *câmpul de temperatură* reprezintă totalitatea valorilor temperaturii la un moment dat τ ; este o funcție de poziția punctului considerat și timp:

- în coordonate plane: $t = t(x, y, z, \tau)$

- în coordonate cilindrice: $t = t(r, \varphi, z, \tau)$

- în coordonate sferice: $t = t(r, \varphi, \psi, \tau)$

unde, r este raza cilindrului sau sferei, φ - latitudinea punctului și ψ - azimutul punctului.

Funcție de dependența temperatură – timp, câmpul de temperatură poate fi:

- câmp staționar (permanent sau constant) când temperatura în punctul

considerat are aceeași valoare în orice moment ($\frac{\partial t}{\partial \tau} = 0$):

- în coordonate plane: $t = t(x, y, z)$

- în coordonate cilindrice: $t = t(r, \varphi, z)$

- în coordonate sferice: $t = t(r, \varphi, \psi)$

câmp nestaționar (nestabilizat sau variabil când temperatura variază în timp)

$$\frac{\partial t}{\partial \tau} \neq 0 \rightarrow \begin{cases} t = t(x, y, z, \tau) \\ t = t(r, \varphi, z, \tau) \\ t = t(r, \varphi, \psi, \tau) \end{cases}$$

În funcție de numărul de coordonate care apar, câmpul de temperatură poate fi:

- câmp tridimensional $t = t(x, y, z)$;
- câmp bidimensional $t = t(x, y)$;
- câmp unidimensional $t = t(x)$.

În general, tehnica studiază câmpurile termice staționare deoarece, în majoritatea proceselor industriale este necesară menținerea constantă a temperaturilor. Procesul nestaționar este caracteristic perioadei de punere în funcțiune sau oprire a unei instalații, proceselor de încălzire, răcire. Pentru un interval de timp foarte mare, teoretic infinit, procesul nestaționar încetează. Exemple de câmpuri de temperatură (fig 1.)

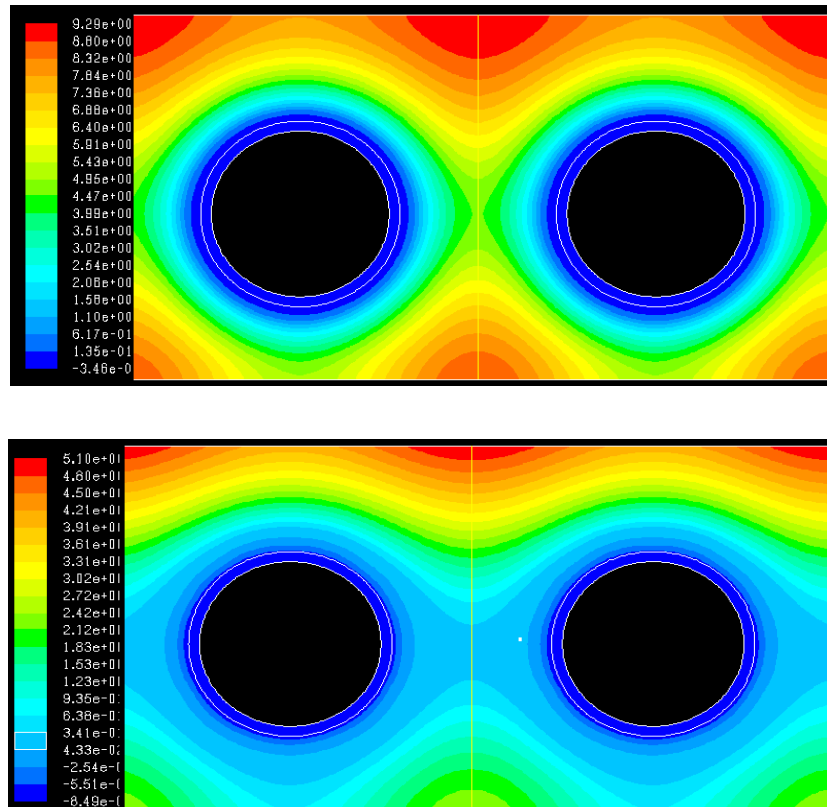


Fig.1

Suprafața izotermă reprezintă totalitatea punctelor din spațiul considerat, care la momentul τ au aceeași temperatură t .

În câmpul termic staționar, orice suprafață izotermă își păstrează neschimbată forma și poziția, adică sunt suprafețe izoterme staționare, iar în câmpul termic nestaționar o suprafață izotermă determinată își modifică, în funcție de timp, forma și poziția, deci sunt suprafețe izoterme nestaționare.

Deoarece, la un moment dat, într-un punct al câmpului de temperatură nu pot coexista două temperaturi diferite, rezultă că suprafețele izoterme nu se intersectează. Ele sunt suprafețe închise sau se opresc la marginea corpului.

Gradient de temperatură

Considerăm două suprafețe izoterme infinit apropiate, de temperaturi t și $t + dt$ (fig.2.). Intersectând cele două suprafețe cu un plan pe o direcție oarecare x , se constată o variație a temperaturii care, raportată la lungime are valoarea $\frac{\partial t}{\partial x}$.

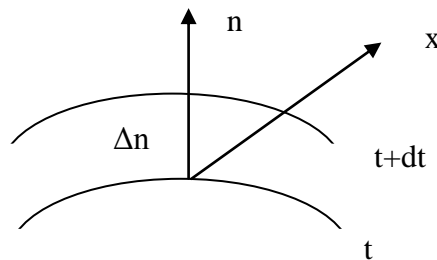


Fig.2.

Raportul maxim $\left(\frac{\partial t}{\partial x}\right)_{\max}$ apare atunci când direcția oarecare x se confundă cu normala la suprafețele izoterme:

$$\left(\frac{\partial t}{\partial x}\right)_{\max} = \frac{\partial t}{\partial n} \quad (1)$$

În câmpul de temperatură variația $\frac{\partial t}{\partial n}$ este modulul unui vector cu direcție perpendiculară pe cele două izoterme infinit apropiate, a cărei mărime este egală cu limita raportului dintre diferența celor două temperaturi și distanța normalei lor comune. Sensul vectorului este astfel încât el să corespundă creșterii temperaturii. Acest vector se numește gradientul de temperatură:

$$\text{grad } t = \frac{\partial t}{\partial n} \bar{n}_o = \nabla t \quad (2)$$

cu: \bar{n}_o - vectorul normalei;
 ∇ - operatorul nabra;

$\frac{\partial t}{\partial n}$ - derivata temperaturii în lungul normalei (deoarece temperatura variază și cu timpul se consideră derivata parțială).

Deci, gradientul de temperatură este un vector având direcția normală pe suprafețele izoterme, dirijat în sensul creșterii temperaturii, al cărui modul este egal cu derivata în funcție de distanță a temperaturii pe această direcție.

Valoarea gradientului de temperatură cu semn schimbat reprezintă căderea de temperatură.

Unitatea de măsură a gradientului de temperatură este [K/m] sau [°C/m].

Flux de căldură (flux termic), Φ , reprezintă cantitatea de căldură ce se transmite printr-un corp sau de la un corp la altul printr-o suprafață izotermă, S, în unitate de timp, τ :

$$\Phi = \frac{dQ}{d\tau} \text{ [W]} \quad (3)$$

Fluxul termic unitar (densitatea de flux termic) q , reprezintă fluxul termic raportat la unitatea de suprafață:

$$q = \frac{d\Phi}{dS} \text{ [W/m}^2\text{]} \quad (4)$$

Modurile elementare de transfer de căldură

Procesul de transfer de căldură este un proces complex format din moduri diferite de transfer de căldură. Clasificarea acestuia în moduri simplificate are drept scop facilitarea calculelor necesare pentru urmărirea întregului proces, în toată complexitatea lui.

Transferul de căldură se poate realiza în următoarele moduri:

Conducția termică (transfer de căldură conductiv) reprezintă transferul direct al căldurii în interiorul aceluiași corp material lipsit de mișcări aparente, în masa căruia există diferențe de temperatură sau în corpuri diferite, atunci când între acestea există un contact intim și diferențe de temperatură. Are loc prin transportul electronic, fonic (oscilațiile particulelor componente) și prin radiație (emisie și absorbție) între particulele elementare învecinate (cu excepția gazelor). Este caracteristic corpurilor solide, la fluide (lichide și gaze) se manifestă numai în stratul limită laminar. Depinde de natura corpului și de spectrul de izoterme.

Legea conductiei termice este legea lui Fourier după care, sensul fluxului de căldură este de la punctele cu temperaturi mai ridicate la punctele cu temperaturi mai scăzute (sensul negativ al gradientului de temperatură):

$$\Phi = -\lambda \cdot S \cdot \text{grad } t \text{ [W]} \quad (5)$$

Convecția termică (transferul de căldură convectiv) reprezintă schimbul de căldură dintr-un punct în altul prin amestecarea unei cantități de fluid, din masa lui, cu

alta cu temperatură diferită, din altă parte. Deci, convecția presupune obligatoriu o mișcare a corpului prin care trece căldura și deci, este specifică fluidelor.

Un caz special îl reprezintă transferul de căldură între un fluid și pereții solizi limitatori, proces care are loc atât prin convecție cât și prin contactul direct dintre fluid și perete. Astfel, particulele de fluid de lângă perete primesc sau cedează căldura de la acesta prin conducție, se amestecă apoi cu particulele de fluid cu altă temperatură, transportând căldura prin conducție și convecție.

Legea de bază a convecției termice este legea Newton :

$$\Phi = \alpha \cdot S \cdot |t_p - t_f| \quad [W] \quad (6)$$

Radiația termică reprezintă schimbul de căldură prin unde electromagnetice. Mecanismul de transformare a energiei termice în energie radiantă, pe baza interpretării lui Planck, se prezintă astfel: în urma unui șoc dintre molecule, atomi, electroni liberi în interiorul unui corp, electronii sunt scoși din starea de echilibru și trec de la un nivel energetic la altul. La revenirea la poziția inițială, care reprezintă o stare de stabilitate mai mare, energia termică primită în urma șocului este eliberată sub forma undelor electromagnetice care sunt emise în spațiu.

Capitolul 1

CONDUȚIA TERMICĂ

Conducția termică reprezintă procesul de transfer de căldură dintr-o zonă cu temperatură mai ridicată către o zonă cu temperatură mai scăzută în interiorul unui mediu solid, lichid sau gazos sau între medii diferite în contact fizic direct, sub influența unei diferențe de temperatură, fără o deplasare aparentă a particulelor care alcătuiesc mediile respective.

Mecanismul transferului de căldură prin conducție se desfășoară diferit prin corpurile solide, lichide sau gazoase :

a) la corpurile solide nemetalice (dielectrice), conducția termică se realizează prin vibrația termică a rețelei cristaline, care poate fi considerată ca o suprapunere de unde acustice elastice. Astfel, dacă un cristal are două fețe la temperaturi diferite, energia termică este transferată prin fononi de la fața caldă la cea rece prin radiație acustică, în mod asemănător propagării energiei în spațiu prin unde electromagnetice (conceptul de fonon în conducția termică este analog celui de foton din teoria radiației electromagnetice). La trecerea prin material, fononii sunt atenuați datorită fenomenului de dispersie (împrăștiere), atenuarea undelor termoacustice fiind o mărime proporțională cu rezistența termică la conducție;

b) la corpurile solide metalice și semiconductoare, conducția termică se realizează prin fononi și electronii liberi (de valență) considerați ca un gaz monoatomic perfect. Transferul de energie prin electronii liberi este de (10...30) ori mai mare decât cel prin fononi;

c) la corpurile lichide și gazoase, conducția termică se realizează datorită ciocnirilor elastice din aproape în aproape între molecule sau atomi, poziția reciprocă a acestora rămânând însă aceeași în spațiu, și prin deplasarea electronilor liberi.

1.1. Ecuațiile diferențiale ale conducției termice

Calculul proceselor de transfer de căldură prin conducție termică necesită cunoașterea distribuției temperaturii în spațiu și timp, lucru care se obține prin rezolvarea unor ecuații diferențiale specifice proceselor respective de transfer de căldură. Ecuațiile se stabilesc, de regulă, prin scrierea bilanțurilor termice, în conformitate cu primul principiu al termodinamicii, la elementele diferențiale de volum.

Condițiile generale de desfășurare a proceselor de conducție termică se referă la stabilirea următoarelor elemente:

- materialul este omogen sau neomogen;
- materialul este izotrop sau anizotrop;
- materialul conține sau nu surse interioare de căldură cu o distribuție dată;
- regimul termic este constant sau tranzitoriu;
- propagarea căldurii are loc uni, bi sau tridirecțional.

Relația de bază a transferului de căldură prin conducție termică a fost propusă de Fourier, exprimând fluxul de căldură printr-un material cu conductivitatea termică λ :

$$\Phi = -\lambda \cdot S \cdot \text{grad } t \text{ [W]}, \quad (1.1)$$

unde: Φ [W] este fluxul de căldură transmis prin conducție;

λ [W/m.K] - conductivitatea termică a materialului;
 S [m²] - suprafața de transfer de căldură măsurată perpendicular pe direcția de propagare a căldurii;
 grad t [grd/m] - gradientul de temperatură.

Pentru corpurile solide, dependența conductivității termice cu temperatura poate fi considerată, cu suficientă aproximație, liniară, de forma :

$$\lambda = \lambda_o \cdot [1 \pm \beta \cdot (t - t_o)] \quad (1.2)$$

unde : λ_o este conductivitatea termică la temperatura de referință t_o ;

β - constantă (+ sau -) determinată experimental, ce depinde de natura materialului.

În cazul în care temperatura de referință $t_o = 0^\circ\text{C}$, se obține :

$$\lambda = \lambda_o \cdot (1 \pm \beta \cdot t) \quad (1.3)$$

Metoda de calcul obișnuită în tehnică se bazează pe utilizarea unor valori medii ale conductivității termice λ_m definită prin media integrală :

$$\begin{aligned} \lambda_m &= \frac{1}{t_2 - t_1} \cdot \int_{t_1}^{t_2} \lambda \cdot dt = \frac{1}{t_2 - t_1} \cdot \int_{t_1}^{t_2} \lambda_o \cdot (1 \pm \beta \cdot t) \cdot dt = \\ &= \lambda_o \cdot \left(1 \pm \beta \cdot \frac{t_1 + t_2}{2} \right) = \lambda_o \cdot (1 \pm \beta \cdot t_m) \end{aligned} \quad (1.4)$$

În cazul în care conductivitatea termică variază cu temperatura după o lege oarecare, se poate utiliza relația :

$$\lambda_m \Big|_{T_1}^{T_2} = \frac{T_1 \cdot \lambda_m \Big|_0^{T_1} - T_2 \cdot \lambda_m \Big|_0^{T_2}}{T_1 - T_2} \quad (1.5)$$

Fourier a stabilit această relație pentru un material omogen, fără surse interioare de căldură, în regim termic staționar, propagarea căldurii făcându-se unidirecțional.

1.2. Condiții de determinare univocă a proceselor de conducție termică

Relația scrisă anterior descrie categorii largi de fenomene de transfer de căldură prin conducție termică. Considerarea unui proces particular reprezintă, din punct de vedere matematic, atașarea la ecuațiile generale a unui set de elemente descriptive specifice, numite condiții de determinare univocă a procesului, care împreună cu ecuațiile diferențiale dau o descriere fizico-matematică completă a procesului, permițând rezolvarea problemei prin metoda analitică, numerică sau experimentală.

Condițiile de determinare univocă a proceselor de conducție termică cuprind:

- condiții geometrice: determină forma, geometria și dimensiunile corpului în care se desfășoară procesul de conducție termică;

- condiții fizice: stabilesc valorile proprietăților fizice ale materialului corpului (λ , ρ , c_p etc) și variația în timp și spațiu a surselor interioare de căldură;

- condiții inițiale: determinarea distribuției temperaturii în interiorul corpului în momentul inițial, $\tau = 0$, $t = t(x, y, z)$ la $\tau = 0$.

Caz particular: distribuția uniformă a temperaturii în corp $t = t_o = \text{constant}$ la $\tau = 0$.

- **condiții la limită sau de contur:** stabilesc legătura corpului cu mediul ambiant. Obișnuit, condițiile la limită sunt condiții de schimb între un mediu conductiv și unul convectiv sau convectiv și radiant și condiții de contact între două medii conductive.

Condițiile la limită se clasifică în patru categorii (spețe):

- **condiții la limita de speța I** (Dirichlet): presupun cunoașterea distribuției temperaturii pe suprafața corpului în fiecare moment τ :

$$t_p = t_p(x, y, z)$$

Caz particular: temperatură constantă pe suprafața corpului $t_p = \text{const}$.

- **condiții la limita de speța a II-a** (Newmann); presupun cunoașterea fluxului termic pe suprafața corpului în fiecare moment τ :

$$q_p = q_p(x, y, z, \tau)$$

Caz particular: densitatea de flux termic constantă în timp pe suprafața corpului $q_p = \text{const}$.

- **condiții la limita de speța a III-a** (Fourier): presupun cunoașterea temperaturii mediului ambiant și legea după care se desfășoară transferul de căldură între suprafața corpului și mediul ambiant (fig.1). Procesul de transfer de căldură între suprafața unui corp și mediul ambiant se desfășoară după legea lui Newton:

$$q_p = \alpha(t_p - t_f), [W/m^2]$$

Considerând pe suprafața corpului o suprafață unitară, conform legii conservării energiei, fluxul termic transferat prin conducție prin corp, prin suprafața unitară este egal cu fluxul termic preluat prin convecție de către fluid pentru aceeași suprafață unitară:

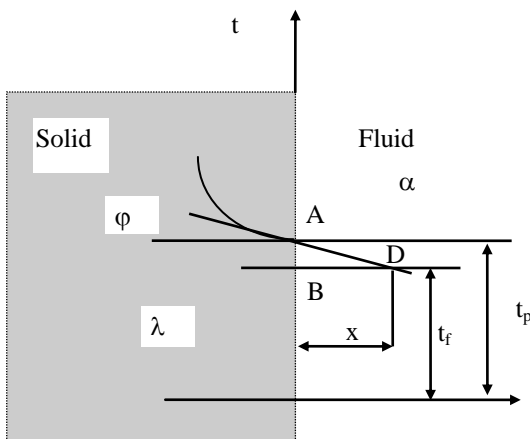


Fig.1

$$\alpha \cdot (t_p - t_f) = -\lambda_p \cdot \left(\frac{\partial t}{\partial x} \right)_p \quad (1.6)$$

Panta curbei de variație a temperaturii prin corp va fi:

$$\text{tg } \varphi = - \left(\frac{\partial t}{\partial x} \right)_p = \frac{\alpha \cdot (t_p - t_f)}{\lambda_p} \quad (1.7)$$

Din ΔABD rezultă:

$$\text{tg } \varphi = \frac{t_p - t_f}{x} \quad (1.8)$$

Rezultă :

$$x = \frac{\lambda_p}{\alpha} \quad (1.9)$$

Deci, în masa fluidului se determină un punct $D(x, t_p, t_f)$ prin care trebuie să treacă toate tangentele la curba de temperatură într-un punct de pe suprafața corpului. Punctul D se numește punct director, iar x este subtangenta la curba de temperatură, independentă de forma suprafeței corpului.

d) - **condiții la limita de speța a IV** (de contact) definesc schimbul superficial de căldură prin conducție direct între corpuri diferite fiecare fiind omogen, cu λ , ρ și c_p rămânând în limite strânse.

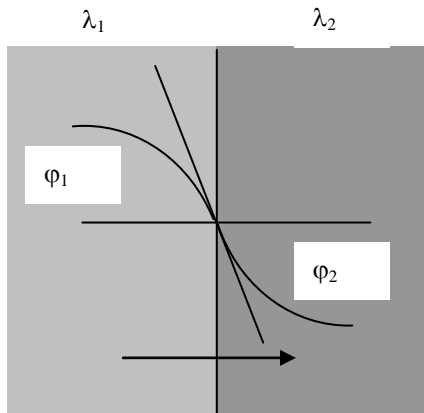


Fig.2

Considerând un contact termic perfect între suprafețele corpurilor vecine (fig.2), se poate scrie egalitatea fluxurilor termice prin suprafețele unitare de contact:

$$q_p = -\lambda_1 \cdot \left(\frac{\partial t}{\partial x} \right)_{p1} = \lambda_2 \cdot \left(\frac{\partial t}{\partial x} \right)_{p2} \quad (1.10)$$

Frângerea liniilor de curent care exprimă legea refracției fluxului termic în medii cu conductivități termice diferite este dată de relația:

$$\frac{\operatorname{tg} \varphi_1}{\operatorname{tg} \varphi_2} = \frac{-\left(\frac{\partial t}{\partial x} \right)_{p1}}{\left(\frac{\partial t}{\partial x} \right)_{p2}} = \frac{\lambda_2}{\lambda_1} \quad (1.11)$$

Deoarece la contactul termic perfect al celor două corpuri, temperatura suprafeței de contact este aceeași, tangentele la curbele de temperatură duse din suprafața de separație trec prin același punct.

În continuare, se va prezenta conducția termică în regim staționar prin corpuri fără surse interioare de căldură, deoarece este cazul cel mai des întâlnit în tehnică.

1.3. Conducția termică în regim staționar prin corpuri fără surse interioare de căldură

Studiul transferului de căldură prin conducție constă în stabilirea ecuației câmpului de temperatură (variația temperaturii prin corp) și a unei relații de calcul a fluxului de căldură, Φ [W] și a variantelor acestuia, densitatea de flux termic, q [W/m²] sau fluxul termic liniar, Φ_L [W/m].

A. PERETE PLAN

Perete plan omogen cu temperaturi cunoscute pe suprafețele limită (condiții la limită de speța I-a)

Considerăm un perete plan omogen de grosime δ [m], dintr-un material cu conductivitatea termică λ [W/m.K], pentru care se cunosc temperaturile pe suprafețele extreme, t_{p1} , respectiv, t_{p2} [°C] ($t_{p1} > t_{p2}$).

Dacă lungimea și înălțimea peretelui sunt mult mai mari decât grosimea acestuia, se pot neglija efectele de capăt, astfel încât temperatura variază unidirecțional.

Ecuția câmpului de temperatură devine $t = t(x)$, iar gradientul temperaturii

este grad $t = \frac{dt}{dx}$ (fig. 3).

In acest caz, legea lui Fourier este :

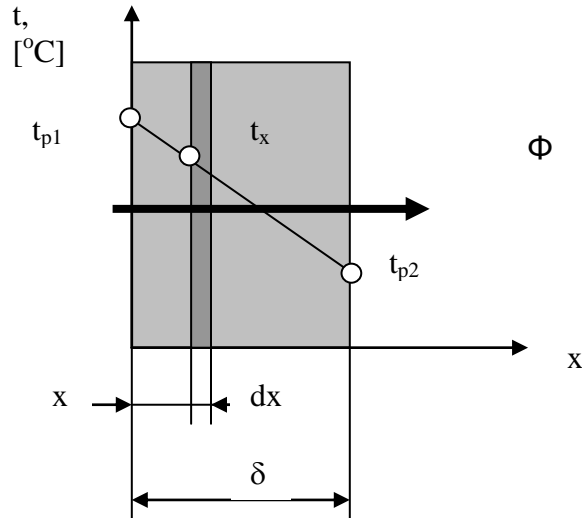


Fig. 3

$$\Phi = -\lambda \cdot S \cdot \frac{dt}{dx} \quad (1.12)$$

Separând variabilele :

$$dt = -\frac{\Phi}{\lambda \cdot S} \cdot dx \quad (1.13)$$

Prin integrare, se obține :

$$t_x = -\frac{\Phi}{\lambda \cdot S} \cdot x + C \quad (1.14)$$

Constanta de integrare C se determină punând condițiile la limită de speța I-a :

- pentru $x = 0$, $t_x = t_{p1} = C$

- pentru $x = \delta$, $t_x = t_{p2} = -\frac{\Phi}{\lambda \cdot S} \cdot \delta + C$

Din prima condiție constanta de integrare $C = t_{p1}$. Rezultă ecuația câmpului de temperatură :

$$t_x = -\frac{\Phi}{\lambda \cdot S} \cdot x + t_{p1} \quad (1.15)$$

Concluzie : variația temperaturii printr-un perete plan este liniară.

Fluxul termic transmis prin peretele plan se determină integrând relația (1.13) :

$$\int_{t_{p1}}^{t_{p2}} dt = -\frac{\Phi}{\lambda \cdot S} \cdot \int_0^{\delta} dx \quad (1.16)$$

Rezultă :

$$\Phi = \frac{\lambda \cdot S}{\delta} \cdot (t_{p1} - t_{p2}) = \frac{t_{p1} - t_{p2}}{\frac{\delta}{\lambda}} \cdot S = \frac{t_{p1} - t_{p2}}{R_t} \cdot S \quad [W], \quad (1.17)$$

unde

$$R_t = \frac{\delta}{\lambda} \quad [m^2 \text{grad}/W] \quad (1.18)$$

reprezintă rezistența termică a peretelui plan.

În calculele practice se folosește noțiunea de densitate termică : fluxul termic raportat la unitatea de suprafață de transfer de căldură :

$$q = \frac{\Phi}{S} = \frac{t_{p1} - t_{p2}}{\frac{\delta}{\lambda}} = \frac{t_{p1} - t_{p2}}{R_t} \quad [W/m^2] \quad (1.19)$$

Perete plan omogen mărginit de două fluide cu temperaturi cunoscute
(condiții la limită de speța a III-a)

Se consideră transferul de căldură între două fluide cu temperaturile t_{f1} , respectiv, t_{f2} , cunoscute ($t_{f1} > t_{f2}$) despărțite de un perete plan omogen de grosime δ și conductivitate termică λ (fig. 4).

Acest proces implică transmiterea căldurii prin convecție de la fluidul cald la perete, prin conducție prin perete și prin convecție de la perete la fluidul rece:

$$q_1 = \alpha_1 \cdot (t_{f1} - t_{p1}) \quad (1.20)$$

$$q_2 = \frac{t_{p1} - t_{p2}}{\frac{\delta}{\lambda}} \quad (1.21)$$

$$q_3 = \alpha_2 \cdot (t_{p2} - t_{f2}) \quad (1.22)$$

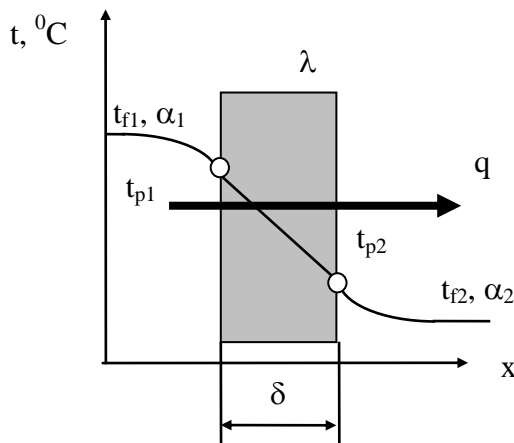


Fig. 4

La suprafața peretelui se constată o scădere bruscă a temperaturii fiecărui fluid în stratul limită termic, a cărei grosime se determină din condițiile la limită de speța a III-a.

Punând condiția de unidirecționalitate a fluxului termic, $q_1 = q_2 = q_3 = q$, se obține:

$$q = \frac{t_{f1} - t_{f2}}{\frac{1}{\alpha_1} + \frac{\delta}{\lambda} + \frac{1}{\alpha_2}} = \frac{t_{f1} - t_{f2}}{R_{s1} + R_t + R_{s2}} = k \cdot (t_{f1} - t_{f2}) \quad [\text{W/m}^2], (1.23)$$

unde:

$$R_s = \frac{1}{\alpha} \quad [\text{m}^2 \cdot \text{grad/W}] \text{ este rezistența de suprafață (superficială)} ; \quad (1.24)$$

$$k = \frac{1}{\frac{1}{\alpha_1} + \frac{\delta}{\lambda} + \frac{1}{\alpha_2}} \quad [\text{W/m}^2 \cdot \text{grad}] \text{ este coeficientul total (global) de transfer de}$$

căldură (1.25)

Temperaturile pe suprafețele peretelui sunt:

$$t_{p1} = t_{f1} - \frac{q}{\alpha_1} \quad [^\circ\text{C}] \quad (1.26)$$

$$t_{p2} = t_{p1} - q \cdot \frac{\delta}{\lambda} = t_{f1} - q \cdot \left(\frac{1}{\alpha_1} + \frac{\delta}{\lambda} \right) = t_{f2} + \frac{q}{\alpha_2} \quad [^\circ\text{C}] \quad (1.27)$$

Perete plan neomogen (condiții la limită de speța a IV-a)

Corpurile neomogene sunt corpurile cu structuri compuse (mai multe straturi) cu sau fără contacte perfecte între acestea. Fiecare strat se consideră alcătuit dintr-un material omogen cu dimensiuni și conductivitate termică cunoscute. Transferul de căldură se consideră unidirecțional sau poate fi aproximat cu un proces unidirecțional.

a) Perete plan neomogen cu temperaturi cunoscute pe suprafețele limită (fig.5)

Considerăm un perete plan format din "3" straturi perpendiculare pe direcția fluxului termic, de grosime δ_i și conductivitate termică, λ_i , constantă. Temperaturile pe suprafețele extreme sunt cunoscute, t_{p1} , respectiv, t_{p4} ($t_{p1} > t_{p4}$).

Pe lângă condițiile la limită de speța I-a se impun și condițiile la limită de speța a IV-a (de contact): datorită contactului termic perfect între straturi, suprafețele de contact au aceeași temperatură, cu valoare necunoscută.

Fiecare strat poate fi considerat un strat omogen, deci, i se poate aplica relația de calcul a densității de flux termic relația (1.19).

Rezultă:

$$q_1 = \frac{t_{p1} - t_{p2}}{\frac{\delta_1}{\lambda_1}} \quad (1.28)$$

$$q_2 = \frac{t_{p2} - t_{p3}}{\frac{\delta_2}{\lambda_2}} \quad (1.29)$$

$$q_3 = \frac{t_{p3} - t_{p4}}{\frac{\delta_3}{\lambda_3}} \quad (1.30)$$

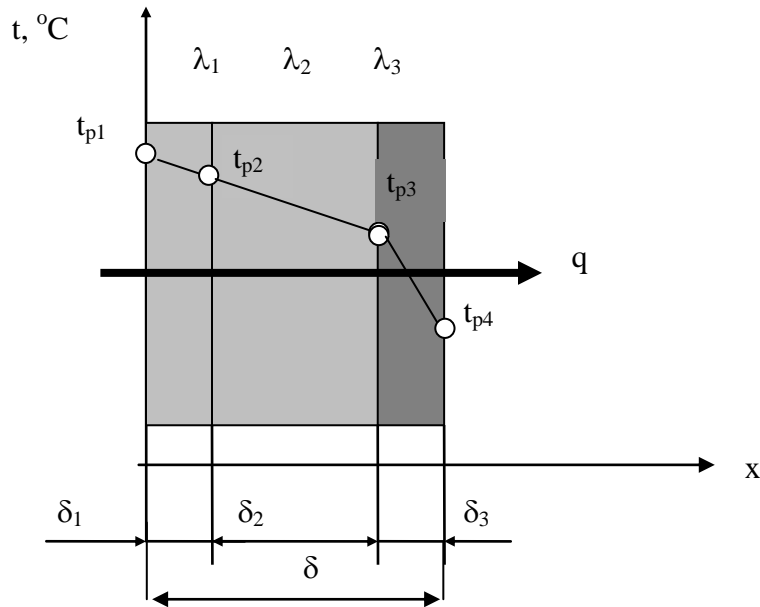


Fig.5

Punând condiția de unidirecționalitate a fluxului termic, $q_1 = q_2 = q_3 = q_n$, se obține:

$$q = \frac{t_{p1} - t_{p4}}{\sum \frac{\delta_i}{\lambda_i}} = \frac{t_{p1} - t_{p4}}{\sum R_{ti}}, \text{ [W/m}^2\text{]} \quad (1.31)$$

Temperaturile pe suprafețele de contact se calculează cu relația:

$$t_{p_{i+1}} = t_{p1} - q \cdot \sum_{i=1}^n \frac{\delta_i}{\lambda_i}, \text{ [}^\circ\text{C]} \quad (1.32)$$

În unele aplicații tehnice (calculul izolațiilor termice), peretele plan neomogen este asimilat unui perete plan omogen de grosime $\delta = \sum \delta_i$ și conductivitate termică λ_{ech} . Se determină din condiția egalității densităților de flux termic:

$$\frac{t_{p1} - t_{p4}}{\sum \frac{\delta_i}{\lambda_i}} = \frac{t_{p1} - t_{p4}}{\frac{\delta}{\lambda_{ech}}} \quad (1.33)$$

Rezultă:

$$\lambda_{ech} = \frac{\delta}{\sum \frac{\delta_i}{\lambda_i}}, \text{ [W/m.K]} \quad (1.34)$$

Nu se mai face deoarece nu este un caz real

Perete plan neomogen mărginit de două fluide cu temperaturi cunoscute (fig.6)

Considerăm un perete plan format din “3” straturi perpendiculare pe direcția fluxului termic, de grosime δ_i și conductivitate termică, λ_i , constantă, mărginit de două fluide cu temperaturi cunoscute, t_{f1} , respectiv, t_{f2} ($t_{f1} > t_{f2}$).

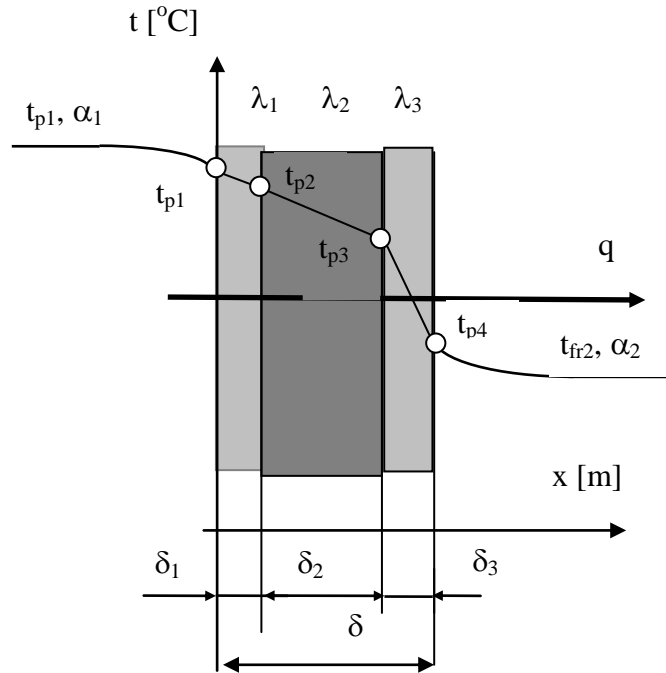


Fig.6

Procesul complex de transfer de căldură poate fi defalcat în 5 procese simple :

$$q_1 = \alpha_1 \cdot (t_{f1} - t_{p1}) \quad (1.35)$$

$$q_2 = \frac{t_{p1} - t_{p2}}{\frac{\delta_1}{\lambda_1}} \quad (1.36)$$

$$q_3 = \frac{t_{p2} - t_{p3}}{\frac{\delta_2}{\lambda_2}} \quad (1.37)$$

$$q_4 = \frac{t_{p3} - t_{p4}}{\frac{\delta_3}{\lambda_3}} \quad (1.38)$$

$$q_5 = \alpha_2 \cdot (t_{p4} - t_{f2}) \quad (1.39)$$

Punând condiția de unidirecționalitate a fluxului termic, $q_1 = q_2 = q_3 = \dots = q_n$, se obține:

$$q = \frac{t_{f1} - t_{f2}}{\frac{1}{\alpha_1} + \sum \frac{\delta_i}{\lambda_i} + \frac{1}{\alpha_2}} = \frac{t_{f1} - t_{f2}}{R_{s1} + \sum R_{\dot{u}} + R_{s2}} = k \cdot (t_{f1} - t_{f2}) \quad [\text{W/m}^2] \quad (1.40)$$

unde $k = \frac{1}{\frac{1}{\alpha_1} + \sum \frac{\delta_i}{\lambda_i} + \frac{1}{\alpha_2}} = \frac{1}{R_{s1} + \sum R_{\dot{u}} + R_{s2}} \quad [\text{W/m}^2 \cdot \text{grad}]$ - coeficientul total de transfer de
căldură (1.41)

Temperaturile pe suprafețele laterale și pe suprafețele de contact ale peretelui:

$$t_{pi} = t_{f1} - q \cdot \left(\frac{1}{\alpha_1} + \sum_{i=1}^{n-1} \frac{\delta_i}{\lambda_i} \right) \quad [^{\circ}\text{C}] \quad (1.42)$$

B. PERETE CILINDRIC

Perete cilindric omogen cu temperaturi cunoscute pe suprafețele limită
(condiții la limită de speța I-a)

Considerăm un perete cilindric omogen, de diametre d_1 , respectiv, d_2 și conductivitate termică a materialului $\lambda = \text{const}$. Temperaturile pe cele două fețe limită sunt cunoscute și constante, t_{p1} , respectiv, t_{p2} ($t_{p1} > t_{p2}$).

Presupunând lungimea cilindrului mult mai mare decât oricare dintre cele două diametre (fig.8), se pot neglija efectele de capăt, astfel încât, suprafețele izoterne sunt suprafețe cilindrice concentrice de rază r , iar propagarea fluxului termic va fi unidirecțională (radială), cu grad $t = \frac{dt}{dr}$.

Ecuatia generală a conducției termice (legea Fourier) este:

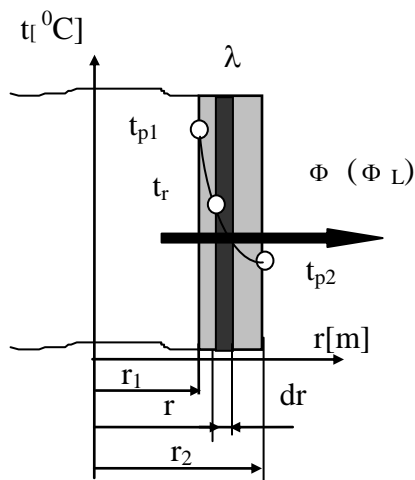
$$\Phi = -\lambda \cdot 2 \cdot \pi \cdot r \cdot L \cdot \frac{dt}{dr} \quad (1.45)$$

Separând variabilele:

$$dt = - \frac{\Phi}{2 \cdot \pi \cdot \lambda \cdot L} \cdot \frac{dr}{r} \quad (1.46)$$

Prin integrare, se obține:

$$t_r = - \frac{\Phi}{2 \cdot \pi \cdot \lambda \cdot L} \cdot \ln r + C \quad (1.47)$$



Constanta de integrare C se determină din condițiile la limită de speța I-a:

- pentru $r = r_1$

$$t_r = t_{p1} = -\frac{\Phi}{2 \cdot \pi \cdot \lambda \cdot L} \cdot \ln r_1 + C$$

- pentru $r = r_2$

$$t_r = t_{p2} = -\frac{\Phi}{2 \cdot \pi \cdot \lambda \cdot L} \cdot \ln r_2 + C$$

Rezultă:

$$C = t_{p1} + \frac{\Phi}{2 \cdot \pi \cdot \lambda \cdot L} \cdot \ln r_1 \quad (1.48)$$

Fig.8

Rezultă ecuația câmpului de temperatură printr-un perete cilindric omogen:

$$t_r = t_{p1} - \frac{\Phi}{2 \cdot \pi \cdot \lambda \cdot L} \cdot \ln \frac{r}{r_1} \quad (1.49)$$

Concluzie: *variație logaritmică de temperatură*

Fluxul termic transmis va fi:

$$\begin{aligned} \Phi &= -\lambda \cdot S \cdot \frac{dt}{dr} = -\lambda \cdot 2\pi rL \cdot \frac{dt}{dr} = -\lambda \cdot 2\pi L \frac{t_{p1} - t_{p2}}{\ln \frac{r_1}{r_2}} = \\ &= \frac{t_{p1} - t_{p2}}{\frac{1}{2\pi\lambda L} \ln \frac{d_2}{d_1}} = \frac{t_{p1} - t_{p2}}{R_t} \quad [\text{W}] \end{aligned} \quad (1.50)$$

unde:

$$R_t = \frac{1}{2\pi\lambda L} \ln \frac{d_2}{d_1} \quad [\text{grad/W}] \quad (1.51)$$

este rezistența termică a peretelui cilindric omogen.

Pentru peretele cilindric se calculează fluxul termic liniar:

$$\Phi_L = \frac{\Phi}{L} = \frac{t_{p1} - t_{p2}}{\frac{1}{2\pi\lambda} \ln \frac{d_2}{d_1}} = \frac{t_{p1} - t_{p2}}{R_{t,L}} \quad [\text{W/m}] \quad (1.52)$$

unde,

$$R_{t,l} = \frac{1}{2 \cdot \pi \cdot \lambda} \ln \frac{d_2}{d_1} \quad [\text{grdm/W}] \quad (1.53)$$

este rezistența termică liniară a peretelui cilindric omogen.

Dacă $d_2/d_1 < 1,5$ (2), în calculele tehnice, pentru fluxul termic total se poate utiliza relația de la peretele plan cu $\delta = 0,5 \cdot (d_2 - d_1)$.

Perete cilindric omogen mărginit de două fluide cu temperaturi cunoscute
(condiții la limită de speța a III-a)

Se consideră transferul de căldură între două fluide cu temperaturile t_{f1} , respectiv, t_{f2} , cunoscute ($t_{f1} > t_{f2}$) despărțite de un perete cilindric omogen cu diametrele d_1 și d_2 și conductivitate termică λ . (fig.9).

Acest proces implică transmiterea căldurii prin convecție de la fluidul cald la perete, prin conducție prin perete și prin convecție de la perete la fluidul rece:

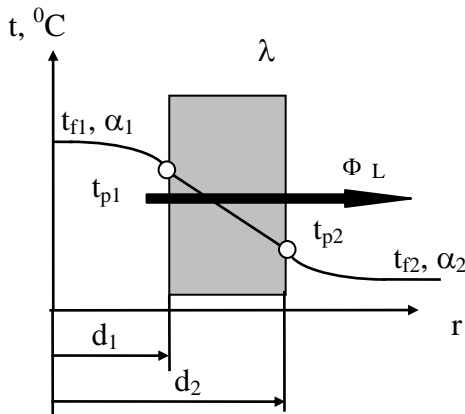


Fig.9

$$\Phi_{L1} = \alpha_1 \cdot \pi \cdot d_1 \cdot (t_{f1} - t_{p1}) \quad (1.54)$$

$$\Phi_{L2} = \frac{t_{p1} - t_{p2}}{\frac{1}{2\pi \cdot \lambda} \cdot \ln \frac{d_2}{d_1}} \quad (1.55)$$

$$\Phi_{L3} = \alpha_2 \cdot \pi \cdot d_2 \cdot (t_{p2} - t_{f2}) \quad (1.56)$$

Punând condiția de unidirecționalitate a fluxului termic, $\Phi_{L1} = \Phi_{L2} = \Phi_{L3} = \Phi_L$, se obține:

$$\begin{aligned} \Phi_L &= \frac{t_{f1} - t_{f2}}{\frac{1}{\pi \cdot d_1 \cdot \alpha_1} + \frac{1}{2\pi \cdot \lambda} \ln \frac{d_2}{d_1} + \frac{1}{\pi \cdot d_2 \cdot \alpha_2}} = \\ &= \frac{t_{f1} - t_{f2}}{R_{s1L} + R_{tL} + R_{s2L}} = k_L \cdot (t_{f1} - t_{f2}) \text{ [W/m]}, \end{aligned} \quad (1.57)$$

unde:

$$R_{sL} = \frac{1}{\pi \cdot d \cdot \alpha} \quad [\text{m.grd/W}] \quad (1.58)$$

este rezistența de suprafață (superficială);

$$k_L = \frac{1}{\frac{1}{\pi \cdot d_1 \cdot \alpha_1} + \frac{1}{2\pi \cdot \lambda} \ln \frac{d_2}{d_1} + \frac{1}{\pi \cdot d_2 \cdot \alpha_2}} \quad [\text{W/m.grd}] \quad (1.59)$$

- coeficientul total (global) de transfer de căldură.

Temperaturile pe suprafețele peretelui sunt:

$$t_{p1} = t_{f1} - \frac{\Phi_L}{\pi \cdot d_1 \cdot \alpha_1} \quad [^\circ\text{C}] \quad (1.60)$$

$$t_{p2} = t_{f1} - \Phi_L \cdot \left(\frac{1}{\pi \cdot d_1 \cdot \alpha_1} + \frac{1}{2\pi \cdot \lambda} \ln \frac{d_2}{d_1} \right) = t_{f2} + \frac{\Phi_L}{\pi \cdot d_2 \cdot \alpha_2} \quad [^\circ\text{C}] \quad (1.61)$$

Perete cilindric neomogen (condiții la limită de speța a IV-a)

a)- cazul peretelui cilindric neomogen cu temperaturi cunoscute pe suprafețele limită

Condiderăm un perete cilindric neomogen format din 3 straturi cu diametrele d_1, \dots, d_4 , din materiale cu conductivitățile termice $\lambda_1, \dots, \lambda_3$, pentru care se cunosc temperaturile pe suprafețele extreme t_{p1} , respectiv, t_{p4} (fig.10). Conform condițiilor la limită de speța a IV-a, pe suprafețele de contact se stabilește o aceeași temperatură, necunoscută. Fiecare strat poate fi considerat un strat omogen, deci putem scrie:

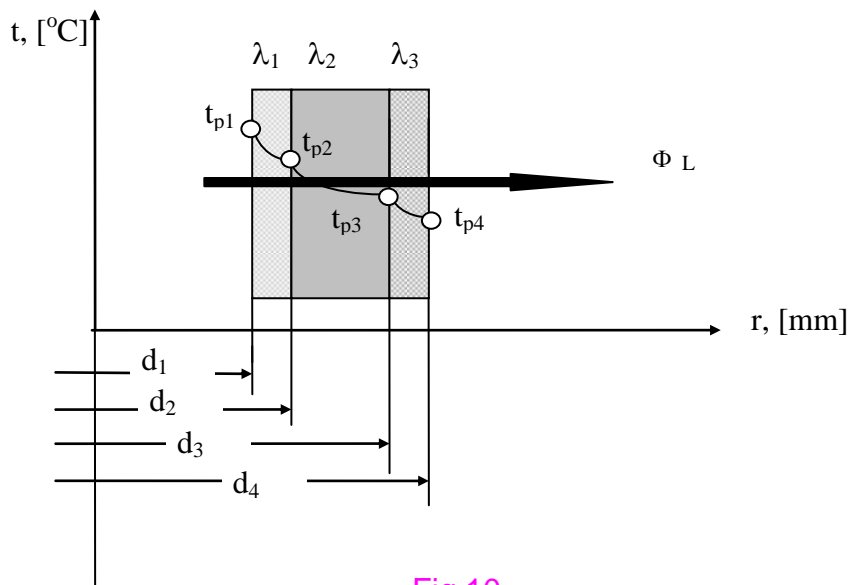


Fig.10

$$\Phi_{L1} = \frac{t_{p1} - t_{p2}}{\frac{1}{2 \cdot \pi \cdot \lambda_1} \cdot \ln \frac{d_2}{d_1}} \quad (1.62)$$

$$\Phi_{L2} = \frac{t_{p2} - t_{p3}}{\frac{1}{2 \cdot \pi \cdot \lambda_2} \cdot \ln \frac{d_3}{d_2}} \quad (1.63)$$

$$\Phi_{L3} = \frac{t_{p3} - t_{p4}}{\frac{1}{2 \cdot \pi \cdot \lambda_3} \cdot \ln \frac{d_4}{d_3}} \quad (1.64)$$

Punând condiția de unidirecționalitate a fluxului termic, se poate scrie:
 $\Phi_{L1} = \Phi_{L2} = \Phi_{L3} = \Phi_L$

Rezultă fluxul termic linear :

$$\Phi_L = \frac{t_{p1} - t_{p4}}{\sum_{i=1}^3 \frac{1}{2 \cdot \pi \cdot \lambda_i} \cdot \ln \frac{d_{i+1}}{d_i}} = \frac{t_{p1} - t_{p4}}{\sum_{i=1}^3 R_{tLi}} \quad [\text{W/m}] \quad (1.65)$$

Temperaturile pe suprafețele de contact :

$$t_{p2} = t_{p1} - \Phi_L \cdot \frac{1}{2 \cdot \pi \cdot \lambda_1} \cdot \ln \frac{d_2}{d_1} \quad [^\circ\text{C}] \quad (1.66)$$

$$t_{p3} = t_{p1} - \Phi_L \cdot \left(\frac{1}{2 \cdot \pi \cdot \lambda_1} \cdot \ln \frac{d_2}{d_1} + \frac{1}{2 \cdot \pi \cdot \lambda_2} \cdot \ln \frac{d_3}{d_2} \right) \quad [^\circ\text{C}] \quad (1.67)$$

- cazul peretelui cilindric neomogen mărginit de două fluide cu temperaturi cunoscute (fig.11)

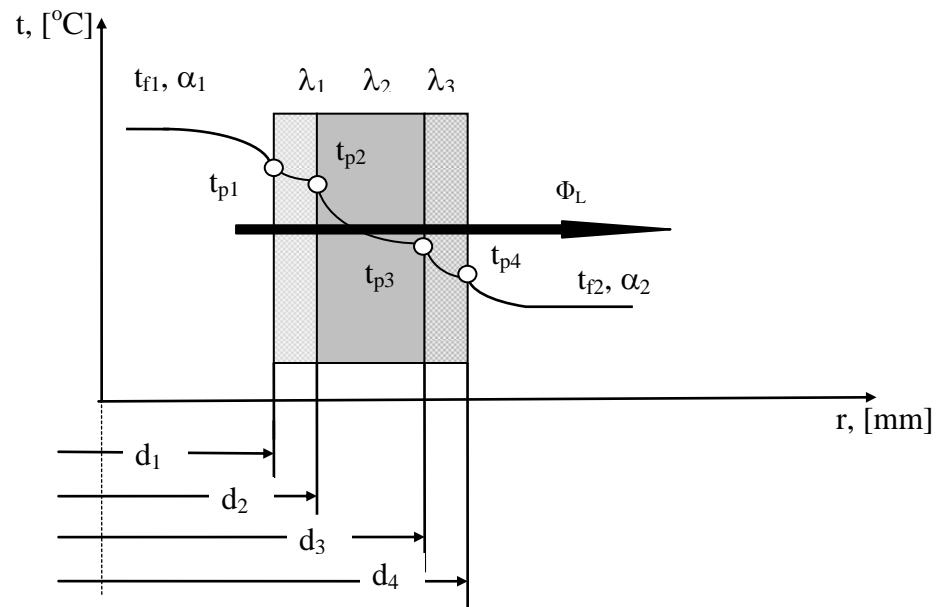


Fig.11

Conșiderăm un perete cilindric neomogen format din 3 straturi cu diametrele d_1, \dots, d_4 , din materiale cu conductivitățile termice $\lambda_1, \dots, \lambda_3$, mărginit de două fluide cu temperaturi cunoscute t_{f1} , respectiv, t_{f2} . Procesul complex de transfer de căldură poate fi defalcat în 5 procese simple:

$$\Phi_{L1} = \pi \cdot d_1 \cdot \alpha_1 \cdot (t_{f1} - t_{p1}) \quad (1.68)$$

$$\Phi_{L2} = \frac{t_{p1} - t_{p2}}{\frac{1}{2 \cdot \pi \cdot \lambda_1} \cdot \ln \frac{d_2}{d_1}} \quad (1.69)$$

$$\Phi_{L3} = \frac{t_{p2} - t_{p3}}{\frac{1}{2 \cdot \pi \cdot \lambda_2} \cdot \ln \frac{d_3}{d_2}} \quad (1.70)$$

$$\Phi_{L4} = \frac{t_{p3} - t_{p4}}{\frac{1}{2 \cdot \pi \cdot \lambda_3} \cdot \ln \frac{d_4}{d_3}} \quad (1.71)$$

$$\Phi_{L5} = \pi \cdot d_4 \cdot \alpha_2 \cdot (t_{p4} - t_{f2}) \quad (1.72)$$

Punând condiția de unidirecționalitate a fluxului termic, se poate scrie: $\Phi_{L1} = \Phi_{L2} = \dots = \Phi_{L5} = \Phi_L$

Rezultă fluxul termic liniar:

$$\begin{aligned} \Phi_L &= \frac{t_{f1} - t_{f2}}{\frac{1}{\pi \cdot d_1 \cdot \alpha_1} + \sum_1^3 \frac{1}{2\pi \cdot \lambda_i} \cdot \ln \frac{d_{i+1}}{d_i} + \frac{1}{\pi \cdot d_4 \cdot \alpha_2}} = \\ &= \frac{t_{f1} - t_{f2}}{R_{s1L} + \sum_1^3 R_{tL,i} + R_{s2L}} = k_L \cdot (t_{f1} - t_{f2}) \text{ [W/m]}, \quad (1.73) \end{aligned}$$

unde:

$$k_L = \frac{1}{\frac{1}{\pi \cdot d_1 \cdot \alpha_1} + \sum_1^3 \frac{1}{2\pi \cdot \lambda_i} \cdot \ln \frac{d_{i+1}}{d_i} + \frac{1}{\pi \cdot d_4 \cdot \alpha_2}} \text{ [W/m.grd]} \quad (1.74)$$

- coeficientul total liniar de transfer de căldură

Temperaturile pe suprafețele peretelui sunt:

$$t_{p_{i+1}} = t_{f1} - \Phi_L \cdot \left(\frac{1}{\pi \cdot d_1 \cdot \alpha_1} + \sum_{i=1}^n \frac{1}{2\pi \cdot \lambda_i} \cdot \ln \frac{d_{i+1}}{d_i} \right) [^{\circ}\text{C}] \quad (1.75)$$

C. PERETE SFERIC – **subiect facultativ**

Perete sferic omogen cu temperaturi cunoscute pe suprafețele limită (Condiții la limită de speța I-a)

Considerăm un perete sferic omogen cu diametrele d_1 și d_2 , dintr-un material cu conductivitatea termică λ , pentru care se cunosc temperaturile pe suprafețele limită, t_{p1} , respectiv, t_{p2} (fig.14). În cazul peretelui cilindric, simetria este centrală, deci, temperatura variază numai radial. Suprafețele izoterme sunt suprafețe sferice concentrice.

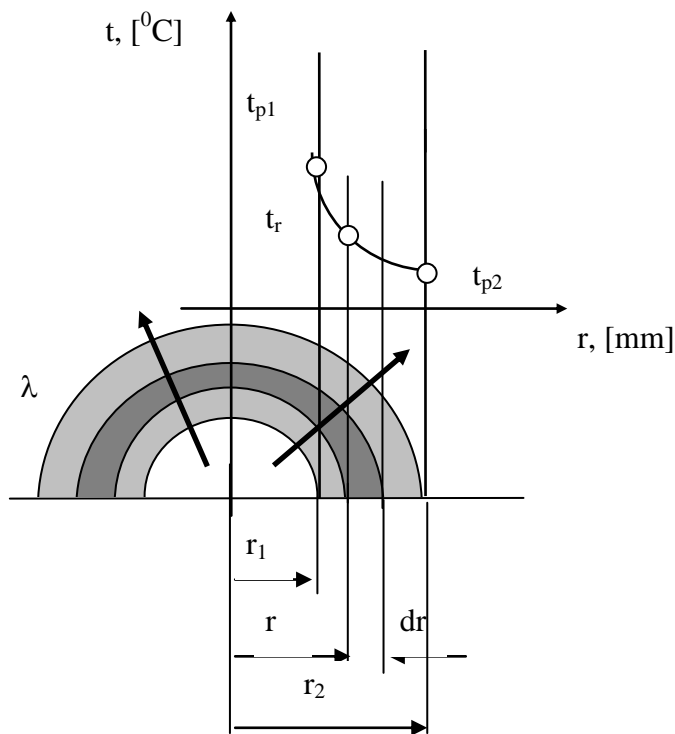


Fig.14

Ecuatia generală a conductiei termice (legea Fourier) este:

$$\Phi = -\lambda \cdot 4 \cdot \pi \cdot r^2 \cdot \frac{dt}{dr} \quad (1.80)$$

Separând variabilele:

$$dt = -\frac{\Phi}{4 \cdot \pi \cdot \lambda} \cdot \frac{dr}{r^2} \quad (1.81)$$

Prin integrare, se obține:

$$t_r = \frac{\Phi}{4 \cdot \pi \cdot \lambda} \cdot \frac{1}{r} + C \quad (1.82)$$

Concluzie: variație hiperbolică a temperaturii prin perete sferic.

Constanta de integrare, C , se determină punând condițiile la limită de speța I-a:

$$\text{- pentru } r = r_1 \quad t_r = t_{p1} = \frac{\Phi}{4 \cdot \pi \cdot \lambda} \cdot \frac{1}{r_1} + C$$

$$\text{- pentru } r = r_2 \quad t_r = t_{p2} = \frac{\Phi}{4 \cdot \pi \cdot \lambda} \cdot \frac{1}{r_2} + C$$

Rezultă:

$$C = t_{p1} - \frac{\Phi}{4 \cdot \pi \cdot \lambda} \cdot \frac{1}{r_1} \quad (1.83)$$

Ecuția câmpului de temperatură :

$$t_r = t_{p1} + (t_{p1} - t_{p2}) \cdot \frac{\frac{1}{r_1} - \frac{1}{r}}{\frac{1}{r_2} - \frac{1}{r_1}}, \text{ [}^\circ\text{C]} \quad (1.84)$$

Concluzie: *variație hiperbolică a temperaturii.*

Fluxul termic transmis prin perete :

$$\int_{t_{p1}}^{t_{p2}} dt = - \frac{\Phi}{4 \cdot \pi \cdot \lambda} \cdot \int_{r_1}^{r_2} \frac{dr}{r^2} \quad (1.85)$$

Rezultă:

$$\Phi = \frac{t_{p1} - t_{p2}}{\frac{1}{2\pi\lambda} \cdot \left(\frac{1}{d_1} - \frac{1}{d_2} \right)} = \frac{t_{p1} - t_{p2}}{R_t}, \text{ [W]} \quad (1.86)$$

unde

$$R_t = \frac{1}{2\pi\lambda} \cdot \left(\frac{1}{d_1} - \frac{1}{d_2} \right), \text{ [grd/W]} \quad (1.87)$$

este rezistența termică a materialului

Perete sferic omogen mărginit de două fluide cu temperaturi cunoscute
(condiții la limită de speța a III-a)

Considerăm un perete sferic omogen cu diametrele d_1 și d_2 , dintr-un material cu conductivitatea termică λ , mărginit de două fluide cu temperaturi cunoscute, t_{f1} , respectiv, t_{f2} (fig.15)

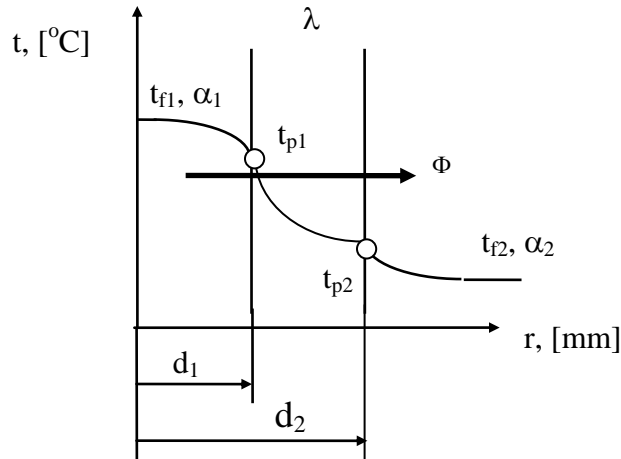


Fig.15

Procesul complex de transfer de căldură poate fi defalcat în trei procese simple: convecție de la fluidul cald la perete, conducție prin peretele sferic și convecție de la perete la fluidul rece:

$$\Phi_1 = \pi \cdot d_1^2 \cdot \alpha_1 \cdot (t_{f1} - t_{p1}) \quad (1.88)$$

$$\Phi_2 = \frac{t_{p1} - t_{p2}}{\frac{1}{2 \cdot \pi \cdot \lambda} \cdot \left(\frac{1}{d_1} - \frac{1}{d_2} \right)} \quad (1.89)$$

$$\Phi_3 = \pi \cdot d_2^2 \cdot \alpha_2 \cdot (t_{p2} - t_{f2}) \quad (1.90)$$

Punând condiția de unidirecționalitate a fluxului, $\Phi_1 = \Phi_2 = \Phi_3$, rezultă fluxul termic:

$$\begin{aligned} \Phi &= \frac{t_{f1} - t_{f2}}{\frac{1}{\pi \cdot d_1^2 \cdot \alpha_1} + \frac{1}{2 \cdot \pi \cdot \lambda} \cdot \left(\frac{1}{d_1} - \frac{1}{d_2} \right) + \frac{1}{\pi \cdot d_2^2 \cdot \alpha_2}} = \\ &= \frac{t_{f1} - t_{f2}}{R_{s1} + R_t + R_{s2}} = k \cdot (t_{f1} - t_{f2}) \end{aligned} \quad (1.91)$$

unde

$$R_s = \frac{1}{\pi \cdot d^2 \cdot \alpha}, \text{ [grad/W]} \quad (1.92)$$

este rezistența de suprafață (superficială)

$$k = \frac{1}{\frac{1}{\pi \cdot d_1^2 \cdot \alpha_1} + \frac{1}{2 \pi \cdot \lambda} \left(\frac{1}{d_1} - \frac{1}{d_2} \right) + \frac{1}{\pi \cdot d_2^2 \cdot \alpha_2}}, \text{ [W/grad]} \quad (1.93)$$

estecoeeficientul total de transfer de căldură

Temperaturile pe suprafețele laterale ale peretelui:

$$t_{p1} = t_{f1} - \frac{\Phi}{\pi \cdot d_1^2 \cdot \alpha_1}, \text{ [}^\circ\text{C]} \quad (1.94)$$

$$t_{p2} = t_{f1} - \Phi \cdot \left[\frac{1}{\pi \cdot d_1^2 \cdot \alpha_1} + \frac{1}{2\pi \cdot \lambda} \left(\frac{1}{d_1} - \frac{1}{d_2} \right) \right] =$$

$$= t_{f1} + \frac{\Phi}{\pi \cdot d_2^2 \cdot \alpha_2}, \text{ [}^\circ\text{C]} \quad (1.95)$$

Perete sferic neomogen mărginit de două fluide cu temperaturi cunoscute
(condiții la limită de speța a IV-a)

Considerăm un perete sferic format din trei straturi cu diametrele d_1, \dots, d_4 , din materiale cu conductivitățile termice λ_1, λ_2 și λ_3 , mărginit de două fluide cu temperaturi cunoscute t_{f1} și t_{f2} (fig.16)

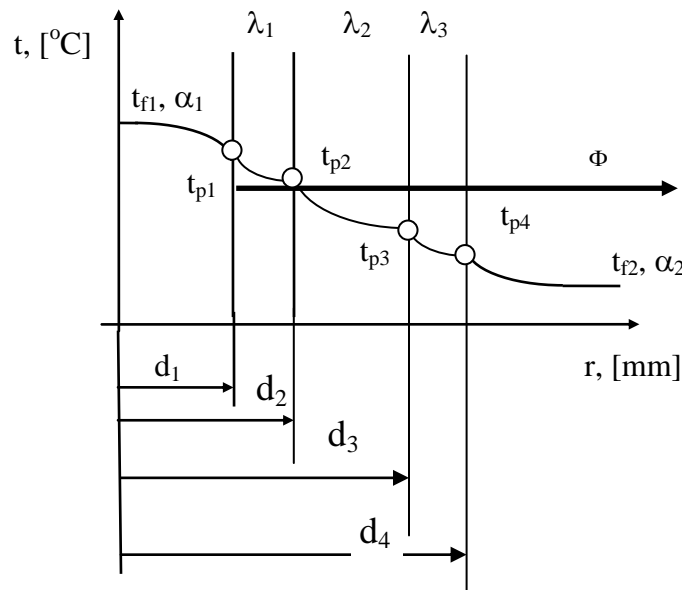


Fig.16

Procesul complex de transfer de căldură poate fi defalcat în cinci procese simple: convecție de la fluidul cald la perete, conducție prin cele trei straturi ale peretelui sferic și convecție de la perete la fluidul rece:

$$\Phi_1 = \pi \cdot d_1^2 \cdot \alpha_1 \cdot (t_{f1} - t_{p1}) \quad (1.96)$$

$$\Phi_2 = \frac{t_{p1} - t_{p2}}{\frac{1}{2 \cdot \pi \cdot \lambda_1} \cdot \left(\frac{1}{d_1} - \frac{1}{d_2} \right)} \quad (1.97)$$

$$\Phi_3 = \frac{t_{p2} - t_{p3}}{\frac{1}{2 \cdot \pi \cdot \lambda_2} \cdot \left(\frac{1}{d_2} - \frac{1}{d_3} \right)} \quad (1.98)$$

$$\Phi_4 = \frac{t_{p3} - t_{p4}}{\frac{1}{2 \cdot \pi \cdot \lambda_3} \cdot \left(\frac{1}{d_3} - \frac{1}{d_4} \right)} \quad (1.99)$$

$$\Phi_5 = \pi \cdot d_4^2 \cdot \alpha_2 \cdot (t_{p4} - t_{f2}) \quad (1.100)$$

Punând condiția de unidirecționalitate $\Phi_1 = \Phi_2 = \Phi_3 = \Phi_4 = \Phi_5 = \Phi$ rezultă fluxul termic:

$$\begin{aligned} \Phi &= \frac{t_{f1} - t_{f2}}{\frac{1}{\pi \cdot d_1^2 \cdot \alpha_1} + \sum \frac{1}{2 \cdot \pi \cdot \lambda_i} \cdot \left(\frac{1}{d_i} - \frac{1}{d_{i+1}} \right) + \frac{1}{\pi \cdot d_{i+1}^2 \cdot \alpha_2}} = \\ &= \frac{t_{f1} - t_{f2}}{R_{s1} + \sum R_{ti} + R_{s2}} = k \cdot (t_{f1} - t_{f2}), \text{ [W]}, \end{aligned} \quad (1.101)$$

unde

$$k = \frac{1}{\frac{1}{\pi \cdot d_1^2 \cdot \alpha_1} + \sum \frac{1}{2 \cdot \pi \cdot \lambda_i} \cdot \left(\frac{1}{d_i} - \frac{1}{d_{i+1}} \right) + \frac{1}{\pi \cdot d_{i+1}^2 \cdot \alpha_2}}, \text{ [W/grd]} \quad (1.102)$$

este coeficientul total de transfer de căldură

Temperaturile pe suprafețele laterale ale peretelui și pe suprafețele de contact:

$$t_{p1} = t_{f1} - \frac{\Phi}{\pi \cdot d_1^2 \cdot \alpha_1}, \text{ [}^\circ\text{C]} \quad (1.103)$$

$$t_{p2} = t_{f1} - \Phi \cdot \left[\frac{1}{\pi \cdot d_1^2 \cdot \alpha_1} + \frac{1}{2 \cdot \pi \cdot \lambda_1} \cdot \left(\frac{1}{d_1} - \frac{1}{d_2} \right) \right] \quad (1.104)$$

$$t_{p3} = t_{f1} - \Phi \cdot \left[\frac{1}{\pi \cdot d_1^2 \cdot \alpha_1} + \frac{1}{2 \cdot \pi \cdot \lambda_1} \cdot \left(\frac{1}{d_1} - \frac{1}{d_2} \right) + \frac{1}{2 \cdot \pi \cdot \lambda_2} \cdot \left(\frac{1}{d_2} - \frac{1}{d_3} \right) \right] \quad (1.105)$$

$$t_{p4} = t_{f1} + \frac{\Phi}{\pi \cdot d_2^2 \cdot \alpha_2}, \text{ [}^\circ\text{C]} \quad (1.106)$$

CAPITOLUL 2 CONVECȚIA TERMICĂ

Convecția termică reprezintă transferul de căldură prin curenți de fluid care se încălzesc/răcesc prin contact cu o suprafață și apoi difuzează în masa fluidului. Deoarece, la interfața dintre fluid și suprafață transferul de căldură se realizează prin stratul limită, procesul de convecție este determinat de legile conducției termice, de legile hidro-gazo-dinamicii și de legile difuziei.

Convecția termică reprezintă modul de transfer de căldură prin acțiunea combinată a conducției termice, a acumulării de energie internă și a mișcării de amestec. Este astfel, un proces de transfer de energie, masă și impuls. Energia este înmagazinată în particulele de fluid și transportată ca rezultat al mișcării acestora. Mecanismul procesului nu depinde direct de diferența de temperatură, dar sensul transferului de energie este în sensul scăderii temperaturii.

Intensitatea procesului de transfer de căldură prin convecție depinde în foarte mare măsură de mișcarea de amestecare a fluidului. Deci, studiul transferului de căldură prin convecție necesită cunoașterea caracteristicilor de curgere a fluidului.

Din analiza macroscopică a fenomenului, s-a constatat că intensitatea transferului de căldură prin convecție depinde de cauza mișcării fluidului, regimul hidro-gazo-dinamic de curgere, de proprietățile termofizice ale fluidului, de condițiile de contur în raport cu suprafața de transfer de căldură etc.

Transferul de căldură prin convecție apare în marea majoritate a proceselor de transfer de căldură din natură sau din tehnică sub forma schimbului între un lichid sau un gaz și suprafața unui solid. De exemplu : la suprafața interioară a peretelui ca urmare a curgerii libere a fluidului, în interiorul unei țevi prin care curge un lichid, în schimbătoarele de căldură prin care circulă cei doi curenți de fluid trimiși de o pompă sau un ventilator.

Se disting două tipuri de convecție, în funcție de cauzele care determină mișcarea fluidului : **convecție forțată** și **convecție liberă (naturală)**

2.1. Factorii care influențează transferul de căldură prin convecție

Factorii care influențează transferul de căldură prin convecție se pot grupa în patru categorii, și anume:

- **natura mișcării fluidului:**

- mișcarea fluidului este determinată de diferența de densitate produsă de diferența de temperatură între diverse puncte ale acestuia; mișcarea este denumită mișcare liberă, iar transferul de căldură între o suprafață și un fluid, **convecție liberă**;

- deplasarea fluidului se produce sub efectul unei acțiuni mecanice exterioare (pompă, ventilator, vânt etc); mișcarea este denumită mișcare forțată, iar transferul de căldură între o suprafață și un fluid, **convecție forțată**.

Convecția liberă și convecția forțată se pot întâlni separat sau simultan. Când viteza fluidului este mare, se poate neglija efectul convecției libere.

- **regimul de curgere a fluidului:** pentru caracterizarea curgerii unui fluid a

fost propus criteriul Reynolds, Re , definit ca o grupare adimensională a unor proprietăți fizice, geometrice și funcționale ce descriu mișcarea fluidului. Reprezintă raportul dintre forțele de inerție, F_{in} și forțele de viscozitate, F_{η} , ambele raportate la volumul V :

$$Re = \frac{F_{in}}{F_{\eta}} = \frac{\frac{m \cdot a}{V}}{\eta \cdot \frac{S}{V} \cdot \frac{dw}{dy}} = \frac{\rho \cdot \frac{dw}{d\tau}}{\eta \cdot \frac{dw}{dy}} = \frac{\rho \cdot L}{\eta} \cdot \frac{dy}{d\tau} = \frac{\rho \cdot w \cdot L}{\eta} = \frac{w \cdot L}{\nu} \quad (2.1)$$

unde: m , [kg] este masa fluidului;
 a , [m/s^2] - accelerația;
 η , [Pa.s] - viscozitatea dinamică a fluidului;
 ν , [m^2/s] - viscozitatea cinematică;
 S , [m^2] – suprafața de transfer de căldură;
 L , [m] - dimensiunea determinantă;
 ρ , [kg/m^3] - densitatea fluidului;
 τ , [s] - timpul;
 w , [m/s] - viteza medie a fluidului.

În cazul curgerii fluidelor prin conducte sau canale (cazul cel mai întâlnit în instalațiile termoenergetice), se deosebesc trei regimuri de curgere:

- pentru $Re < 2320 \rightarrow$ regim laminar, caracteristic lichidelor viscoase (transferul de căldură are loc cu precădere prin conducție termică în fluid, aportul mișcării de amestec fiind foarte redus);

- pentru $2320 < Re < 10^4 \rightarrow$ regim tranzitoriu;

- pentru $Re > 10^4 \rightarrow$ regim turbulent, caracteristic lichidelor puțin viscoase (transferul de căldură are loc prin conducție termică, în stratul limită a fluidului și prin transfer de masă și amestec de fluid, în zona centrală a curgerii).

Această problemă va fi tratată pe larg în prezentarea fiecărui proces de convecție termică.

- **parametrii termofizici ai fluidului**, depinzând de temperatură și, într-o măsură mult mai mică, de presiune pentru fiecare fluid; influențează transferul de căldură prin convecție, fluidele diferențiindu-se între ele ca agenți termici.

- **forma și dimensiunile suprafeței de transfer de căldură**: geometria suprafeței de transfer de căldură (plană, cilindrică singulară sau în fascicul, netedă sau nervurată etc) și orientarea acesteia față de direcția de curgere a fluidului determină caracteristicile stratului limită și creează condiții specifice de curgere și transfer de căldură.

2.2. Noțiuni de dinamica fluidelor

Curgerea fluidelor și transferul de căldură sunt influențate de proprietățile fizice și termodinamice: densitate, compresibilitate, conductivitate termică, viscozitate, căldură specifică etc. **Viscozitatea** are un rol important determinând mișcarea cu viteze diferite a straturilor de fluid în curgere peste o suprafață. Ea apare ca urmare a frecării interne dintre straturile de fluid și determină un consum de energie care se transformă în căldură.

Efortul tangențial de frecare este exprimat de legea lui Newton, potrivit căreia acesta este proporțional cu variația vitezei pe direcția normală curgerii fluidului

$$\sigma = \eta \frac{dw}{dn}$$

unde : η – viscozitatea dinamică [Ns/m^2] sau [Pa s]

Viscozitatea fluidelor se exprimă și prin viscozitatea cinematică $\nu \left(\frac{\text{m}^2}{\text{s}} \right)$

$$\nu = \frac{\eta}{\rho}$$

Viscozitatea este o proprietate fizică a fluidelor și depinde de temperatură
O altă proprietate importantă în curgerea fluidelor este exprimată prin coeficientul izobar de variație a volumului, care reprezintă variația relativă a volumului într-un proces izobar de încălzire a fluidului cu 1 K:

$$\beta = \frac{1}{\nu} \left(\frac{\partial \nu}{\partial T} \right)_p \quad [\text{K}^{-1}]$$

2.3. Legea lui Newton. Coeficientul de convecție

Legea lui Newton permite determinarea fluxului de căldură, Φ , transmis între o suprafață și un fluid:

$$\Phi = \alpha \cdot S \cdot (t_p - t_f), \quad [\text{W}], \quad (2.2)$$

unde: α , [$\text{W/m}^2 \cdot \text{grad}$] este coeficientul de convecție;
 S , [m^2] - suprafața de transfer de căldură;
 t_p , [$^{\circ}\text{C}$] - temperatura peretelui;
 t_f , [$^{\circ}\text{C}$] - temperatura medie a fluidului.

Definirea coeficientului de convecție prin legea lui Newton face ca în acesta să fie înglobați toți factorii care determină transferul de căldură prin convecție: natura mișcării fluidului, regimul de curgere, parametrii termofizici ai fluidului, forma și orientarea suprafeței de transfer de căldură :

$$\alpha = f(w, t_p, t_f, X, c_p, \rho, \nu, a, \dots) \quad (2.3)$$

unde: X , [m] este lungimea caracteristică;

Pentru stabilirea coeficientului de convecție, α , se folosesc, în general, trei metode:

- se iau valori medii după datele experimentale cunoscute. Metoda este recomandată numai pentru orientare și verificarea rezultatelor obținute pe altă cale;
- se calculează pe baza ecuațiilor criteriale specifice fiecărui caz în parte;
- se calculează pe baza relațiilor empirice, cu precizarea domeniilor de valabilitate.

2.3. Metode aplicate în studiul convecției termice (Analiza dimensională)

Rezolvarea analitică a problematicii transferului de căldură prin convecție impune soluționarea simultană a ecuațiilor de mișcare a fluidului și a celor de transmitere a căldurii prin fluide în mișcare. Această metodă presupune stăpânirea corespunzătoare a mecanismului fizic de desfășurare a fenomenului, pentru ca acesta să poată fi pus sub formă matematică.

Pentru rezolvarea acestor ecuații este preferată metoda de integrare teoretico-experimentală, deoarece, prin calcule matematice simple aceasta metodă conduce la soluții exacte care pot fi ușor interpretate fizic, iar prin criteriile adimensionale permite extinderea domeniului de aplicare a datelor experimentale.

Analiza dimensională reprezintă ansamblul de cunoștințe și metode pentru tratarea unor elemente de inginerie cu ajutorul formulelor dimensionale ale mărimilor.

Analiza dimensională pleacă de la ideea că relațiile care permit descrierea fenomenelor sunt dimensional omogene, adică, cele două părți ale relației (din dreapta și din stânga semnelui egal) sunt identice sub aspect dimensional.

Relația prin care se exprimă o mărime, funcție de unitățile de măsură fundamentale, se numește ecuație de dimensiuni sau ecuație dimensională.

Principala limitare a acestei metode este aceea că rezultatele obținute sunt incomplete și, practic, inutilizabile, dacă nu sunt completate de date experimentale.

O aplicație de mare utilitate practică este folosirea analizei dimensionale pentru stabilirea formei generale a ecuațiilor care descriu fenomene complexe, dependente de un număr mare de variabile. Această metodă se poate utiliza în cazurile în care se pot stabili parametri care influențează fenomenul complex pe bază de observații. De aceea, prima etapă a analizei dimensionale este stabilirea mărimilor fizice care influențează evoluția fenomenului studiat.

Cu ajutorul analizei dimensionale, respectiv a teoremei Π , se poate obține o descriere matematică a fenomenului studiat însă, pentru ca relația să poată fi utilizată în calcule tehnice, este necesar să se recurgă la experimentări pentru stabilirea constantelor și exponenților care intervin în relație.

Ajutorul esențial care se obține prin utilizarea teoremei Π (teorema Buckingham) constă în obținerea unei relații care să poată fi complet definită printr-un număr redus de experimente. Ținând seama de faptul că toate ecuațiile trebuie să fie dimensional omogene, mărimile sau parametrii ce caracterizează fenomenul studiat sunt grupate în rapoarte de mărimi adimensionale.

Teorema Π este o regulă empirică de determinare a numărului de rapoarte adimensionale independente necesar pentru stabilirea ecuației care descrie un fenomen, de forma :

$$F = f(w, X, \rho, c_p, v, \lambda, \dots) \quad (2.4)$$

Prin aplicarea teoremei Π , această funcție poate fi scrisă sub forma unei ecuații de parametri adimensionali (criterii sau invarianți), de forma :

$$F = f(\Pi_1, \Pi_2, \Pi_3, \dots) = 0 \quad (2.5)$$

Numărul « c » de criterii independente necesar care poate fi format prin combinarea variabilelor fizice ale unui fenomen este egal cu numărul total « p » al

acestor mărimi fizice minus numărul « u » de unități de măsură primare necesar pentru exprimarea formulelor dimensionale ale celor « m » mărimi fizice :

$$c = p - u \quad (2.6)$$

Exemplu : dacă un fenomen este caracterizat de $p = 5$ mărimi fizice care se pot exprima în funcție de $u = 3$ unități de măsură primare, fenomenul poate fi descris de $c = 2$ criterii adimensionale printr-o ecuație de forma :

$$F(\Pi_1, \Pi_2) = 0 \text{ sau } \Pi_1 = f(\Pi_2) \quad (2.7)$$

Se folosește un sistem de patru unități de măsură primare : M – masă, L – lungime, T – timp și Θ - temperatură.

În rezolvarea ecuației $F = f(\Pi_1, \Pi_2, \Pi_3, \dots) = 0$ se pot utiliza mai multe metode. Oricare ar fi aceasta, ținând seama de omogenitatea relațiilor sub aspect dimensional, suma exponenților fiecărei unități fundamentale trebuie să fie nulă

Rezultă :

$$x_i = M^{a_i} \cdot L^{b_i} \cdot T^{c_i} \cdot \Theta^{d_i} \quad (2.8)$$

de unde :

$$\begin{aligned} \sum a_i &= 0 \\ \sum b_i &= 0 \\ \sum c_i &= 0 \\ \sum d_i &= 0 \end{aligned}$$

Exemplul 1 : considerăm un corp cilindric cu diametrul d cufundat într-un fluid staționar ($w = 0$).

Forțele care intervin :

- forța motrice : forța care produce deplasarea fluidului datorită diferenței de densitate creată de diferența de temperatură dintre corp și fluid :

$$F_m = f(\Delta t, \beta, g)$$

- forța rezistentă : forța care se opune deplasării fluidului :

$$F_r = f(v, \rho, d)$$

- capacitatea de acumulare a căldurii de către fluid :

$$C_a = f(\lambda, \rho, c_p) = f(a)$$

Deci $p = 7$ mărimi fizice care descriu fenomenul, $u = 4$ unități de măsură primare.

Rezultă $c = 7 - 4 = 3$ criterii adimensionale.

Coeficientul de convecție în acest caz depinde de cele 7 mărimi :

$$\alpha = f[(g \cdot \beta), \Delta t, (\rho \cdot v), d, \rho, \lambda, c_p] \quad (2.9)$$

Relația (2.9) poate fi scrisă ca un produs al celor 7 mărimi, fiecare mărime la un anumit exponent:

$$\alpha = C \cdot (g \cdot \beta)^x \cdot \Delta t^m \cdot \eta^u \cdot d^v \cdot \rho^z \cdot \lambda^y \cdot c_p^n \quad (2.10)$$

Relația (2.10) este transpusă în relație de unități de măsură :

$$\frac{J}{s \cdot m^2 \cdot \text{grd}} = C \cdot \left(\frac{m}{s^2 \cdot \text{grd}} \right)^x \cdot (\text{grd})^m \cdot \left(\frac{\text{kg}}{m \cdot s} \right)^u \cdot (m)^v \cdot \left(\frac{\text{kg}}{m^3} \right)^z \cdot \left(\frac{J}{s \cdot m \cdot \text{grd}} \right)^y \cdot \left(\frac{J}{\text{kg} \cdot \text{grd}} \right)^n$$

$$(2.11)$$

Rezultă sistemul de ecuații :

$$\begin{array}{l}
J \mid 1 = y + n \\
s \mid -1 = -2x - u - y \\
m \mid -2 = x - 3z - u + v - y \text{ un sistem de 5 ecuații cu 7 necunoscute} \\
\text{grad} \mid -1 = -x + m - y - n \\
\text{kg} \mid 0 = z - n + u
\end{array}$$

Pentru eliminarea nedeterminării se aleg ca variabile independente exponentii m , pentru diferența de temperatură, care crează deplasarea fluidului și n , pentru căldura specifică, care are o pondere mai mare în capacitatea de acumulare a căldurii de către fluid.

Rezultă : $x = m, y = 1 - n, z = 2m, v = 3m - 1$ și $u = n - 2m$.

$$\alpha = C \cdot \left(\frac{g \cdot \beta \cdot \rho^2 \cdot d^3 \cdot \Delta t}{\eta^2} \right)^m \cdot \left(\frac{v \cdot \rho \cdot c_p}{\lambda} \right)^n \cdot \frac{\lambda}{d} \quad (2.12)$$

$$\text{sau : } \frac{\alpha \cdot d}{\lambda} = C \cdot \left(\frac{g \cdot \beta \cdot d^3 \cdot \Delta t}{v^2} \right)^m \cdot \left(\frac{v \cdot \rho \cdot c_p}{\lambda} \right)^n \quad (2.13)$$

Se fac notațiile :

$$Nu = \frac{\alpha \cdot d}{\lambda} \text{ - criteriul Nusselt}$$

$$Gr = \frac{g \cdot \beta \cdot d^3 \cdot \Delta t}{v^2} \text{ - criteriul Grashof}$$

$$Pr = \frac{v \cdot \rho \cdot c_p}{\lambda} = \frac{v}{a} \text{ - criteriul Prandtl, în care } a = \frac{\lambda}{\rho \cdot c_p}, \text{ [m}^2/\text{s]} \text{ reprezintă}$$

difuzivitatea termică a fluidului (caracterizează inerția termică a fluidului).

Rezultă ecuația criterială :

$$Nu = C \cdot Gr^m \cdot Pr^n \quad (2.14)$$

Exemplul 2 : considerăm un corp cilindric cu diametrul d parcurs transversal de un fluid cu viteza w .

Forțele care intervin :

- forța motrice : forța care produce deplasarea fluidului datorită diferenței de presiune creată artificial din exterior (ventilator, pentru gaze sau pompă, pentru lichide :

$$F_m = f(\rho, w)$$

- forța rezistentă : forța care se opune deplasării fluidului :

$$F_r = f(v, \rho, d)$$

- capacitatea de cumulare a căldurii de către fluid :

$$C_a = f(\lambda, \rho, c_p) = f(a)$$

Deci $p = 6$ mărimi fizice care descriu fenomenul, $u = 4$ unități de măsură primare. Rezultă $c = 6 - 4 = 2$ criterii adimensionale.

Coeficientul de convecție în acest caz depinde de cele 6 mărimi :

$$\alpha = f(w, d, \rho, v, \lambda, c_p) \quad (2.15)$$

Relația (2.15) poate fi scrisă ca un produs al celor 6 mărimi, fiecare mărime la un anumit exponent:

$$\alpha = C \cdot d^x \cdot w^m \cdot v^z \cdot \rho^n \cdot \lambda^y \cdot c_p^v \quad (2.16)$$

Relația (2.16) este transpusă în relație de unități de măsură :

$$\frac{J}{s \cdot m^2 \cdot \text{grad}} = C \cdot \left(\frac{m}{s}\right)^m \cdot (m)^x \cdot \left(\frac{\text{kg}}{m^3}\right)^n \cdot \left(\frac{J}{s \cdot m \cdot \text{grad}}\right)^y \cdot \left(\frac{J}{\text{kg} \cdot \text{grad}}\right)^v \cdot \left(\frac{m^2}{s}\right)^z \quad (2.17)$$

Rezultă sistemul de ecuații :

$$\begin{array}{l} J \mid 1 = y + v \\ s \mid -1 = -m - y - z \\ m \mid -2 = m + x - y + 2z - 3n \\ \text{grad} \mid -1 = -y - v \\ \text{kg} \mid 0 = n - v \end{array} \quad \text{un sistem de 4 ecuații cu 6 necunoscute}$$

Pentru eliminarea nedeterminării se aleg ca variabile independente exponentii m, pentru viteza fluidului și n, pentru densitate care, în acest caz, are o pondere mai mare în capacitatea de acumulare a căldurii de către fluid.

Rezultă : $x = m - 1$, $y = 1 - n$, $z = n - m$ și $v = n$.

$$\alpha = C \cdot \left(\frac{w \cdot d}{v}\right)^m \cdot \left(\frac{\rho \cdot c_p \cdot v}{\lambda}\right)^n \cdot \frac{\lambda}{d} \quad (2.18)$$

$$\text{sau : } \frac{\alpha \cdot d}{\lambda} = C \cdot \left(\frac{w \cdot d}{v}\right)^m \cdot \left(\frac{v}{a}\right)^n \quad (2.19)$$

Se face notația :

$$\text{Re} = \frac{w \cdot d}{v} \text{ - criteriul Reynolds}$$

Rezulta ecuația criterială :

$$\text{Nu} = C \cdot \text{Re}^m \cdot \text{Pr}^n \quad (2.20)$$

Cele mai utilizate criterii adimensionale (de similitudine) sunt prezentate în tabelul 2.1.

Tab.2.1

Denumire	Simbol	Relație de calcul	Definire
Reynolds	Re	$\frac{w \cdot X}{\nu} = \frac{w \cdot \rho \cdot X}{\eta}$	Caracterizează regimul de curgere a fluidului; se definește ca raportul dintre forțele de inerție și forțele de viscozitate, pentru unitatea de volum de fluid
Prandtl	Pr	$\frac{\nu}{a} = \frac{\nu \cdot \rho \cdot c_p}{\lambda}$	Caracterizează proprietățile fizice ale fluidului; reprezintă raportul dintre difuzivitatea moleculară a impulsului și difuzivitatea moleculară a căldurii
Nusselt	Nu	$\frac{\alpha \cdot X}{\lambda}$	Raportul dintre gradientul temperaturii fluidului la suprafața peretelui și un gradient de referință al temperaturii
Grashof	Gr	$\frac{g \cdot \beta \cdot X^3 \cdot \Delta t}{\nu^2}$	Caracterizează acțiunea reciprocă a forțelor ascensionale și a forțelor de viscozitate a fluidului
Peclet	Pe	$Re \cdot Pr = \frac{w \cdot X}{a}$	Raportul dintre fluxurile de căldură transmise prin convecție, respectiv prin conducție, la aceeași diferență de temperatură
Stanton	St	$\frac{Nu}{Re \cdot Pr} = \frac{\alpha}{\rho \cdot c_p \cdot w}$	Raportul dintre fluxul de căldură transmis prin convecție și fluxul de căldură acumulat de fluid
Rayleigh	Ra	$Gr \cdot Pr = \frac{g \cdot \beta \cdot c_p \cdot \rho^3 \cdot X^3 \cdot \Delta}{\eta \cdot \lambda}$	Raportul dintre forțele de inerție și forțele de tensiune internă, la mișcarea combinată a fluidelor
Froude	Fr	$\frac{w^2}{g \cdot X}$	Raportul dintre forțele de inerție și forțele gravitaționale, la curgerea fluidelor compresibile
Galileu	Ga	$\frac{Fr}{Re^2} = \frac{g \cdot X^3}{\nu^2}$	Raportul dintre forțele gravitaționale și forțele de viscozitate, la curgerea fluidelor viscoase
Kutateladze	Ku	$\frac{l_v}{c_p \cdot (t_s - t_p)}$	Raportul dintre căldura de vaporizare și căldura necesară încălzirii la fierberea lichidelor

Obs : X, [m] reprezintă dimensiunea determinantă, explicată la fiecare proces de convecție termică prezentat în continuare.

2.4. CONVECȚIA TERMICĂ FĂRĂ SCHIMBAREA STĂRII DE AGREGARE A FLUIDELOR

2.4.1. Convecția liberă

Transferul de căldură care are loc la mișcarea fluidului pe lângă o suprafață, ca urmare a diferenței de densitate, poartă numele de convecție liberă sau convecție naturală a căldurii. Acest mod de transfer al căldurii prezintă importanță deosebită fiind întâlnit în numeroase situații practice. Într-o încăpere, dacă aerul întâlnește peretele rece, vor apărea curenți convectivi descendenți, iar dacă peretele este mai cald, aerul se va încălzi având o circulație ascendentă. Convecția liberă are loc, de asemenea, la suprafețele ușilor sau ferestrelor, sau între acestea; în cazul încălzirii încăperilor cu corpuri statice curenții de aer curg liber peste suprafețele de transfer de căldură, iar în cazul schimbătoarelor de căldură tip acumulator, are loc o circulație liberă a lichidului în jurul suprafeței încălzitoare. În toate situațiile transferul de căldură implică existența gradientilor de temperatură și, deci, a diferențelor de densitate; echilibrul hidrostatic se strică și gravitația determină mișcarea fluidului. Fenomenul este influențat de trei factori: forțele gravitaționale, cele de viscozitate și difuzia termică din zonele cu temperatură ridicată către cele cu temperatură scăzută. Mărimile fizice pe care le implică acești factori în transferul de căldură sunt: accelerația gravitațională g , coeficientul izobar de variație a volumului (variația densității) β , viscozitatea cinematică ν , conductivitatea termică a fluidului λ , diferența de temperatură ΔT , și difuzivitatea termică a . Acestea alături de lungimea caracteristică l , și coeficientul de convecție α , reprezintă mărimile caracteristice ce descriu fenomenul de transfer de căldură la curgerea liberă a fluidelor.

În convecția liberă, straturile limită termic și dinamic sunt, în principiu, de aceeași grosime, deoarece gradientii de viteză sunt produși de gradientii de temperatură. În aceste condiții, coeficientul de convecție, α și relațiile corespunzătoare de calcul depind direct de geometria și orientarea suprafeței de transfer de căldură.

Convecția liberă ocupă un loc important în calculul termic al construcțiilor: calculul pierderilor de căldură în mediul exterior pentru spațiile încălzite, calculul pătrunderilor de căldură din exterior pentru spațiile răcite, calculul fluxului de căldură pentru aparatele de încălzire sau răcire etc.

În cazul conductelor care transportă fluide calde sau reci amplasate în aerul ambiant, printr-un calcul riguros se pot obține economii energetice importante.

La mișcarea liberă a unui fluid peste o suprafață, criteriul Grashof pune în evidență caracterul dinamic al acesteia. Mișcarea liberă a fluidului are loc numai sub acțiunea forțelor gravitaționale (arhimedice) de forma $(\rho \cdot g)$, [N/m^3].

În concluzie, pentru calculul coeficientului de convecție, α , se vor folosi ecuații criteriale specifice mișcării fluidului.

Fenomenele de convecție liberă se prezintă sub două aspecte: convecție liberă în spații nelimitate (deschise) și convecție liberă în spații limitate (închise), diferențiate prin dimensiunile spațiului în care are loc deplasarea fluidului în raport cu dimensiunile principale ale curgerii.

Criteriile de similitudine caracteristice convecției libere sunt:

- criteriul Nusselt
$$Nu = \frac{\alpha \cdot X}{\lambda} \quad (2.21)$$

- criteriul Grashof
$$Gr = \frac{g \cdot \beta \cdot X^3 \cdot \Delta t}{\nu^2} \quad (2.22)$$

- criteriul Prandtl (în cazul în care nu este dat tabelar)
$$Pr = \frac{\nu}{a} = \frac{\rho \cdot c_p \cdot \nu}{\lambda} \quad (2.23)$$

- pentru gaze, coeficientul de dilatare termică se calculează cu relația:

$$\beta = \frac{1}{T}, K^{-1} \quad (2.24)$$

Dependența dintre cele opt mărimi fizice poate fi exprimată, potrivit teoremei Π , printr-o relație între patru grupuri dimensionale, mărimile fundamentale fiind lungimea, masa, timpul și temperatura în număr de patru.

Dependența exprimată implicit sub forma $f(\alpha, l, \lambda, \nu, g, \beta, \Delta T, a) = 0$ devine $\pi_1 = F(\pi_2, \pi_3, \pi_4)$.

Tabelul 2.4.1 Marimile fizice in convecția libera

Nr.crt	Mărimea fizică	Unitatea de măsură	Dimensiunea
1	Coeficientul de convecție, α	W/m ² K	kg · s ⁻³ · grd ⁻¹
2	Lungimea caracteristică, l	m	m
3	Coeficientul de conductibilitate, λ	W/mK	kg · s ⁻³ · grd ⁻¹ · m
4	Accelerația gravitațională, g	m/s ²	kg · s ⁻²
5	Viscozitatea, ν	m ² /s	m ² · s ⁻¹
6	Coeficientul izobar de variație a volumului β	K ⁻¹	grd ⁻¹
7	Diferența de temperatură, ΔT	K	grd
8	Difuzivitatea termică, a	m ² /s	m ² · s ⁻¹

Grupurile adimensionale se scriu :

$$\begin{aligned} \pi_1 &= \ell^{a_1} \cdot \lambda^{b_1} \cdot a^{c_1} \cdot \Delta T^{d_1} \cdot \alpha \\ \pi_2 &= \ell^{a_2} \cdot \lambda^{b_2} \cdot a^{c_2} \cdot \Delta T^{d_2} \cdot g \\ \pi_3 &= \ell^{a_3} \cdot \lambda^{b_3} \cdot a^{c_3} \cdot \Delta T^{d_3} \cdot \beta \\ \pi_4 &= \ell^{a_4} \cdot \lambda^{b_4} \cdot a^{c_4} \cdot \Delta T^{d_4} \cdot \nu \end{aligned}$$

Scrierea acestor ecuații sub formă dimensională permite obținerea expresiilor $\pi_1, \pi_2, \pi_3, \pi_4$.

Astfel potrivit primei ecuații se obține:

$$1 = m^{a_1} \cdot \text{kg}^{b_1} \cdot \text{m}^{b_1} \cdot \text{s}^{-3 \cdot b_1} \cdot \text{grad}^{-b_1} \cdot \text{m}^{2 \cdot c_1} \cdot \text{s}^{-c_1} \cdot \text{grad}^{d_1} \cdot \text{kg} \cdot \text{s}^{-3} \cdot \text{grad}^{-1}$$

Condițiile de omogenitate dimensională a acestei ecuații sunt :

$$m : a_1 + b_1 + 2 \cdot c_1 = 0 ;$$

$$\text{kg} : b_1 + 1 = 0 ;$$

$$\text{grad} : -b_1 + d_1 - 1 = 0 ;$$

$$s : -3 \cdot b_1 - c_1 - 3 = 0 ;$$

$$\text{Rezultă: } a_1 = 1; b_1 = -1; c_1 = 0; d_1 = 0;$$

Prin înlocuire în expresia grupului π_1 se obține :

$$\pi_1 = \frac{\ell \cdot \alpha}{\lambda} = \text{Nu} \quad \text{- criteriul Nusselt}$$

Exprimând dimensional ecuația π_2 se obține :

$$1 = m^{a_2} \cdot \text{kg}^{b_2} \cdot \text{m}^{b_2} \cdot \text{s}^{-3 \cdot b_2} \cdot \text{grad}^{-b_2} \cdot \text{m}^{2 \cdot c_2} \cdot \text{s}^{-c_2} \cdot \text{grad}^{d_2} \cdot \text{m} \cdot \text{s}^{-2}$$

Condițiile de omogenitate dimensională a acestei ecuații sunt :

$$m : a_2 + b_2 + 2 \cdot c_2 + 1 = 0 ;$$

$$\text{kg} : b_2 = 0 ;$$

$$\text{grad} : -b_2 + d_2 = 0 ;$$

$$s : -3 \cdot b_2 - c_2 - 2 = 0 ;$$

$$\text{Rezultă: } a_2 = 3; b_2 = 0; c_2 = -2; d_2 = 0;$$

Prin înlocuire în expresia grupului π_2 se obține :

$$\pi_2 = \frac{\ell^3 \cdot g}{v^2} = \text{Ga} \quad \text{- criteriul Galilei}$$

Exprimând dimensional ecuația π_3 se obține :

$$1 = m^{a_3} \cdot \text{kg}^{b_3} \cdot \text{m}^{b_3} \cdot \text{s}^{-3 \cdot b_3} \cdot \text{grad}^{-b_3} \cdot \text{m}^{2 \cdot c_3} \cdot \text{s}^{-c_3} \cdot \text{grad}^{d_3} \cdot \text{grad}^{-1}$$

Condițiile de omogenitate dimensională a acestei ecuații sunt :

$$m : a_3 + b_3 + 2 \cdot c_3 = 0 ;$$

kg : $b_3=0$;
 grd: $-b_3+d_3-1=0$;
 s: $-3\cdot b_3-c_3=0$;

Rezultă: $a_3=0$; $b_3=0$; $c_3=0$; $d_3=1$;

Prin înlocuire în expresia grupului π_3 se obține :

$$\pi_3 = \beta \cdot \Delta T ;$$

Exprimând dimensional ecuația π_4 se obține :

$$1 = m^{a_4} \cdot \text{kg}^{b_4} \cdot \text{m}^{c_4} \cdot \text{s}^{-3\cdot b_4} \cdot \text{grd}^{-b_4} \cdot \text{m}^{2\cdot c_4} \cdot \text{s}^{-c_4} \cdot \text{grd}^{d_4} \cdot \text{m}^2 \cdot \text{s}^{-1}$$

Condițiile de omogenitate dimensională a acestei ecuații sunt :

m : $a_4 + b_4 + 2\cdot c_4 + 2=0$;
 kg : $b_4=0$;
 grd: $-b_4+d_4=0$;
 s: $-3\cdot b_4-c_4-1=0$;

Rezultă: $a_4=0$; $b_4=0$; $c_4=-1$; $d_4=0$;

Prin înlocuire în expresia grupului π_3 se obține :

$$\pi_4 = \frac{v}{a} = \text{Pr} - \text{criteriul Prandtl}$$

Produsul $\pi_2 \cdot \pi_3$ permite determinarea unui nou criteriu :

$$\pi_2 \cdot \pi_3 = \text{Gr} \cdot \beta \cdot \Delta T = \frac{g \cdot \ell^3 \cdot \beta \cdot \Delta T}{\nu^2} - \text{criteriul Grashof}$$

Criteriul Grashof este determinant în convecția liberă introducând efectul gravitației, al viscozității și termenul ascensional $\beta\Delta T$.

Forma explicită a ecuației criteriale este:

$$\text{Nu} = C \cdot \text{Gr}^m \cdot \text{Pr}^n$$

Experimental s-a dovedit că $m = n$ astfel că $\text{Nu} = C \cdot (\text{Gr} \cdot \text{Pr})^n$.

a) Convecția liberă în spațiu nelimitat

În convecția liberă deplasarea fluidului poate fi laminară sau turbulentă, funcție de forța gravitației, geometria și orientarea suprafeței de transfer de căldură, de proprietățile termofizice ale fluidului și de diferența de temperatură între suprafața de transfer de căldură și fluid.

Prezintă o mare importanță în calculul schimbătoarelor de căldură cu acumulare, cu serpentină de încălzire sau răcire, în calculul conductelor care transportă fluide calde sau reci amplasate în aerul atmosferic etc.

Ecuțiile criteriale de calcul, funcție de regimul de transfer de căldură, geometria și orientarea suprafeței, sunt prezentate în tabelele 2.2, 2.3, 2.4 și 2.5.

Tabelul 2.2

Regimul de transfer de căldură	Ecuția criterială	Rel.nr.
Suprafețe plane verticale		
$10^{-3} < (Gr.Pr)_m < 500$	$Nu_m = 1,18 \cdot (Gr.Pr)_m^{0,125}$	2.25
$500 < (Gr.Pr)_m < 2 \cdot 10^8$	$Nu_m = 0,54 \cdot (Gr.Pr)_m^{0,25}$	2.26
$10^4 < (Gr.Pr)_m < 10^9$	$Nu_m = 0,59 \cdot (Gr.Pr)_m^{0,25}$	2.27
$10^9 < (Gr.Pr)_m < 10^{13}$	$Nu_m = 0,15 \cdot (Gr.Pr)_m^{0,33}$	2.28
$(Gr.Pr)_m > 10^{10}$	$Nu_m = 0,135 \cdot (Gr.Pr)_m^{0,33}$	2.29

Tabelul 2.3

Regimul de transfer de căldură	Ecuția criterială	Rel.nr.
Suprafețe plane orizontale		
$10^4 < (Gr.Pr)_m < 10^9$	$Nu_m = 0,54 \cdot (Gr.Pr)_m^{0,25}$	2.30
$(Gr.Pr)_m > 10^9$	$Nu_m = 0,14 \cdot (Gr.Pr)_m^{0,33}$	2.31
$10^4 < (Gr.Pr)_m < 10^9$	$Nu_m = 0,27 \cdot (Gr.Pr)_m^{0,25}$	2.32
$10^5 < (Gr.Pr)_m < 2 \cdot 10^7$	$Nu_m = 0,54 \cdot (Gr.Pr)_m^{0,25}$	2.33
$2 \cdot 10^7 < (Gr.Pr)_m < 3 \cdot 10^{10}$	$Nu_m = 0,14 \cdot (Gr.Pr)_m^{0,33}$	2.34

Tabelul 2.4

Regimul de transfer de căldură	Ecuția criterială	Rel.nr.
Conducte verticale		
$10^{-3} < (Gr.Pr)_m < 500$	$Nu_m = 1,18 \cdot (Gr.Pr)_m^{0,125}$	2.35
$10^{-3} < (Gr.Pr)_m < 10^8$	$Nu_m = 0,4 \cdot (Gr.Pr)_m^{0,25}$	2.36
$500 < (Gr.Pr)_m < 2 \cdot 10^8$	$Nu_m = 0,54 \cdot (Gr.Pr)_m^{0,25}$	2.37
$10^7 < (Gr.Pr)_m < 10^9$	$Nu_m = 0,59 \cdot (Gr.Pr)_m^{0,25}$	2.38
$10^9 < (Gr.Pr)_m < 10^{12}$	$Nu_m = 0,13 \cdot (Gr.Pr)_m^{0,3}$	2.39
$(Gr.Pr)_m > 10^{10}$	$Nu_m = 0,135 \cdot (Gr.Pr)_m^{0,33}$	2.40

Tabelul 2.5

Regimul de transfer de căldură	Ecuția criterială	Rel.nr.
Conducte orizontale		
$10^{-3} < (Gr.Pr)_m < 10^3$	$Nu_m = 1,18 \cdot (Gr.Pr)_m^{0,125}$	2.41
$(Gr.Pr)_m < 10^3$	$Nu_m = 0,4 \cdot (Gr.Pr)_m^{0,25}$	2.42
$10^3 < (Gr.Pr)_m < 10^5$	$Nu_m = 0,53 \cdot (Gr.Pr)_m^{0,25}$	2.43
$10^3 < (Gr.Pr)_m < 10^8$	$Nu_m = 0,50 \cdot (Gr.Pr)_m^{0,25}$	2.44
$2 \cdot 10^7 < (Gr.Pr)_m < 10^{13}$	$Nu_m = 0,135 \cdot (Gr.Pr)_m^{0,33}$	2.45
$10^{-5} < (Gr.Pr)_m < 10^9$	$Nu_m = 0,53 \cdot (Gr.Pr)_m^{0,25}$	2.46

Semnificația notațiilor:

- dimensiunea determinantă X este H [m], înălțimea suprafeței plane și conductei verticale, L, [m], lungimea suprafeței plane orizontale și d_e , [m], diametrul exterior al conductei;

- indicele inferior "m" indică faptul că temperatura determinantă este temperatura medie, calculată cu relația $t_m = 0,5 \cdot (t_p + t_f)$, [°C] (2.47)

Pentru suprafețele plane și conductele verticale înclinate cu unghiul ψ față de verticală, coeficientul de convecție se calculează cu relația:

$$\alpha_\psi = \varepsilon \cdot \alpha, [W/m^2 \cdot \text{grad}], \quad (2.48)$$

unde, ε este un coeficient de corecție ce depinde de unghiul de înclinare, cu valori date în tabelul 2.6.

Tabelul 2.6

ψ [°]	0	10	20	30	40	50	60	70	80	90
ε	1,0	1,0	1,0	1,0	1,0	0,99	0,96	0,92	0,88	0,83

b) Convecția liberă în spațiu limitat

Transferul de căldură în spații limitate este strâns legat de geometria spațiului disponibil pentru deplasarea fluidului, de poziția relativă a suprafețelor calde și reci și de natura fluidului (viscozitate).

Cazurile cele mai des întâlnite sunt:

- plăci plane paralele amplasate vertical:

- pentru plăcile verticale cu distanță mare între ele (fig.2.1,a.), curenții ascendenți și descendenți de fluid nu se influențează reciproc. Transferul de căldură în lungul fiecărei suprafețe are aspectul convecției libere la răcirea sau încălzirea unei suprafețe plane verticale în spațiu nelimitat;

- pentru plăcile verticale cu distanță mică între ele (fig.2.1,b.), se formează o serie de circuite interioare între curenții ascendenți și descendenți de fluid, cu înălțimea h, ce depind de distanța δ dintre plăci, de natura fluidului și de diferența de temperatură dintre cele două suprafețe (intensitatea transferului de căldură);

- plăci plane paralele amplasate orizontal:

În acest caz, transferul de căldură prin convecție liberă depinde de poziția suprafețelor calde:

- pentru amplasarea superioară a plăcii calde (fig.2.1,c.), mișcarea fluidului este nulă, transferul de căldură având loc prin conducție și radiație, în cazul temperaturilor ridicate;

- pentru amplasarea inferioară a plăcii calde (fig.2.1,d.), în fluid se formează curenți alternativi care dau mișcării un caracter celular, favorizând transferul de căldură prin convecție.

Practic, se obișnuiește ca acest tip de convecție liberă să fie calculat cu relația generală a conducției termice printr-un strat de fluid cu grosimea δ , delimitat de doi pereți cu temperaturile t_{p1} , respectiv, t_{p2} .

Densitatea de flux termic este:

$$q = \alpha \cdot (t_{p1} - t_{p2}) = Nu \cdot \frac{\lambda}{\delta} \cdot (t_{p1} - t_{p2}) = \frac{\lambda_{ech}}{\delta} \cdot (t_{p1} - t_{p2}) , \quad (2.49)$$

unde, λ_{ech} este conductivitatea termică echivalentă (aparentă sau efectivă) a fluidului.

Rezultă:

$$q = \varepsilon \cdot \frac{\lambda}{\delta} \cdot \Delta t , [W/m^2] , \quad (2.50)$$

unde: λ , [W/m.K] este conductivitatea termică a fluidului;

δ , [m] - grosimea stratului de fluid (distanța dintre suprafețe);

ε - coeficient adimensional de influență a convecției; $\varepsilon = f(Gr.Pr)_m$ cu relațiile de calcul prezentate în tabelul 2.7.

Tabelul 2.7

Regimul de transfer de căldură	Relație de calcul	Rel.nr.
$0 < (Gr.Pr)_m < 10^3$	$\varepsilon = 1$	2.51
$10^3 < (Gr.Pr)_m < 10^6$	$\varepsilon = 0,105 \cdot (Gr.Pr)_m^{0,3}$	2.52
$10^6 < (Gr.Pr)_m < 10^{10}$	$\varepsilon = 0,40 \cdot (Gr.Pr)_m^{0,2}$	2.53

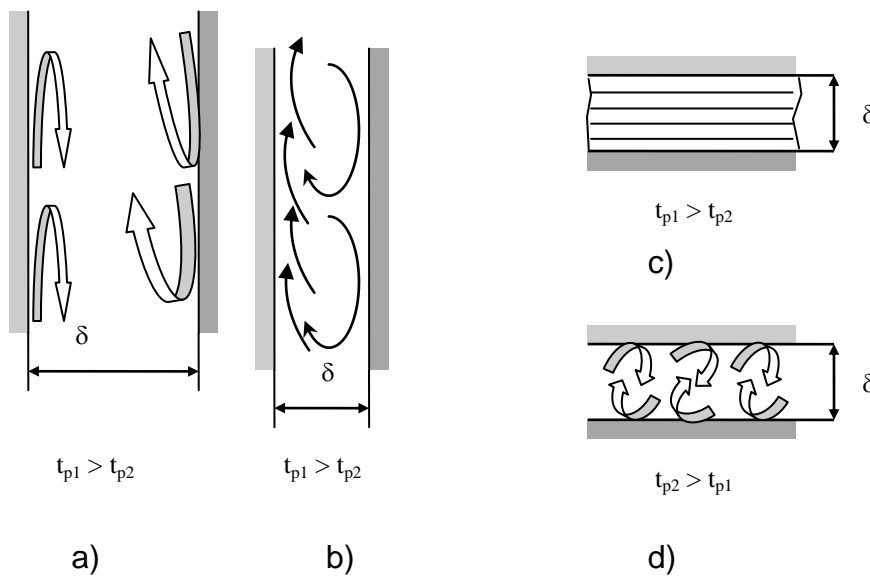


Fig.2.1

Semnificația notațiilor:

- dimensiunea determinantă este δ , [m], grosimea stratului de fluid (distanța dintre suprafețe);

- indicele inferior "m" indică faptul că temperatura determinantă este temperatura medie, calculată cu relația $t_m = 0,5 \cdot (t_{p1} + t_{p2})$, [°C] (2.54)

2.4.2. Convecția forțată

Curgerea forțată a fluidelor se datorează unor forțe exterioare (pompe, ventilatoare, vânt etc.) care crează presiunea de circulație a acestuia. Regimul de curgere este caracterizat cu ajutorul criteriului Reynolds.

Criteriile de similitudine caracteristice convecției libere sunt:

$$\text{- criteriul Nusselt} \quad Nu = \frac{\alpha \cdot X}{\lambda} \quad (2.55)$$

$$\text{- criteriul Reynolds} \quad Re = \frac{w \cdot X}{\nu} \quad (2.56)$$

- criteriul Prandtl (în cazul în care nu este dat tabelar)

$$Pr = \frac{\nu}{a} = \frac{\rho \cdot c_p \cdot \nu}{\lambda} \quad (2.57)$$

Aplicând analiza dimensională în studiul convecției căldurii, se va stabili ecuația transferului de căldură la curgerea forțată a unui curent de fluid la suprafața unui corp solid.

Nr.crt	Mărimea fizică	Unitatea măsură	de	Dimensiunea
1	Coeficientul de convecție, α	W/m ² K		kg · s ⁻³ · grd ⁻¹
2	Lungimea caracteristică, l	m		m
3	Coeficientul de conductibilitate, λ	W/mK		kg · s ⁻³ · grd ⁻¹ · m
4	Viteza fluidului, w	m/s		m · s ⁻¹
5	Viscozitatea, ν	m ² /s		m ² · s ⁻¹
6	Căldura specifică, c_p	J/kgK		m ² · s ⁻² · grd ⁻¹
7	Densitatea, ρ	kg/m ³		kg · m ⁻³

Rezultă șapte mărimi fizice și patru mărimi fizice fundamentale exprimate prin dimensiunile lungime, masa, timp și temperatura. Conform teoremei π , dependența dintre cele șapte mărimi fizice se reduce la o relație între $p - u = 7 - 4 = 3$ grupuri adimensionale.

Deci relația

$$f(\alpha, l, \lambda, w, \nu, c_p, \rho) = 0$$

devine $\pi_1 = F(\pi_2, \pi_3)$ unde :

$$\pi_1 = l^{a_1} \cdot \lambda^{b_1} \cdot \nu^{c_1} \cdot \rho^{d_1} \cdot \alpha$$

$$\pi_2 = l^{a_2} \cdot \lambda^{b_2} \cdot \nu^{c_2} \cdot \rho^{d_2} \cdot w$$

$$\pi_3 = l^{a_3} \cdot \lambda^{b_3} \cdot \nu^{c_3} \cdot \rho^{d_3} \cdot c_p$$

Scrierea acestor ecuații sub formă dimensională permite obținerea expresiilor π_1, π_2, π_3 .

Astfel potrivit primei ecuații se obține:

$$1 = m^{a_1} \cdot \text{kg}^{b_1} \cdot m^{b_1} \cdot s^{-3 \cdot b_1} \cdot \text{grad}^{-b_1} \cdot m^{2 \cdot c_1} \cdot s^{-c_1} \cdot \text{kg}^{d_1} \cdot m^{-3 \cdot d_1} \cdot \text{kg} \cdot s^{-3} \cdot \text{grad}^{-1}$$

Condițiile de omogenitate dimensională a acestei ecuații sunt :

$$m : a_1 + b_1 + 2 \cdot c_1 - 3 \cdot d_1 = 0 ;$$

$$\text{kg} : b_1 + d_1 + 1 = 0 ;$$

$$\text{grad} : -b_1 - 1 = 0 ;$$

$$s : -3 \cdot b_1 - c_1 - 3 = 0 ;$$

$$\text{Rezultă : } a_1 = 1 ; b_1 = -1 ; c_1 = 0 ; d_1 = 0 ;$$

Prin înlocuire în expresia grupului π_1 se obține :

$$\pi_1 = \frac{\ell \cdot \alpha}{\lambda} = \text{Nu} \quad \text{- criteriul Nusselt}$$

Exprimând dimensional ecuația π_2 se obține :

$$1 = m^{a_2} \cdot \text{kg}^{b_2} \cdot m^{b_2} \cdot s^{-3 \cdot b_2} \cdot \text{grad}^{-b_2} \cdot m^{2 \cdot c_2} \cdot s^{-c_2} \cdot \text{kg}^{d_2} \cdot m^{-3 \cdot d_2} \cdot m \cdot s^{-1}$$

Condițiile de omogenitate dimensională a acestei ecuații sunt :

$$m : a_2 + b_2 + 2 \cdot c_2 - 3 \cdot d_2 + 1 = 0 ;$$

$$\text{kg} : b_2 + d_2 = 0 ;$$

$$\text{grad} : -b_2 = 0 ;$$

$$s : -3 \cdot b_2 - c_2 - 1 = 0 ;$$

$$\text{Rezultă : } a_2 = 1 ; b_2 = 0 ; c_2 = -1 ; d_2 = 0 ;$$

Prin înlocuire în expresia grupului π_2 se obține :

$$\pi_2 = \frac{w \cdot \ell}{v} = \text{Re} \quad \text{- criteriul Reynolds}$$

Exprimând dimensional ecuația π_3 se obține :

$$1 = m^{a_3} \cdot \text{kg}^{b_3} \cdot m^{b_3} \cdot s^{-3 \cdot b_3} \cdot \text{grad}^{-b_3} \cdot m^{2 \cdot c_3} \cdot s^{-c_3} \cdot \text{kg}^{d_3} \cdot m^{-3 \cdot d_3} \cdot m^2 \cdot s^{-2} \cdot \text{grad}^{-1}$$

Condițiile de omogenitate dimensională a acestei ecuații sunt :

$$m : a_3 + b_3 + 2 \cdot c_3 - 3 \cdot d_3 + 2 = 0 ;$$

$$\text{kg} : b_3 + d_3 = 0 ;$$

$$\text{grad} : -b_3 - 1 = 0 ;$$

s: $-3 \cdot b_3 - c_3 - 2 = 0$;

Rezultă: $a_3 = 0$; $b_3 = -1$; $c_3 = 1$; $d_3 = 1$;

Prin înlocuire în expresia grupului π_3 se obține :

$$\pi_3 = \frac{v \cdot \rho \cdot c_p}{\lambda} = \frac{v}{a} \text{ criteriul Prandtl.}$$

Forma explicită a ecuației criteriale este:

$$Nu = F(Re, Pr).$$

Sunt prezentate în continuare cele mai importante cazuri de convecție forțată întâlnite în instalațiile termoenergetice.

2.1. Convecția forțată la curgerea fluidelor prin conducte (țevi)

În funcție de valorile criteriului Reynolds, Re , la curgerea fluidelor prin conducte se întâlnesc trei regimuri de curgere:

- $Re < 2320$ - regim laminar;
- $2320 < Re < 10^4$ - regim tranzitoriu;
- $Re > 10^4$ - regim turbulent.

În regim laminar și tranzitoriu, transferul de căldură este determinat de existența simultană a mișcării libere și forțate, iar în regimul turbulent, transferul de căldură depinde numai de mișcarea forțată.

Pentru **regimul laminar de curgere**, ecuațiile criteriale de calcul, pe domenii de valabilitate, sunt prezentate în tabelul 2.8.

Tabelul 2.8

Domeniul de valabilitate	Ecuația criterială	Rel.
$Re_m < 2300$; $(Gr.Pr)_m > 8 \cdot 10^5$; $L/d > 50$ (conducte lungi)	$Nu_m = 0,15 \cdot Re_m^{0,33} \cdot Pr_m^{0,43} \cdot Gr_m^{0,1} \cdot \varepsilon_t \cdot \varepsilon_L$	2.58
$Re_m < 2300$; $(Gr.Pr)_m < 8 \cdot 10^5$; $\frac{1}{Re_m \cdot Pr_m} \cdot \frac{L}{d} < 0,05$; $0,07 < \frac{\eta_p}{\eta_f} < 1500$ (lichide viscoase)	$Nu_m = 1,54 \cdot \left(Re_m \cdot Pr_m \cdot \frac{d_i}{L} \right)^{1/3} \cdot \varepsilon_t$	2.59
- pentru aer:	$Nu_m = 0,13 \cdot Re_m^{0,33} \cdot Gr_m^{0,1}$	2.59'

Semnificația notațiilor:

- indicele inferior "m" indică faptul că temperatura determinantă este temperatura medie calculată cu relația $t_m = 0,5 \cdot (t_p + t_f)$, [°C];
- dimensiunea determinantă X , [m], pentru calculul criteriilor Nusselt, Grashof și Reynolds este diametrul interior al conductei, d_i ;

ε_t - coeficient de corecție ce ține seama de sensul fluxului de căldură; (fluid - perete sau perete - fluid); se folosește la diferențe mari de temperatură între perete și fluid și în cazul lichidelor viscoase:

$$\varepsilon_t = \left(\frac{Pr_f}{Pr_p} \right)^{0,25} \quad \text{- în general} \quad (2.60)$$

$$\varepsilon_t = \left(\frac{\eta_f}{\eta_p} \right)^{0,14} \quad \text{- pentru lichide viscoase} \quad (2.61)$$

Se mai recomandă $\varepsilon_t = 1,05$, pentru procese de încălzire și $\varepsilon_t = 0,95$, pentru procese de răcire;

ε_L - coeficient de corecție ce ține seama de intensificarea transferului de căldură pe porțiunea de intrare în conductă, cu valori prezentate în tabelul 2.9.

Tabelul 2.9

L / d _i	10	15	20	30	40	>50
ε_L	1,28	1,18	1,13	1,05	1,02	1,00

Pentru **regimul tranzitoriu de curgere**, ecuațiile criteriale de calcul sunt prezentate în tabelul 2.10.

Tabelul 2.10

Domeniul de valabilitate	Ecuația criterială	Rel.
$2000 < Re_f < 10^4$	$Nu_f = Ko \cdot Pr_f^{0,43} \cdot \varepsilon_t \cdot \varepsilon_L$	2.62
$2100 < Re_f < 10^4$	$Nu_f = 0,116 \cdot (Re_f^{2/3} - 125) \cdot Pr_f^{1/3} \cdot \varepsilon_t \cdot \varepsilon_L$	2.63

Semnificatia mărimilor:

- indicele inferior "f" indică faptul că temperatura determinantă este temperatura medie a fluidului, t_f , [°C];
- Ko - criteriul Kondratiev; valorile Ko = f(Re) sunt date în tabelul 2.11 ;
- dimensiunea determinantă X, [m], pentru calculul criteriilor Nusselt, Grashof și Reynolds este diametrul interior al conductei, d_i;
- ε_t - coeficient de corecție ce ține seama de sensul fluxului de căldură; (fluid – perete sau perete - fluid) , calculat cu relațiile anterioare;

Tabelul 2.11

Re . 10 ⁻³	2,1	2,3	2,5	3,0	3,5	4,0
Ko	1,9	3,3	4,4	7,0	10,0	12,2
Re . 10 ⁻³	5,0	6,0	7,0	8,0	9,0	10,0
Ko	15,5	19,5	24,0	27,0	30,0	33,0

ε_L - coeficient de corecție ce ține seama de intensificarea transferului de căldură pe porțiunea de intrare în conductă; pentru regimul tranzitoriu, respectiv, turbulent: $\varepsilon_L = f(Re, L/d_i)$, cu valori prezentate în tabelul 2.12.

Tabelul 2.12

Re	L/d _i				
	10	20	30	40	>50
1.10 ⁴	1,23	1,13	1,07	1,03	1,00
2.10 ⁴	1,18	1,10	1,05	1,02	1,00
5.10 ⁴	1,13	1,08	1,04	1,02	1,00
1.10 ⁵	1,10	1,06	1,03	1,02	1,00
1.10 ⁶	1,05	1,03	1,02	1,02	1,00

Pentru **regimul turbulent de curgere**, ecuațiile criteriale de calcul sunt prezentate în tabelul 2.13.

Tabelul 2.13

Domeniul de valabilitate	Ecuația criterială	Rel.
Re _f > 10 ⁴ (ecuație generală)	Nu _f = 0,021 · Re _f ^{0,8} · Pr _f ^{0,43} · ε _t · ε _L	2.64
Re _f > 10 ⁴ (pentru lichide)	Nu _f = 0,116 · (Re _f ^{2/3} - 125) · Pr _f ^{1/3} · ε _t · ε _L	2.65

Semnificația notațiilor:

- indicele inferior "f" indică faptul că temperatura determinantă este temperatura medie a fluidului, t_f, [°C];

- dimensiunea determinantă X, [m], pentru calculul criteriilor Nusselt, Grashof și Reynolds este diametrul interior al conductei, d_i;

ε_t - coeficient de corecție ce ține seama de sensul fluxului de căldură; (fluid - perete sau perete - fluid), calculat cu relațiile anterioare;

ε_L - coeficient de corecție ce ține seama de intensificarea transferului de căldură pe porțiunea de intrare în conductă, ε_L = f(Re, L/d_i), cu valori prezentate în tabelul 2.12.

Indiferent de regimul de curgere, în cazul în care țevă este înfășurată sub formă de serpentină cu raza R, [m], intervine coeficientul de corecție ε_R calculat cu relația:

$$\varepsilon_R = 1 + 1,77 \cdot \frac{d_i}{R} \quad (2.66)$$

2.2. Convecția forțată la curgerea fluidelor prin canale

2.2.1. Convecția forțată la curgerea fluidelor prin canale inelare

În funcție de valorile criteriului Reynolds, Re, la curgerea fluidelor prin canale inelare (cazul schimbătorului de căldură cu țevi coaxiale), ecuațiile criteriale sunt:

- pentru Re_f > 3000:

$$Nu_f = 0,023 \cdot Re_f^{0,8} \cdot Pr_f^{0,4} \cdot \left(\frac{D_i}{d_e}\right)^{0,45} \cdot \varepsilon_t \quad (2.67)$$

- pentru 5.10³ < Re < 4.10⁵, Pr_f = 0,7...100, L/d_{ech} = 50...460 și D_i/d_e = 1,2...1,4:

$$Nu_f = 0,017 \cdot Re_f^{0,8} \cdot Pr_f^{0,4} \cdot \left(\frac{D_i}{d_e}\right)^{0,18} \cdot \varepsilon_t \quad (2.68)$$

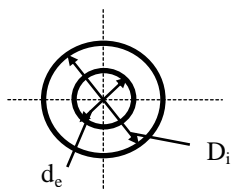


Fig.2.2

Semnificația notațiilor :

- indicile inferior "f" indică faptul că temperatura determinantă este temperatura medie a fluidului cald sau rece, t_f ;
 - dimensiunea determinantă este diametrul echivalent d_{ech} , [m].
- Conform figurii 2.2. se calculează cu relația:

$$d_{ech} = \frac{4 \cdot \frac{\pi}{4} \cdot (D_i^2 - d_e^2)}{\pi \cdot (D_i + d_e)} = D_i - d_e, [m] \quad (2.69)$$

- unde :
- D_i , [m] este diametrul interior al țevii exterioare;
 - d_e , [m] - diametrul exterior al țevii interioare;
 - ε_t - coeficient de corecție ce ține seama de sensul fluxului de căldură; se calculează cu relațiile anterioare.

2.2.2. Convecția forțată la curgerea fluidelor prin canale de secțiune dreptunghiulară

În general, fluidul de lucru este un gaz. Pentru $Re > 2320$, ecuația criterială de calcul este:

$$Nu_f = 0,0018 \cdot Re_f^{0,8} \quad (2.70)$$

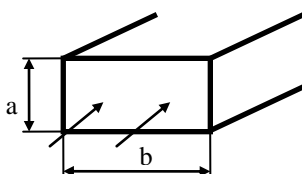


Fig. 2.3

Semnificația notațiilor :

- indicile inferior "f" indică faptul că temperatura determinantă este temperatura medie a gazului, t_f , [°C] ;
 - dimensiunea determinantă este diametrul echivalent, d_{ech} , [m].
- Conform figurii.2.3, se calculează cu relația:

$$d_{ech} = 4 \cdot \frac{a \cdot b}{2 \cdot (a + b)} = 2 \cdot \frac{a \cdot b}{a + b}, [m] \quad (2.71)$$

unde, a și b sunt laturile dreptunghiului ;

2.2.3 Convecția forțată la curgerea fluidelor prin canale de secțiune pătrată

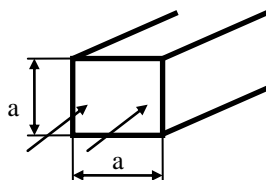


Fig.2.4

Dimensiunea determinantă este diametrul echivalent, d_{ech} , [m], (figura 2.4), calculat cu relația:

$$d_{ech} = \frac{4 \cdot a^2}{4 \cdot a} = a, [m] \quad (2.72)$$

unde, a este latura pătratului.

În general, fluidul de lucru este un gaz. Pentru $Re > 2320$, ecuația criterială de calcul este relația de la canalul

dreptunghiular.

2.2.4. Convecția forțată la curgerea fluidelor prin spațiul dintre corpul aparatului și fasciculul de țevi

În cazul curgerii fluidelor prin spațiul dintre corpul aparatului și fasciculul de țevi (cazul aparatelor multitubulare), ecuațiile criteriale, funcție de construcția aparatului, sunt prezentate în tabelul 2.14.

Tabelul 2.14

Dom. de valabilitate	Ecuația criterială	Obs.	Rel.
$200 < Re_f < 2 \cdot 10^4$	$Nu_f = 1,16 \cdot d_{ech}^{0,6} \cdot Re_f^{0,6} \cdot Pr_f^{0,33} \cdot \varepsilon_t$	fără șicane	2.73
$4 < Re_f < 5 \cdot 10^4$	$Nu_f = 0,22 \cdot Re_f^{0,6} \cdot Pr_f^{0,33} \cdot \varepsilon_t$	șicane segment	2.74

Semnificația notațiilor :

- indicile inferior "f" indică faptul că temperatura determinantă este temperatura medie a gazului, t_f , [°C] ;

- d_{ech} , [m] este diametrul echivalent; indiferent de modul de amplasare a țevilor în plăcile tubulare, se calculează cu relația:

$$d_{ech} = \frac{4 \cdot \frac{\pi}{4} \cdot (D_i^2 - n \cdot d_e^2)}{\pi \cdot (D_i + n \cdot d_e)} = \frac{D_i^2 - n \cdot d_e^2}{D_i + n \cdot d_e}, [m] \quad (2.75)$$

unde: D_i , [m] - diametrul interior al corpului aparatului;

n - numărul de țevi.

ε_t - coeficient de corecție ce ține seama de sensul fluxului de căldură; se calculează cu relațiile anterioare.

2. 3. Convecția forțată la curgerea transversală a fluidelor peste o țeavă singulară

Funcție de domeniul de valabilitate, ecuațiile criteriale de calcul sunt prezentate în tabelul 2.15.

Tabelul 2.15

Domeniul de valabilitate	Ecuația criterială	Rel.
$40 < Re_f < 10^3$	$Nu_f = 0,52 \cdot Re_f^{0,5} \cdot Pr_f^{0,37} \cdot \varepsilon_t$	2.76
$10^3 < Re_f < 2 \cdot 10^5$	$Nu_f = 0,60 \cdot Re_f^{0,5} \cdot Pr_f^{0,31} \cdot \varepsilon_t$	2.77
$3 \cdot 10^5 < Re_f < 2 \cdot 10^6$	$Nu_f = 0,23 \cdot Re_f^{0,8} \cdot Pr_f^{0,37} \cdot \varepsilon_t$	2.78

Semnificația notațiilor :

- indicile inferior "f" indică faptul că temperatura determinantă este temperatura medie a fluidului, t_f , [°C] ;

- dimensiunea determinantă este d_e , [m] , diametrul exterior al țevii;

- ε_t - coeficient de corecție ce ține seama de sensul fluxului de căldură; se calculează cu relațiile anterioare.

2.5. Convecția forțată la curgerea fluidelor peste un fascicul de țevi netede

Amplasarea țevelor în fascicul se poate face în două moduri :

- amplasare în coridor (paralel) (fig.2.5,a) : din punct de vedere fluidodinamic, amplasarea este avantajoasă, deoarece pierderile de presiune sunt minime ; din punct de vedere al transferului de căldură, amplasarea nu este avantajoasă, deoarece transferul de căldură între fluid și țevi este maxim numai pentru primul rând de țevi ;
- amplasare în șah (alternant) (fig.2.5,b) : din punct de vedere fluidodinamic, amplasarea nu este avantajoasă, deoarece pierderile de presiune sunt maxime ; din punct de vedere al transferului de căldură, amplasarea este avantajoasă, deoarece transferul de căldură între fluid și țevi este maxim pentru primele două rânduri de țevi.

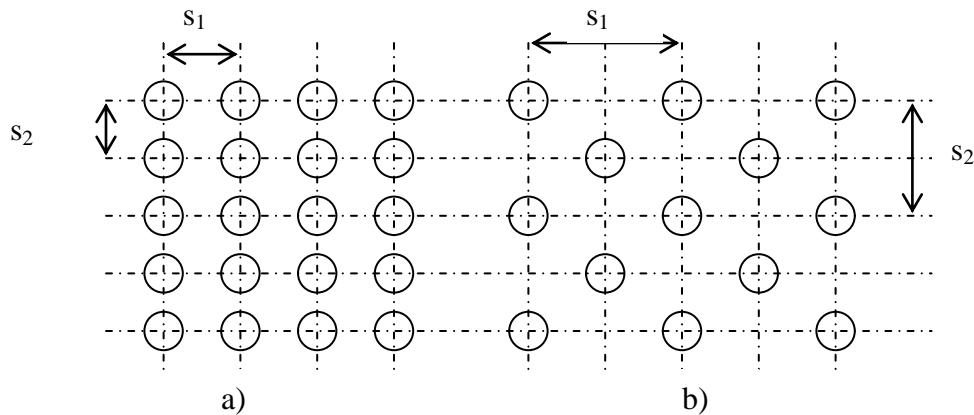


Fig.2.5

În calculul criteriului Reynolds, intervine viteza maximă a fluidului în secțiunea minimă de curgere dintre două țevi vecine; depinde de amplasarea țevelor și de dimensiunile constructive ale fasciculului de țevi:

- pentru fascicul în coridor:

$$w_{\max} = w \cdot \frac{s_1}{s_1 - d_e} \quad , \quad [\text{m/s}] \quad (2.79)$$

- pentru fascicul în șah:

$$\text{- cu } s_1 \geq \sqrt{\left(\frac{s_1}{2}\right)^2 + s_2^2} \quad w_{\max} = w \cdot \frac{s_1}{s_1 - d_e} \quad , \quad [\text{m/s}] \quad (2.80)$$

$$\text{- cu } s_1 \leq \sqrt{\left(\frac{s_1}{2}\right)^2 + s_2^2} \quad w_{\max} = w \cdot \frac{s_1}{\sqrt{\left(\frac{s_1}{2}\right)^2 + s_2^2} - d_e} \quad , \quad [\text{m/s}] \quad (2.81)$$

unde : s_1 , [m] este pasul longitudinal ;
 s_2 , [m] – pasul transversal.

La curgerea fluidelor transversal peste un fascicul de țevi, ecuațiile criteriale de calcul sunt prezentate în tabelul 2.15.

Tabelul 2.16

Domeniul de valabilitate	Ecuția criterială	Rel.
Fascicul în coridor		
- laminar $Re < 10^5$	$Nu_f = 0,56 \cdot Re_f^{0,5} \cdot Pr_f^{0,36} \cdot \varepsilon_t$	2.82
- turbulent $Re > 10^5$	$Nu_f = 0,22 \cdot Re_f^{0,65} \cdot Pr_f^{0,36} \cdot \varepsilon_t$	2.83
Fascicul în șah		
- laminar $Re < 10^5$	$Nu_f = 0,56 \cdot Re_f^{0,5} \cdot Pr_f^{0,36} \cdot \varepsilon_t$	2.84
-turbulent $Re > 10^5$	$Nu_f = 0,40 \cdot Re_f^{0,6} \cdot Pr_f^{0,36} \cdot \varepsilon_t$	2.85

Semnificația notațiilor :

- indicile inferior "f" indică faptul că temperatura determinantă este temperatura medie a fluidului, t_f , [°C];
- dimensiunea determinantă este diametrul exterior al țevilor, d_e , [m];
- ε_t - coeficient de corecție ce ține seama de sensul fluxului de căldură; se calculează cu relațiile anterioare.

2.4. Convecția forțată la curgerea peliculară a lichidelor pe suprafețe verticale

În cazul curgerii peliculare a lichidelor în interiorul sau exteriorul țevilor verticale (cazul schimbătoarelor de căldură multitubulare verticale), algoritmul de calcul cuprinde următoarele mărimi:

- coeficientul de curgere peliculară:

$$\Gamma = \frac{\dot{m}}{L_c \cdot n}, \text{ [kg/m.s]} \quad (2.86)$$

unde: \dot{m} , [kg/s] reprezintă debitul masic de lichid;

L_c , [m] - lungimea de calcul: $L_c = \pi \cdot d_i$, pentru curgerea peliculară în interiorul țevilor verticale și $L_c = \pi \cdot d_e$, pentru curgerea peliculară în exteriorul țevilor verticale;

n - numărul țevilor din aparat;

- criteriul Reynolds:

$$Re = \frac{4 \cdot \Gamma}{\eta} = \frac{4 \cdot \Gamma}{v \cdot \rho} \quad (2.87)$$

- criteriul Galilei:

$$Ga = \frac{g \cdot H^3}{v^2} \quad (2.88)$$

unde, H , [m] este înălțimea activă a țevilor.

În funcție de domeniul de valabilitate, ecuațiile criteriale sunt prezentate în tabelul 2.17.

Tabelul 2.17

Regimul de curgere	Ecuția criterială	Rel.
$Re_f < 2000$	$Nu_f = 0,67 \cdot (Ga^2 \cdot Re \cdot Pr^3)_f^{1/9}$	2.89
$Re_f > 2000$	$Nu_f = 0,01 \cdot (Ga \cdot Re \cdot Pr)_f^{1/3}$	2.90

Semnificația notațiilor :

- indicele "f" indică faptul că temperatura determinantă este temperatura medie a lichidului, t_f , [°C] ;
- dimensiunea determinantă este H, [m] - înălțimea țevilor.

2.5. CONVECȚIA TERMICĂ CU SCHIMBAREA STĂRII DE AGREGARE A FLUIDELOR

2.5.1. Condensarea

Condensarea este un proces izobar-izoterm de transformare a vaporilor în lichid. Are loc cu cedarea căldurii de condensare unui agent de răcire.

Coeficientul de convecție se calculează cu relațiile:

- condensare pe țeavă orizontală:

$$\alpha_o = 0,728 \cdot 4 \sqrt{\frac{g \cdot \rho^2 \cdot \lambda^3 \cdot l_c}{\eta \cdot d_e \cdot (t_f - t_p)}}, \text{ [W/m}^2\text{.grad]} \quad (2.91)$$

- condensare pe fascicul de țevi orizontale:

$$\alpha_f = 0,728 \cdot 4 \sqrt{\frac{g \cdot \rho^2 \cdot \lambda^3 \cdot l_c}{\eta \cdot d_e \cdot (t_f - t_p)}} \cdot N_v^{-1/6}, \text{ [W/m}^2\text{.grad]} \quad (2.92)$$

unde: N_v reprezintă jumătate din numărul de țevi pe verticală din fascicul; într-o primă aproximație, se recomandă $N_v = 4 \dots 10$.

- condensare în interiorul țevilor orizontale:

$$\alpha_i = C \cdot 4 \sqrt{\frac{g \cdot \rho^2 \cdot \lambda^3 \cdot l_c}{\eta \cdot d_i \cdot (t_f - t_p)}}, \text{ [W/m}^2\text{.grad]} \quad (2.93)$$

relație în care constanta $C = 0,56$, pentru amoniac, $C = 0,555$, pentru abur și $C = 0,72$, pentru freoni;

- condensare pe țeavă verticală:

$$\alpha_v = 1,15 \cdot 4 \sqrt{\frac{g \cdot \rho^2 \cdot \lambda^3 \cdot l_c}{\eta \cdot H \cdot (t_f - t_p)}}, \text{ [W/m}^2\text{.grad]} \quad (2.94)$$

În aceste relații, t_p , [°C], este temperatura peretelui țevii, iar l_c , [J/kg], căldura latentă masică de condensare.

Obs. Parametrii termofizici se determină din tabelele corespunzătoare la temperatura medie a fluidului ce condensează, t_f , [°C], pentru starea de lichid saturat.

2.5.2.. Fierbere (vaporizare)

Fierberea este un proces izobar-izoterm de transformare a lichidului în vapori. Are loc cu absorbția căldurii de fierbere de la un agent cald.

În cazul fierberii pe fascicul de țevi orizontale netede, coeficientul de convecție se calculează cu relațiile:

- pentru amoniac:

$$\alpha = 567,87 \cdot (t_p - t_f)^{2/3}, \text{ [W/m}^2\text{.grad]} \quad (2.95)$$

$$\text{sau: } \alpha = 570 \cdot d_e/d_i \cdot (t_p - t_f), [\text{W/m}^2 \cdot \text{grad}] \quad (2.96)$$

- pentru apă:

$$\alpha = 0,0325 \cdot p_f^{0,58} \cdot (t_p - t_f)^{2,33}, [\text{W/m}^2 \cdot \text{grad}] \quad (2.97)$$

unde, p_2 , [Pa] este presiunea de fierbere a apei;

- pentru apă sau lichide organice:

$$\alpha = 3,14 \cdot q^{0,7} \cdot p_f^{0,15} = 3,86 \cdot (t_p - t_f)^{2,33} \cdot p_f^{0,5}, [\text{W/m}^2 \cdot \text{grad}] \quad (2.98)$$

unde: p_f , [bar] este presiunea de fierbere a apei;

q , [W/m^2] - densitatea de flux termic.

- pentru un lichid alimentar:

$$\alpha_1 = \alpha \cdot \left(\frac{\lambda_1}{\lambda}\right)^{0,75} \cdot \left(\frac{\rho_1}{\rho}\right)^{0,7} \cdot \left(\frac{c_{pl}}{c_p}\right)^{0,12} \cdot \left(\frac{\eta_1}{\eta}\right)^{-0,94}, [\text{W/m}^2 \cdot \text{grad}] \quad (2.99)$$

relație în care mărimile notate cu indicele inferior "1" se referă la lichidul alimentar, iar cele fără indice, se referă la apă.

În cazul fierberii R22 pe fascicul de țevi orizontale nervurate (cazul freonilor), coeficientul de convecție se calculează cu relația:

$$\alpha_e = 32,7 \cdot q^{0,45} \cdot p_f^{0,45} = 528 \cdot (t_p - t_f)^{0,82} \cdot p_f^{0,45}, [\text{W/m}^2 \cdot \text{grad}] \quad (2.100)$$

cu p_2 , [bar], presiunea de fierbere sau vaporizare; este indicată sau se determină din tabele sau diagrame, funcție de temperatura t_f , [$^{\circ}\text{C}$];

În cazul fierberii amoniacului în interiorul tevilor orizontale, relația de calcul este:

$$\alpha = 1,04 \cdot \frac{\dot{m}^{0,2} \cdot q_{Si}^{0,6}}{d_i^{0,6}}, [\text{W/m}^2 \cdot \text{grad}], \quad (2.101)$$

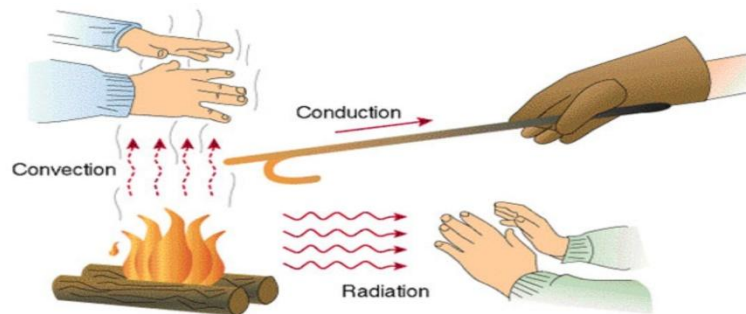
unde: m , [kg/s] este debitul masic de amoniac; se determină din calculul instalației frigorifice aferente;

q_{Si} , [W/m^2] - densitatea de flux termic raportată la suprafața interioară de transfer de căldură;

d_i , [m] - diametrul interior al țevii.

Capitolul 3 RADIAȚIA TERMICĂ

Radiația este un fenomen de transport de energie prin unde electromagnetice. Mecanismul de transformare a energiei termice în energie radiantă, pe baza interpretării lui Planck, se poate prezenta astfel: în urma unui șoc (între molecule, atomi, electroni liberi) în interiorul unui corp, electronii sunt scoși din starea de echilibru și trec de la un nivel energetic la altul (de la o orbită la alta). La revenirea în poziția inițială (la nivelul energetic inițial) care reprezintă o stare de stabilitate mai mare, energia termică primită în urma șocului se eliberează sub forma undelor electromagnetice care se emit în spațiu.



Formele de radiație se deosebesc numai prin lungimea de undă λ sau frecvența ν legate prin relația:

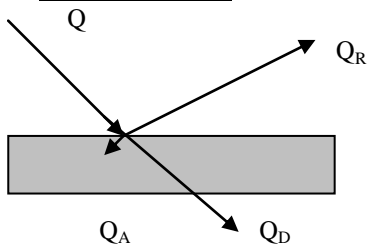
$$\lambda \cdot \nu = c, \text{ [m / s]}, \quad (3.1)$$

unde, $c = 3 \cdot 10^8$ m/s este viteza luminii.

Radiația termică este rezultatul transformării energiei interne a corpurilor în energie a undelor electromagnetice cu $\lambda = (0,1 \dots 100) \mu\text{m}$, cuprinzând domeniul radiațiilor vizibile și infraroșii.

3.1. Mărimi caracteristice radiației termice

Fluxul radiant, Φ , incident pe suprafața unui corp (fig.3.1) se distribuie astfel:



- Φ_A – este flux absorbit;
- Φ_R – este flux reflectat;
- Φ_D - este flux difuzat (străbate corpul).

Fig.3.1

Ecuția de bilant energetic este:

$$\Phi = \Phi_A + \Phi_R + \Phi_D \quad (3.2)$$

sau:

$$1 = \frac{\Phi_A}{\Phi} + \frac{\Phi_R}{\Phi} + \frac{\Phi_D}{\Phi} = A + R + D \quad (3.3)$$

unde: A este coeficientul de absorbție;

R – coeficientul de reflexie;

D – coeficientul de difuzie (permiabilitate).

Coeficienții A, R și D pot lua valori cuprinse între 0 și 1 funcție de natura corpului, starea suprafețelor, spectrul radiației incidente și temperatură. În funcție de aceste valori, se poate face o clasificare a corpurilor:

- pentru A = 1; R = D = 0, corpul este absolut negru (radiator integral);

- pentru R = 1; A = D = 0, corpul este absolut alb;

- pentru D = 1; A = R = 0, corpul este diaterm (transparent).

În natură, corpurile sunt cenușii (A < 1), absorbind pe toate lungimile de undă o anumită proporție din radiațiile incidente.

Suprafața unui corp poate fi:

- lucie, dacă reflectă radiația incidentă într-o direcție determinată, unghiul de incidență fiind egal cu cel de reflexie;

- mată, dacă reflectă radiația incidentă în toate direcțiile.

Fluxul radiant unitar (putere totală de emisie), E, reprezintă fluxul radiant pe unitatea de suprafață a unui corp în toate direcțiile și pe toate lungimile de undă :

$$E = \frac{d\Phi}{dS}, [W / m^2] \quad (3.4)$$

Intensitatea de radiație, I_λ , reprezintă energia radiantă de unitatea de suprafață a unui corp în unitate de timp, pe o anumită lungime de undă:

$$I_\lambda = \frac{dE}{d\lambda}, [W / m^3] \quad (3.5)$$

Factorul de emisie, ε , este raportul între puterea totală de emisie a unui corp oarecare, E, și puterea totală de emisie a corpului negru, E_0 :

$$\varepsilon = \frac{E}{E_0} \quad (3.6)$$

3.2. Legile radiației termice

Legea lui Planck reprezintă legea de distribuție a intensității de radiație, $I_{\lambda,0}$, pentru corpul negru, la diferite temperaturi:

$$I_{\lambda,0} = \frac{C_1}{\lambda^5 \left(e^{\frac{C_2}{\lambda T}} - 1 \right)}, [W / m^3], \quad (3.7)$$

unde: C_1 este prima constantă Planck, cu valoarea $C_1 = 0,374 \cdot 10^{-15}$, $[W/m^2]$;

C_2 este a doua constantă Planck, cu valoarea $C_2 = 1,4388 \cdot 10^{-2}$, [m .K].

Relația (3.7) a fost stabilită pe cale analitică: arată că $I_\lambda \rightarrow 0$ pentru $\lambda \rightarrow 0$ și $\lambda \rightarrow \infty$ și are un maxim pentru fiecare temperatură.

Legea lui Planck prezintă două cazuri extreme:

- pentru $\lambda T \gg C_2$, **legea Reyleigh–Jeans**, care, prin dezvoltarea în serie a

termenului $e^{\frac{C_2}{\lambda \cdot T}}$, se rețin primii doi termeni:

$$e^{\frac{C_2}{\lambda \cdot T}} = 1 + \frac{1}{1} \left(\frac{C_2}{\lambda \cdot T} \right) + \frac{1}{2} \left(\frac{C_2}{\lambda \cdot T} \right)^2 + \dots \quad (3.8)$$

rezultă:

$$I_{\lambda,0} = \frac{C_1 \cdot T}{C_2 \cdot \lambda^4}, \text{ [W/m}^3\text{]} \quad (3.9)$$

- pentru $\lambda T \ll C_2$, **legea Wien**, se neglijează unitatea:

$$I_{\lambda,0} = \frac{C_1}{\lambda^5 \cdot e^{\lambda \cdot T}}, \text{ [W/m}^3\text{]} \quad (3.10)$$

Maximul relației (3.10) se determină anulând derivata:

$$\frac{dI_{\lambda,0}}{d\lambda} = 0 \quad (3.11)$$

obtinându-se:

$$\lambda_{\max} \cdot T = 2,89 \cdot 10^{-3} \text{ [m .K]}, \quad (3.12)$$

relația Wien arătând că maximul intensității de radiație se deplasează cu creșterea temperaturii spre lungimi de undă mai mici.

Legea Ștefan–Boltzman, stabilește dependența puterii totale de emisie de temperatura corpului absolut negru:

$$E_0 = \int_0^\infty I_{\lambda,0} \cdot d\lambda = C_0 \cdot \left(\frac{T}{100} \right)^4, \text{ [W/m}^2\text{]} \quad (3.13)$$

unde, $C_0 = 5,67 \frac{\text{W}}{\text{m}^2 \cdot \text{K}^4}$ este coeficientul de radiație al corpului negru.

$$\text{Pentru corpurile cenușii: } E = \varepsilon \cdot E_0 = \varepsilon \cdot c_0 \cdot \left(\frac{T}{100} \right)^4, \text{ [W/m}^2\text{]} \quad (3.14)$$

unde, ε este factorul de emisie (depinde de natura materialului și de starea suprafețelor).

Legea lui Kirchoff stabilește legătura dintre cantitatea de energie emisă și cea absorbită de un corp, în anumite condiții de temperatură. Se obține simplu considerând mai multe corpuri aflate într-o incintă închisă de mari dimensiuni, admisă corp negru.

Pentru fiecare corp, în condițiile echilibrului termodinamic, energia emisă egală cu energia absorbită.

$$E_1 = A_1 \cdot E_0 = E_2 = A_2 \cdot E_0 \quad (3.15)$$

$$\frac{E_1}{A_1} = \frac{E_2}{A_2} = \dots = E_0 = f(T) \quad (3.16)$$

$$E = \varepsilon \cdot E_0 = A \cdot E_0 \Rightarrow \varepsilon = A \quad (3.17)$$

deci, pentru un corp în echilibru termodinamic coeficientul de absorbție egal cu factorul de emisie.

Capacitatea de radiație a unui corp este cu atât mai mare cu cât capacitatea sa de absorbție este mai mare.

3.3. Transferul de căldură prin radiație între un corp și un gaz

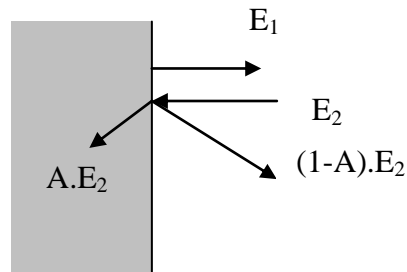


Fig.3.2

O parte din energia incidentă, E_2 , pe suprafața unui corp este absorbită ($A \cdot E_2$), iar cealaltă parte este reflectată, $(1-A) \cdot E_2$ (fig.3.2).

Suma dintre energia proprie și cea reflectată se numește energie efectivă:

$$E_{ef} = E_1 + (1 - A) \cdot E_2 \quad (3.18)$$

Diferența dintre fluxul radiant și cel absorbit se numește fluxul radiației rezultante:

$$E_{rez} = E_1 - A E_2 = E_{ef} - E_2 \quad (3.19)$$

3.4. Transferul de căldură prin radiație între două suprafețe plane paralele separate printr-un mediu transparent radiației termice

Conform ecuației de bilanț pentru radiația efectivă aplicată celor două suprafețe, se obține:

$$\begin{cases} E_{1ef} = E_1 + (1 - A_1) \cdot E_{2ef} \\ E_{2ef} = E_2 + (1 - A_2) \cdot E_{1ef} \end{cases} \quad (3.20)$$

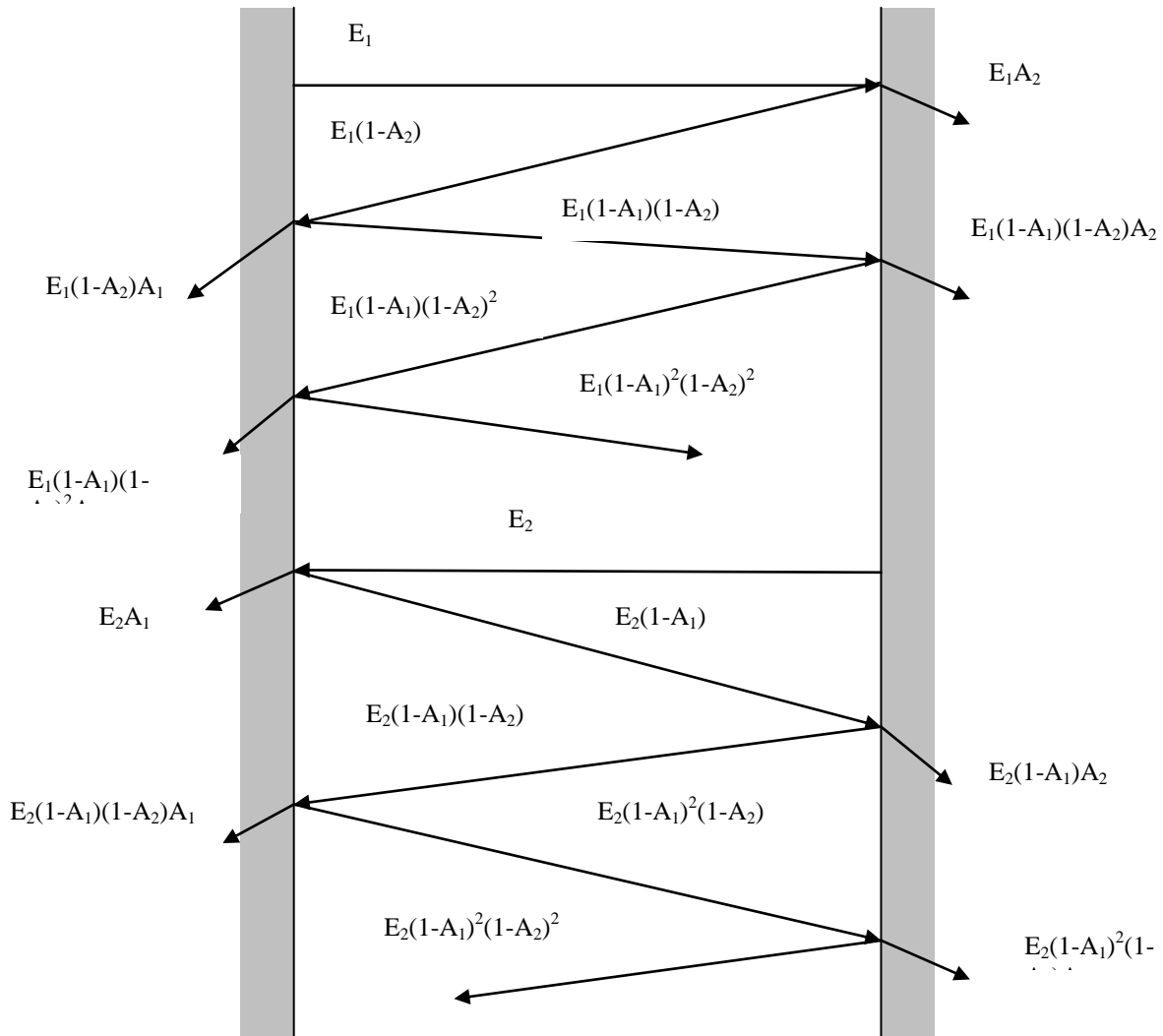


Fig.3.3

Rezultă:

$$\begin{cases} E_{1ef} = \frac{E_1 + E_2 - A_1 \cdot E_2}{A_1 + A_2 - A_1 \cdot A_2} \\ E_{2ef} = \frac{E_1 + E_2 - A_2 \cdot E_1}{A_1 + A_2 - A_1 \cdot A_2} \end{cases} \quad (3.21)$$

Densitatea fluxului radiant transmisă de la suprafața 1 la suprafața 2 va fi:

$$\begin{aligned} q_{12} = E_{1ef} - E_{2ef} &= \frac{A_2 \cdot E_1 - A_1 \cdot E_2}{A_1 + A_2 - A_1 \cdot A_2} = \frac{A_2 \cdot A_1 \cdot C_0 \cdot \left[\left(\frac{T_1}{100} \right)^4 - \left(\frac{T_2}{100} \right)^4 \right]}{A_1 + A_2 - A_1 \cdot A_2} = \\ &= \frac{\left(\frac{T_1}{100} \right)^4 - \left(\frac{T_2}{100} \right)^4}{\frac{1}{A_1 \cdot C_0} + \frac{1}{A_2 \cdot C_0} - \frac{1}{C_0}} = \frac{\left(\frac{T_1}{100} \right)^4 - \left(\frac{T_2}{100} \right)^4}{\frac{1}{C_1} + \frac{1}{C_2} - \frac{1}{C_0}} = C_{12} \cdot \left[\left(\frac{T_1}{100} \right)^4 - \left(\frac{T_2}{100} \right)^4 \right] \end{aligned} \quad (3.22)$$

unde: $C_{12} = \frac{1}{\frac{1}{C_1} + \frac{1}{C_2} - \frac{1}{C_0}}$ este coeficientul redus de radiație (3.23)

În calculele practice se poate utiliza și dependența:

$$C_{12} = \varepsilon_{12} \cdot C_0 \quad (3.24)$$

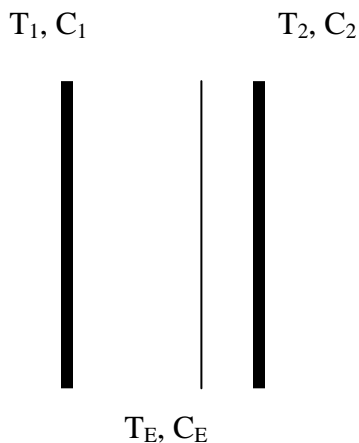
deci:

$$\varepsilon_{12} = \frac{1}{\frac{1}{\varepsilon_1} + \frac{1}{\varepsilon_2} - 1} \text{ este coeficientul de negreală redus.} \quad (3.25)$$

$$q_{12} = \varepsilon_{12} \cdot C_0 \cdot \left[\left(\frac{T_1}{100} \right)^4 - \left(\frac{T_2}{100} \right)^4 \right] \quad (3.26)$$

cu

$$\varepsilon_{12} = \frac{1}{\frac{1}{\varepsilon_1} + \frac{S_1}{S_2} \cdot \left(\frac{1}{\varepsilon_2} - 1 \right)} \quad (3.27)$$



Uneori, în diverse domenii ale tehnicii, este necesar să se reducă transferul de căldură prin radiație. Acest lucru se obține prin introducerea unor ecrane între cele două suprafețe (fig. 3.4).

Ecranul este reprezentat printr-o foiță metalică subțire cu o mare capacitate de reflectare:

Fig.3.4

$$q_{1E} = \frac{\left(\frac{T_1}{100}\right)^4 - \left(\frac{T_E}{100}\right)^4}{\frac{1}{C_1} + \frac{1}{C_E} - \frac{1}{C_o}} \quad (3.28)$$

$$q_{E2} = \frac{\left(\frac{T_E}{100}\right)^4 - \left(\frac{T_2}{100}\right)^4}{\frac{1}{C_E} + \frac{1}{C_2} - \frac{1}{C_o}} \quad (3.29)$$

Dacă, pentru simplificare, se admite $C_1 = C_2 = C_E$, se obține:

$$\left(\frac{T_E}{100}\right)^4 = \frac{\left(\frac{T_1}{100}\right)^4 + \left(\frac{T_2}{100}\right)^4}{2} \quad (3.30)$$

deci:

$$q_{12}^E = \frac{C_{12}}{2} \left[\left(\frac{T_1}{100}\right)^4 - \left(\frac{T_2}{100}\right)^4 \right] = \frac{q_{12}}{2} \quad (3.31)$$

Generalizând pentru "n" ecrane, cu condiția $C_{E1} = C_{E2} = \dots = C_{En} = C_1 = C_2$, se obține:

$$q_2^E = \frac{q_{12}}{n+1} \quad (3.32)$$

Capitolul 4

TRANSFERUL TOTAL (GLOBAL) DE CĂLDURĂ

În majoritatea cazurilor practice, căldura este transmisă între corpuri prin două sau prin toate cele trei procese combinate simultan. Conducția termică apare numai în corpurile solide sau în fluidele stagnante. Transferul de căldură prin convecție este însoțit întodeauna de conducție.

Numeroase aplicații tehnice presupun transferul de căldură între două fluide printr-un perete despărțitor, așa încât aceasta se realizează prin conducție și convecție termică, la temperaturi înalte apărând și radiația termică.

Apar două cazuri distincte:

- procese de transfer de căldură la temperaturi moderate în care apar conducția și convecția termică (aparate schimbătoare de căldură, conducte care transportă fluide calde etc.). În acest caz radiația este neglijată. ($t_{\text{fluid}} < 350^\circ \text{C}$):

$$\Phi = q_{\text{conv}} \cdot S = \alpha_{\text{conv}} \cdot S \cdot (t_{f1} - t_{f2}), [\text{W}] \quad (4.1)$$

unde α_{conv} , [$\text{W}/\text{m}^2 \cdot \text{grad}$] este coeficientul de convecție

- procese de transfer de căldură la temperaturi ridicate în care apar conducția, convecția și radiația termică (cuptoare, focarele cazanelor de abur etc.) ($t_f > 350^\circ \text{C}$)

$$\Phi = \alpha \cdot S \cdot (t_f - t_p) \quad (4.2)$$

unde, α , [$\text{W}/\text{m}^2 \cdot \text{grad}$] este coeficientul complex de transfer de căldură (convecție și radiație), calculat cu relația:

$$\alpha = \alpha_c + \alpha_r = \alpha_c + \frac{\varepsilon \cdot C_o \left[\left(\frac{T_f}{100} \right)^4 - \left(\frac{T_p}{100} \right)^4 \right]}{t_f - t_p}, [\text{W}/\text{m}^2 \cdot \text{grad}] \quad (4.3)$$

Pentru considerarea simultană a celor trei procese de transfer termic se definește coeficientul global de schimb de căldură. Astfel, fluxul termic total Φ , schimbat între două fluide printr-un perete plan sau cilindric se exprimă prin:

$$\Phi = q_s \cdot S = k_s \cdot S (t_1 - t_2) \quad [\text{W}]$$

sau

$$\Phi = q_l \cdot L = k_l \cdot L (t_1 - t_2) \quad [\text{W}]$$

unde:

k_s, k_l [$\text{W}/\text{m}^2 \text{K}$] - coeficienți globali de transfer de căldură pentru perete plan respectiv cilindric.

S, L [m^2], [m] – suprafața peretelui plan, respectiv lungimea cilindrului.

Coeficientul global de transfer de căldură se exprimă prin:

$$k_s = \frac{1}{R_{tot}} \text{ [W/m}^2\text{K]} \quad k_l = \frac{1}{R_{l\,tot}} \text{ [W/mK]}$$

unde:

R_{tot} , $R_{l\,tot}$ – rezistența termică a peretelui plan respectiv cilindric.

În general, la aparatele schimbătoare de căldură suprafața de transfer de căldură între cele două fluide este o suprafață cilindrică. Dacă este îndeplinită condiția $d_e / d_i < 1,5$ (2), pentru calculul coeficientului total de transfer de căldură , k , se poate utiliza relația de la peretele plan:

$$k = \frac{1}{\frac{1}{\alpha_1} + \sum R_t + \frac{1}{\alpha_2}} \text{ , [W/m}^2\text{.grd]} \quad (4.4)$$

unde: α_1 , [W/m².grd] este coeficientul de convecție pentru fluidul cald;

$\sum R_t$, [m².grd/W] - suma rezistențelor termice interioare, R_i , sau exterioare, R_e , suprafeței de transfer de căldură;

α_2 , [W/m².grd] - coeficientul de convecție de partea fluidului rece.

Coeficientul total de transfer de căldură raportat la suprafața interioară de transfer de căldură se calculează cu relația:

$$k_{si} = \frac{1}{\frac{1}{\alpha_2} \cdot \frac{d_e}{d_i} + R_i + \frac{1}{\alpha_1}} \text{ , [W/m}^2\text{.grd]} \quad (4.5)$$

Coeficientul total de transfer de căldură raportat la suprafața exterioară de transfer de căldură se calculează cu relația:

$$k_{se} = \frac{1}{\frac{1}{\alpha_1} \cdot \frac{d_e}{d_i} + R_{ei} + \frac{1}{\alpha_2}} \text{ , [W/m}^2\text{.grd]} \quad (4.6)$$

Valori aproximative (statistice) ale coeficientului total de transfer de căldură, k , pentru o serie de aparate schimbătoare de căldură tubulare de construcție curentă sunt prezentate în tabelul 4.1 și în tabelul 4.2, pentru diverse medii de lucru și condiții de funcționare.

Tabelul 4.1

Tipul constructiv al aparatului	Natura fluidelor	k , [W/m ² .grd]
Schimbător de căldură cu țevi coaxiale (tip țevă în țevă)	Gaz (1 bar) - gaz (1 bar)	12...36
	Gaz (200...300 bar) în interior - gaz (1bar) în spațiul inelar	25...60
	Gaz (200...300 bar) - gaz (200...300 bar)	180...470
	Gaz (200...300 bar) în interior - lichid în spațiul inelar	230...600

	Lichid – lichid	350...1400
	Lichid – amoniac	580...700
	Apa - amoniac	700...800
Schimbător de căldură cu elemente și multitubular	Gaz (1 bar) - gaz (1 bar)	6...35
	Gaz (200...300 bar) prin țevi - gaz (200...300 bar) peste țevi	175...450
	Gaz (200...300 bar) peste țevi - lichid prin țevi	120...420
	Gaz (1 bar) - lichid	18...70
	Gaz (200...300 bar) prin țevi - lichid peste țevi	230...700
	Lichid – lichid	170...1200
	Vapori supraîncălziți peste țevi - lichid prin țevi	350...1200
	Saramură - amoniac	580...700
	Apa – amoniac (condensator cu elemente)	700...810
	Apa – amoniac (condensator multitubular orizontal)	700...1400
	Apa – amoniac (condensator multitubular vertical)	810...1470

Tabelul 4.1 (continuare)

Tipul constructiv al aparatului	Natura fluidelor	k ,W/m ² .grad
Vaporizator	Amoniac - saramură	240...820
	Lichid cu densitate compatibilă apei, în circulație naturală -abur supraîncălzit ce condensează	580...1800
	Lichid cu densitate compatibilă uleiurilor, în circulație naturală- - abur supraîncălzit ce condensează	350...940
	Lichid în circulație forțată - abur ce condensează	930...3000
Condensator *	Agenti frigorifici (condensare peste țevi) - apă prin țevi	350...1200
	Abur (condensare peste țevi) - apă prin țevi	1800...4100

Obs: * Valorile din tabel corespund vaporilor puri. In prezenta unor gaze necondensabile, valoarea coeficientului k scade cu participatia acestuia în amestec.

Tabelul 4.2

Mediile de lucru și condițiile de funcționare		k , W/m ² .grad
Fluidul cald	Fluidul rece	
Abur	Apă: - - încălzitor instantaneu	2268...3408
	- - încălzitor cu rezervor	988...1704

	Combustibili lichizi: - grei - ușori	57...170 170...341
	Petrol ușor, distilat	284...1135
	Soluții apoase	567...3408
	Gaze	28...284
	Aer comprimat	57...170
	Apă (răcitor de apă în manta)	849...1558
	Ulei de ungere	114...341
	Vapori de ulei în condensare	227...567
	Apă	Alcool în condensare
Amoniac în condensare		849...1420
Freon 12: - în condensare - în fierbere		453...849 284...849
	Gazolină	342...512
	Pacură	198...342
	Saramură	567...1135
Compuși organici ușori	Compuși organici ușori	227...426
Compuși organici grei	Compuși organici: - grei - ușori	57...227 57...342

Pentru vaporizatoarele frigorifice, valorile coeficientului total de transfer de căldură sunt prezentate în tabelul 4.3.

Tabelul 4.3

Tip constructiv	Natura fluidelor	k, [W/m ² .grd]
Teavă în țevă	Lichid -amoniac	580...700
Multitubular orizontal cu țevi netede	Saramură - amoniac	580...700

Pentru condensatoarele frigorifice, valorile coeficientului total de transfer de căldură sunt prezentate în tabelul 4.4.

Tabelul 4.4

Tip constructiv	Natura fluidelor	k, [W/m ² .grd]
Teavă în țevă	Apă - amoniac	700...800
Cu elemente	Apă - amoniac	700...810
Multitubular orizontal	Apă - amoniac	700...1400
Multitubular vertical	Apă - amoniac	810...1470

În cazul transferului de căldură între două fluide separate printr-un perete, pe suprafața interioară sau exterioară a acestuia se depun o serie de impurități (piatră, ulei frigorific, funingine etc.). Prezența acestor depuneri introduce o rezistență termică suplimentară, ceea ce duce la micșorarea transferului de căldură între cele două fluide:

$$\sum R_t = \frac{\delta_m}{\lambda_m} + \sum \frac{\delta_d}{\lambda_d} = \frac{\delta_m}{\lambda_m} + R_d, \quad [m^2 \cdot \text{grd}/W], \quad (4.7)$$

unde: δ_m , [m] este grosimea tevii;

λ_m , [W/m.K] - conductivitatea termică a materialului tevij; se recomandă:

$\lambda_m = 46...52$ W/m.K - pentru otel carbon;

$\lambda_m = 15,1$ W/m.K - pentru otel inoxidabil;

$\lambda_m = 236$ W/m.K - pentru aluminiu;

$\lambda_m = 398$ W/m.K - pentru cupru;

R_d , [m².grd/W] - rezistența termică a depunerilor; se recomandă:

- pentru stratul de piatră depus în cazul apei:

$\delta_p = 0,5...1$ mm si $\lambda_p = 1,5$ W/m.K;

- pentru piatră bogată în silicati:

$\delta_p = 0,2...1$ mm si $\lambda_p = 0,082...0,235$ W/m.K;

- pentru piatră bogată în var:

$\delta_p = 0,2...1$ mm si $\lambda_p = 0,15...2,35$ W/m.K;

- pentru piatră bogată în ipsos:

$\delta_p = 0,2...1$ mm si $\lambda_p = 0,7...2,35$ W/m.K;

- pentru stratul de ulei frigorific:

$\delta_u = 0,05...0,08$ mm si $\lambda_u = 0,12$ W/m.K.

Valori pentru rezistența termică a depunerilor, R_d , [m².grd/W], pentru diferite fluide, funcție de temperatură și viteză, sunt prezentate în tabelele 4.5., 4.6. și 4.7.

Tabelul 4.5

Temperatura fluidului cald, [°C]	<< 115		115...205	
Temperatura apei, [°C]	< 52		>52	
	Viteza, [m/s]		Viteza, [m/s]	
Caracteristicile apei	< 0,9	> 0,9	< 0,9	> 0,9
Apă de turn tratată	0,00018	0,00018	0,00035	0,00035
Apă de turn netratată	0,00052	0,00052	0,00086	0,00070
Apă potabilă (rețea urbană)	0,00018	0,00018	0,00035	0,00035
Apă de râu (min.)	0,00035	0,00018	0,00052	0,00035
Apă distilată	0,00009	0,00009	0,00009	0,00009

Tabelul 4.6

Natura fluidului	Viteza , [m/s]	Temperatura, [°C]	
		< 38	> 38
Apă de râu decantată	< 0,6	0,00035	0,00035...0,00053
	> 1,2	0,00009...0,00026	0,00018...0,00044
Apă de râu tratată și decantată	< 0,6	0,00026	0,00035
	> 1,2	0,00018	0,00026
Condensat (38...148) ^o C	< 0,6	0,00018	0,00035...0,00070
	> 1,2	0,00009	0,00018
Abur saturat fără ulei	-	-	0,00009...0,00026
Idem, cu urme de ulei	-	-	0,00018...0,00035
Saramură (max. 52 ^o C)	< 0,6	0,00053	0,00070
	> 1,2	0,00035	0,00035

Tabelul 4.7

Natura fluidului	R_d , [$m^2 \cdot \text{grad} / W$]
Aer atmosferic	0,00009...0,00018
Aer comprimat	0,00018
Gaze de ardere	0,00018...0,00053
Soluții caustice	0,00035
Uleiuri vegetale	0,00053
Ulei de ungere	0,00017
Agente frigorificali	0,00018
Săruri topite	0,00009
Benzine, gaze lichefiate	0,00018

La aparatele schimbătoare de căldură tubulare cu schimbarea stării de agregare a fluidelor, cunoașterea temperaturii peretelui țevilor, t_p , prezintă o importanță deosebită. Deoarece apare ca necunoscută și densitatea de flux termic, q , [W/m^2], se utilizează metoda grafo-analitică de rezolvare.

Densitatea de flux termic raportată la suprafața interioară de transfer de căldură, q_{si} , se calculează cu una din relațiile următoare, după cum fluidul este cald (fluidul care condensează) sau rece (fluidul care vaporizează):

$$q_{si} = \alpha \cdot \frac{d_e}{d_i} \cdot (t_f - t_p), [W/m^2] \quad (4.8)$$

$$q_{si} = \frac{t_p - t_f}{\frac{1}{\alpha} + R_i + R_e \cdot \frac{d_i}{d_e}}, [W/m^2] \quad (4.9)$$

Densitatea de flux termic raportată la suprafața exterioară de transfer de căldură, q_{se} , se calculează cu una din următoarele relații, după cum fluidul este cald (fluidul care condensează) sau rece (fluidul care vaporizează):

$$q_{se} = \alpha \cdot \frac{d_i}{d_e} \cdot (t_f - t_p), [W/m^2] \quad (4.10)$$

$$q_{se} = \frac{t_p - t_f}{\frac{1}{\alpha} + R_e + R_i \cdot \frac{d_i}{d_e}}, [W/m^2] \quad (4.11)$$

Deoarece natura curbelor este diferită, metoda grafo-analitică va fi prezentată pentru fiecare aparat schimbător de căldură în parte în capitolul următor.

Capitolul 5

APARATE SCHIMBĂTOARE DE CĂLDURĂ

Schimbătoarele de căldură sunt aparate în care se realizează transferul de căldură între două sau mai multe fluide în procese de încălzire, răcire, fierbere, condensare, evaporare etc. Pot fi întâlnite ca aparate independente sau ca părți componente ale unei instalații complexe, montarea lor ducând la creșterea randamentului instalației.

Având în vedere scopul pentru care au fost proiectate și construite, schimbătoarele de căldură trebuie să realizeze un transfer termic cât mai intens între fluidele de lucru, să respecte regimul de temperaturi impus de procesul tehnologic, să asigure siguranță și securitate în exploatare, să aibă o construcție simplă, compactă, ușor de montat, reparat și exploatat.

5.1. Clasificarea aparatelor schimbătoare de căldură

Variatatea proceselor și instalațiilor termice industriale impune o mare diversitate de tipuri constructive de aparate schimbătoare de căldură. Clasificarea lor poate fi făcută după mai multe criterii, ținând seama de principiile funcționale și constructive:

- după modul transferului de căldură:

- schimbătoare de căldură de suprafață, în care trecerea căldurii de la fluidul cald la cel rece se realizează printr-un perete despărțitor, confecționat din materiale cu o conductivitate termică ridicată, transferul de căldură făcându-se, de cele mai multe ori, în regim staționar;

- schimbătoare de căldură de amestec, în care procesul de transfer de căldură se realizează prin amestecarea totală sau parțială a fluidelor. Au o construcție mai simplă decât cele de suprafață și permit o utilizare mai complexă a căldurii. Se recomandă a fi utilizate în procesele tehnologice care permit amestecarea fluidelor. Transferul de căldură este însoțit și de un transfer de masă, realizându-se în regim staționar.

- după realizarea transferului de căldură:

- schimbătoare de căldură cu funcționare continuă (recuperative), care pot fi de suprafață sau de amestec;

- schimbătoare de căldură cu funcționare discontinuă:

- acumulatori, la care energia termică disponibilă este acumulată urmând a fi livrată după un regim determinat;

- regeneratoare, la care energia termică a fluidului cald este acumulată într-o masă inertă pentru a fi cedată apoi fluidului rece. Procesul de transfer de căldură se realizează în regim nestaționar.

Se vor prezenta numai aparatele schimbătoare de căldură de suprafață, utilizate în instalațiile termoenergetice. Conform STAS 8435 - 80, aceste aparate se clasifică după mai multe criterii:

1. - după utilizarea aparatului:

- schimbătoare de căldură fără modificarea stării de agregare a fluidelor (încălzitoare, răcitoare, preîncălzitoare, subrăcitoare etc.);

- schimbătoare de căldură cu modificarea stării de agregare a fluidelor (condensatoare, vaporizatoare, fierbătoare, evaporatoare etc.);

2. - după starea de agregare a fluidelor de lucru:

- schimbătoare de căldură lichid - lichid;

- schimbătoare de căldură lichid - vapori;

- schimbătoare de căldură lichid - gaz;

- schimbătoare de căldură vapori - gaz;

- schimbătoare de căldură gaz - gaz;

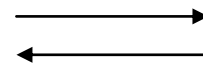
3.- după direcția de deplasare a fluidelor de lucru în aparat:

- în echicurent (fig.5.1,a)



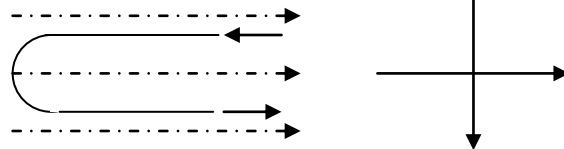
a

- în contracurent (fig.5.1,b)



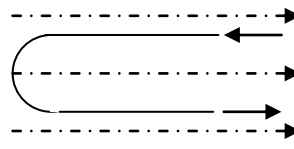
b

- în curent încrucișat (fig.5.1,c)



c

- în curent mixt (fig.5.1,d)



d

Fig.5.1

4. - funcție de numărul de treceri a fluidelor prin aparat:

- schimbătoare de căldură cu o singură trecere, în care fluidele circulă prin aparat fără a-si modifica sensul de mișcare;

- schimbătoare de căldură cu mai multe treceri, prevăzute cu pereți despărțitori longitudinali sau transversali (șicane);

5. - după configurația peretelui despărțitor:

- schimbătoare de căldură tubulare (țeavă în țeavă, cu elemente, multitubulare orizontale sau verticale);

- schimbătoare de căldură cu plăci;
- schimbătoare de căldură tip grătar;
- schimbătoare de căldură cu stropire;
- schimbătoare de căldură nervurate;
- schimbătoare de căldură în manta;
- schimbătoare de căldură cu serpentină;
- schimbătoare de căldură spirale;
- schimbătoare de căldură combinate;

6.- după soluția constructivă adoptată:

- schimbătoare de căldură rigide, care nu asigură compensarea dilatării elementelor componente;
- schimbătoare de căldură elastice sau semielastice, care permit compensarea totală sau parțială a dilatării elementelor componente;

7.- după materialul folosit în construcție:

- schimbătoare de căldură metalice;
- schimbătoare de căldură nemetalice (materiale ceramice, plastice, grafit, sticlă etc.);

8.- după caracterul termic al regimului de funcționare:

- schimbătoare de căldură în regim termic staționar;
- schimbătoare de căldură în regim termic nestaționar.

În cadrul instalațiilor tehnologice aparatele schimbătoare de căldură pot funcționa ca aparate principale, când constituie părți determinante ale unor procese tehnologice sau procese exclusiv termice sau ca aparate secundare, introduse în instalații din motive de economie de căldură sau de substanță.

5.2. Calculul termic al aparatelor schimbătoare de căldură

Calculul termic al aparatelor schimbătoare de căldură prin suprafață utilizează două ecuații:

- *ecuația de bilanț termic:*

$$\Phi_1 = \Phi_2 + \Phi_p = \frac{\Phi_2}{\eta_r} \text{ [W]}, \quad (5.1)$$

unde: Φ_1 [W] este fluxul termic cedat de fluidul cald:

$$\begin{aligned} \Phi_1 &= \dot{m}_1 \cdot c_{p1} \cdot (t_1' - t_1'') = C_1 \cdot (t_1' - t_1'') = \rho_1 \cdot Q_{v1} \cdot c_{p1} \cdot (t_1' - t_1'') = \\ &= \dot{m}_1 \cdot I_c \end{aligned} \quad (5.2)$$

Φ_2 [W] - fluxul termic absorbit de fluidul rece :

$$\Phi_2 = \dot{m}_2 \cdot c_{p2} \cdot (t_2'' - t_2') = C_2 \cdot (t_2'' - t_2') = \rho_2 \cdot Q_{v2} \cdot c_{p2} \cdot (t_2'' - t_2') =$$

$$= \dot{m}_2 \cdot l_v \quad (5.3)$$

Φ_p [W] - fluzul termic pierdut în mediul ambiant prin suprafața exterioară a aparatului;

η_r - coeficientul de reținere a căldurii în aparat (randament energetic);

- *ecuația de transmitere a căldurii:*

$$\Phi = k \cdot S \cdot \Delta t_m \text{ [W]} \quad (5.4)$$

relații în care:

\dot{m}_1, \dot{m}_2 [kg/s] - debitul masic de fluid cald, respectiv, rece;

c_{p1}, c_{p2} [J/kg.K] - căldura specifică medie a fluidului cald, respectiv, rece;

t_1, t_1'' [°C] - temperatura inițială, respectiv, finală a fluidului cald;

t_2, t_2'' [°C] - temperatura inițială, respectiv, finală a fluidului rece;

C_1, C_2 [W/grad] - capacitatea calorică a fluidului cald, respectiv, rece ;

ρ_1, ρ_2 [kg/m³] - densitatea fluidului cald, respectiv, rece ;

l_c, l_v [J/kg] - căldura latentă masică de condensare, respectiv, de fierbere (vaporizare);

S [m²] - suprafața de transfer de căldură;

Δt_m [grad] - diferența medie logaritmică de temperatură;

k [W/m².grad] - coeficientul total de transfer de căldură.

5.2.1. Calculul diferenței medii logaritmice de temperatură

- aparate schimbătoare de căldură în echicurent:

Diagrama de variație a temperaturilor celor două fluide în lungul suprafeței de transfer de căldură este prezentată în figura 5.2.

Considerând un element de suprafață, dS , putem scrie cele două ecuații:

- ecuația de bilanț termic:

$$d\Phi = -\dot{m}_1 \cdot c_{p1} \cdot dt_1 = \dot{m}_2 \cdot c_{p2} \cdot dt_2 \quad (5.5)$$

Se face notația: $\dot{m} \cdot c_p = C$ - capacitatea calorică

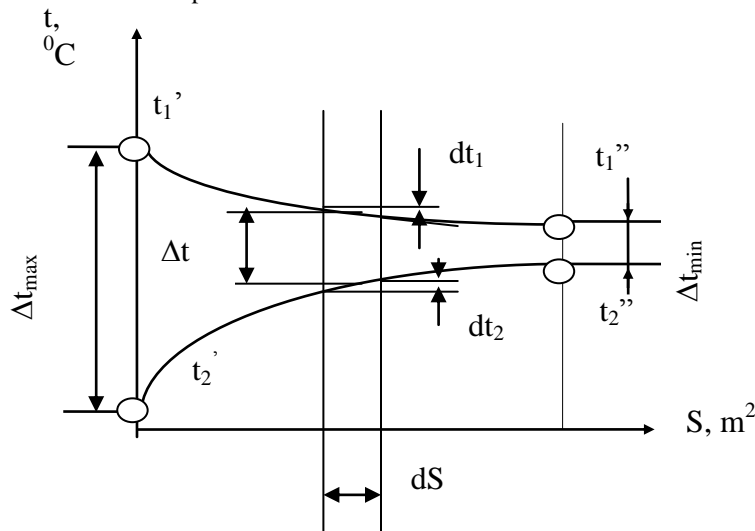


Fig.5.2

Rezultă:

$$d\Phi = -C_1 \cdot dt_1 = C_2 \cdot dt_2 \quad (5.6)$$

Obs.: Semnul minus indică faptul că temperatura fluidului cald scade cu creșterea suprafeței de transfer de căldură.

- ecuația transferului de căldură:

$$d\Phi = k \cdot dS \cdot \Delta t \quad (5.7)$$

Din relația (5.5) rezultă variațiile elementare ale temperaturilor celor două fluide:

$$dt_1 = -\frac{d\Phi}{C_1} \quad (5.8)$$

$$dt_2 = \frac{d\Phi}{C_2} \quad (5.9)$$

Rezultă:

$$dt_1 - dt_2 = d(t_1 - t_2) = d(\Delta t) = -d\Phi \cdot \left(\frac{1}{C_1} + \frac{1}{C_2} \right) \quad (5.10)$$

Cu relația (5.7) se obține:

$$d(\Delta t) = -k \cdot dS \cdot \Delta t \cdot \left(\frac{1}{C_1} + \frac{1}{C_2} \right) \quad (5.11)$$

Separând variabilele și integrând, se obține succesiv:

$$\frac{d(\Delta t)}{\Delta t} = -k \cdot dS \cdot \left(\frac{1}{C_1} + \frac{1}{C_2} \right) \quad (5.12)$$

$$\ln \frac{t_1' - t_2'}{t_1'' - t_2''} = k \cdot S \cdot \left(\frac{1}{C_1} + \frac{1}{C_2} \right) \quad (5.13)$$

Scriind cele două ecuații pentru aparatul schimbător de căldură (întreaga suprafață) rezultă:

$$\Phi = C_1 \cdot (t_1' - t_1'') = C_2 \cdot (t_2'' - t_2') \quad (5.14)$$

$$\Phi = k \cdot S \cdot \Delta t_{m,ec} \quad (5.15)$$

Din relația (5.14) rezultă:

$$\frac{1}{C_1} = \frac{t_1' - t_1''}{\Phi} \quad (5.16)$$

$$\frac{1}{C_2} = \frac{t_2'' - t_2'}{\Phi} \quad (5.17)$$

Introducând relațiile (5.16), (5.17) și (5.15) în relația (5.13) se obține:

$$\ln \frac{t_1' - t_2'}{t_1'' - t_2''} = k \cdot S \cdot \frac{(t_1' - t_2') - (t_1'' - t_2'')}{k \cdot S \cdot \Delta t_{m,ec}} = \frac{(t_1' - t_2') - (t_1'' - t_2'')}{\Delta t_{m,ec}} \quad (5.18)$$

Diferența medie logaritmică de temperatură pentru curgerea fluidelor în echicurent:

$$\Delta t_{m.ec} = \frac{\left(t_1' - t_2' \right) - \left(t_1'' - t_2'' \right)}{\ln \frac{\left(t_1' - t_2' \right)}{\left(t_1'' - t_2'' \right)}} = \frac{\Delta t_{max} - \Delta t_{min}}{\ln \frac{\Delta t_{max}}{\Delta t_{min}}} \text{ [grad]} \quad (5.19)$$

Diagramele de variație a temperaturilor celor două fluide în lungul suprafeței de transfer de căldură, funcție de raportul celor două capacități calorice, sunt prezentate în figura 5.3.

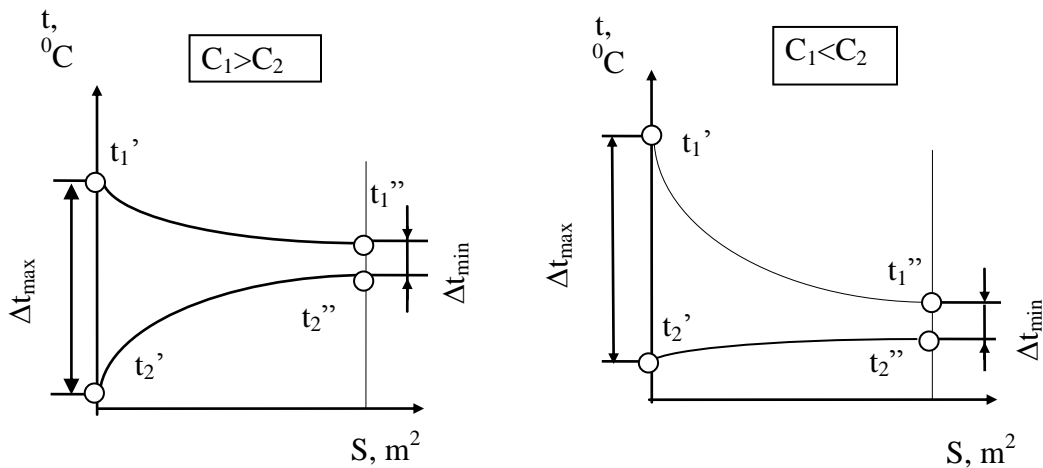


Fig.5.3

- aparate schimbătoare de căldură în contracurent:

Diagrama de variație a temperaturilor celor două fluide în lungul suprafeței de transfer de căldură este prezentată în figura 5.4.

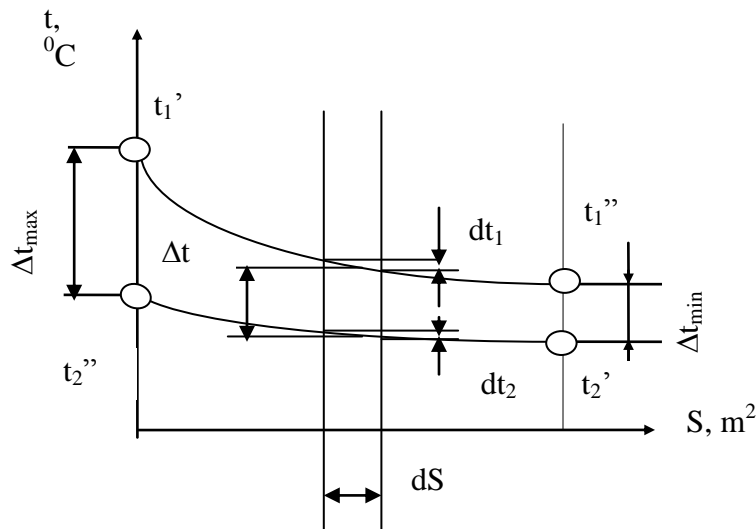


Fig.5.4

Considerând un element de suprafață, dS , putem scrie cele două ecuații:

- ecuația de bilanț termic:

$$d\Phi = -C_1 \cdot dt_1 = -C_2 \cdot dt_2 \quad (5.20)$$

Obs.: Semnul minus indică faptul că temperaturile celor două fluide scad cu creșterea suprafeței de transfer de căldură.

- ecuația transferului de căldură:

$$d\Phi = k \cdot dS \cdot \Delta t \quad (5.21)$$

Din relația (5.20) rezultă variațiile elementare ale temperaturilor celor două fluide:

$$dt_1 = -\frac{d\Phi}{C_1} \quad (5.22)$$

$$dt_2 = -\frac{d\Phi}{C_2} \quad (5.23)$$

Rezultă:

$$dt_1 - dt_2 = d(t_1 - t_2) = d(\Delta t) = -d\Phi \cdot \left(\frac{1}{C_1} - \frac{1}{C_2} \right) \quad (5.24)$$

Cu relația (5.21) se obține:

$$d(\Delta t) = -k \cdot dS \cdot \Delta t \cdot \left(\frac{1}{C_1} - \frac{1}{C_2} \right) \quad (5.25)$$

Separând variabilele și integrând, se obține succesiv:

$$\frac{d(\Delta t)}{\Delta t} = -k \cdot dS \cdot \left(\frac{1}{C_1} - \frac{1}{C_2} \right) \quad (5.26)$$

$$\ln \frac{t_1' - t_2''}{t_1'' - t_2'} = k \cdot S \cdot \left(\frac{1}{C_1} - \frac{1}{C_2} \right) \quad (5.27)$$

Scriind cele două ecuații pentru aparatul schimbător de căldură (întreaga suprafață) rezultă:

$$\Phi = C_1 \cdot (t_1' - t_1'') = C_2 \cdot (t_2'' - t_2') \quad (5.28)$$

$$\Phi = k \cdot S \cdot \Delta t_{m,cc} \quad (5.29)$$

Din relația (5.27) rezultă:

$$\frac{1}{C_1} = \frac{t_1' - t_1''}{\Phi} \quad (5.30)$$

$$\frac{1}{C_2} = \frac{t_2'' - t_2'}{\Phi} \quad (5.31)$$

Introducând relațiile (5.29), (5.30) și (5.31) în relația (5.27) se obține:

$$\ln \frac{t_1' - t_2''}{t_1'' - t_2'} = k \cdot S \cdot \frac{(t_1' - t_1'') - (t_2'' - t_2')}{k \cdot S \cdot \Delta t_{m,cc}} = \frac{(t_1' - t_2'') - (t_1'' - t_2')}{\Delta t_{m,cc}} \quad (5.32)$$

Diferența medie logaritmică de temperatură pentru curgerea fluidelor în echicurent:

$$\Delta t_{m,cc} = \frac{\left(t_1' - t_2'' \right) - \left(t_1'' - t_2' \right)}{\ln \frac{\left(t_1' - t_2'' \right)}{\left(t_1'' - t_2' \right)}} = \frac{\Delta t_{\max} - \Delta t_{\min}}{\ln \frac{\Delta t_{\max}}{\Delta t_{\min}}} \text{ [grad]} \quad (5.33)$$

Diagramele de variație a temperaturilor celor două fluide în lungul suprafeței de transfer de căldură, funcție de raportul capacităților calorice, sunt prezentate în figura 5.5.

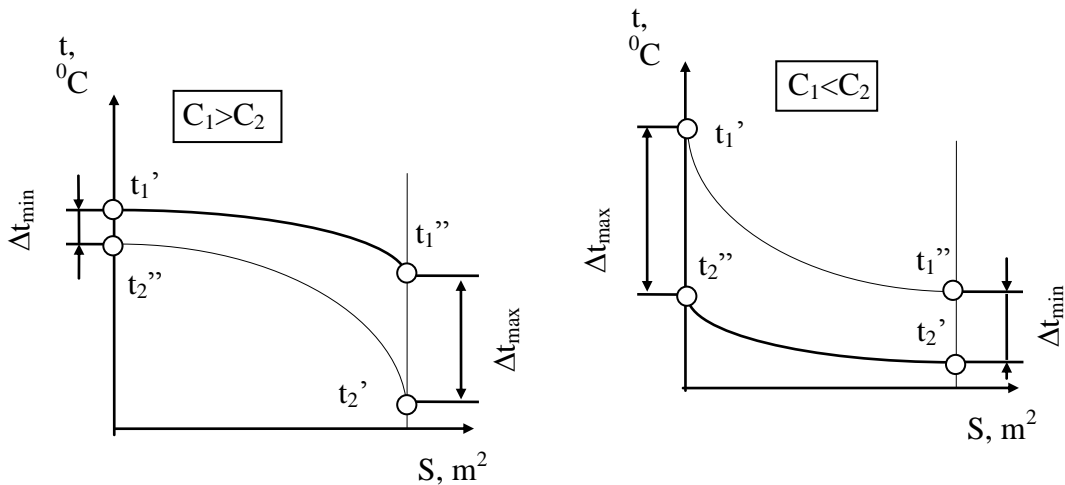


Fig.5.5

Diferența medie logaritmică de temperatură:

- pentru cazul $C_1 > C_2$:

$$\Delta t_{m,cc} = \frac{\left(t_1'' - t_2' \right) - \left(t_1' - t_2'' \right)}{\ln \frac{\left(t_1'' - t_2' \right)}{\left(t_1' - t_2'' \right)}} \text{ [grad]} \quad (5.34)$$

- pentru cazul $C_1 < C_2$:

$$\Delta t_{m,cc} = \frac{\left(t_1' - t_2'' \right) - \left(t_1'' - t_2' \right)}{\ln \frac{\left(t_1' - t_2'' \right)}{\left(t_1'' - t_2' \right)}} \text{ [grad]} \quad (5.35)$$

- aparate schimbătoare de căldură în curgere mixtă sau încrucișată:

Pentru calculul diferenței medii logaritmice de temperatură se utilizează metoda factorului de corecție F:

$$\Delta t_{m,ci} = F \cdot \Delta t_{m,cc} \text{ [grad] ,} \quad (5.36)$$

unde: $\Delta t_{m,cc}$ [grad] este diferența medie logaritmă de temperatură pentru curgerea în contracurent <relațiile (5.34) sau (5.35);

F - coeficient de corecție ce ține seama de schema de curgere a fluidelor și este determinat de parametrii:

- eficiența încălzirii fluidului în aparat:

$$P = \frac{t_2'' - t_2'}{t_1' - t_2'} < 1 \quad (5.37)$$

- raportul capacităților calorice:

$$R = \frac{C_2}{C_1} \quad (5.38)$$

Funcțiile de forma $F = f(P, R, \text{ schema de curgere a fluidelor prin aparat})$ sunt prezentate în figura 5.6, a...g, funcție de schema de curgere a fluidelor prin aparat.

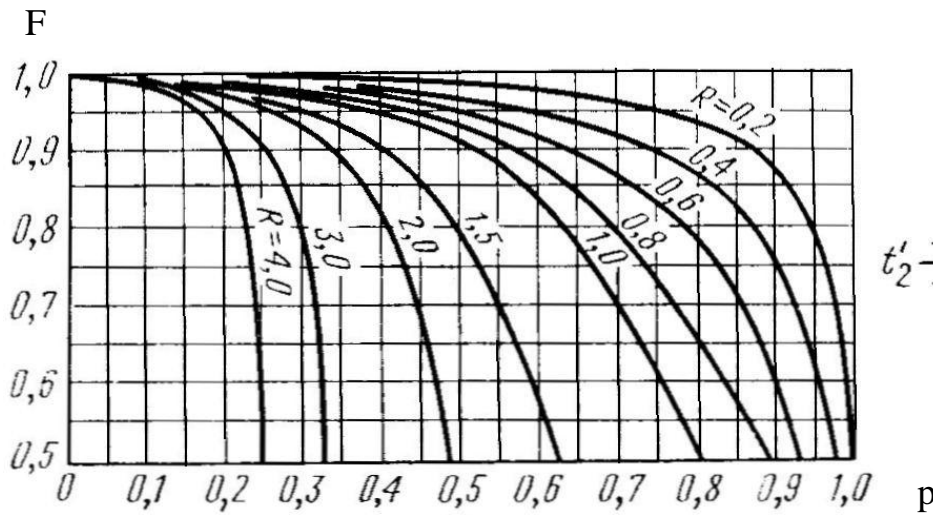
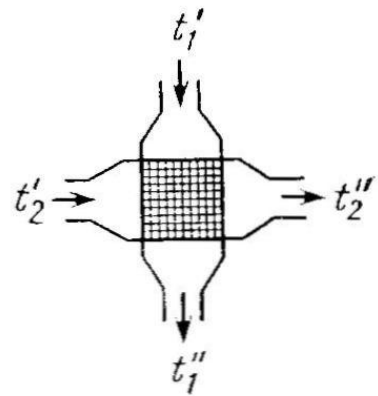


Fig.5.6.,a



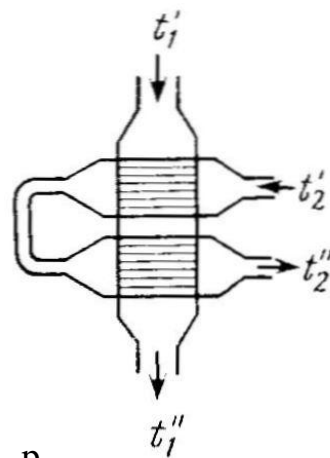
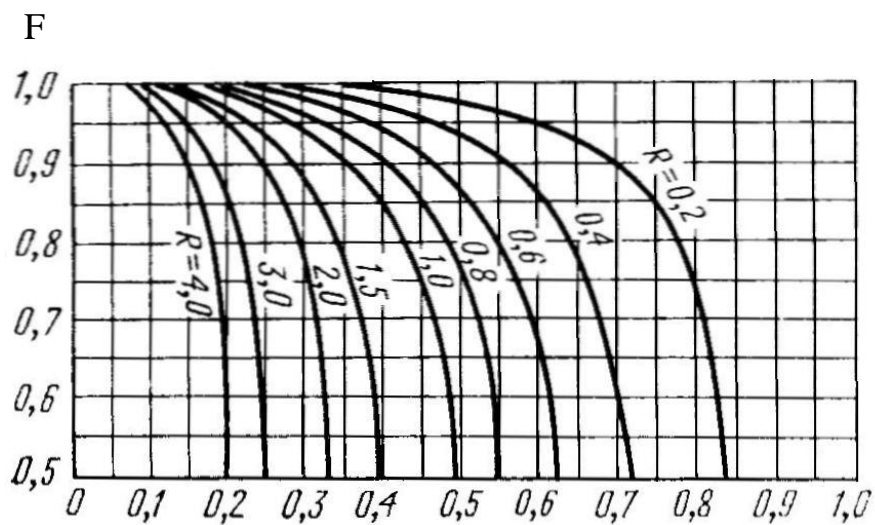


Fig.5.6, b

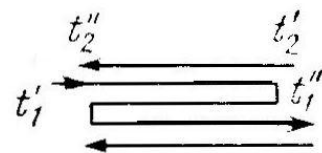
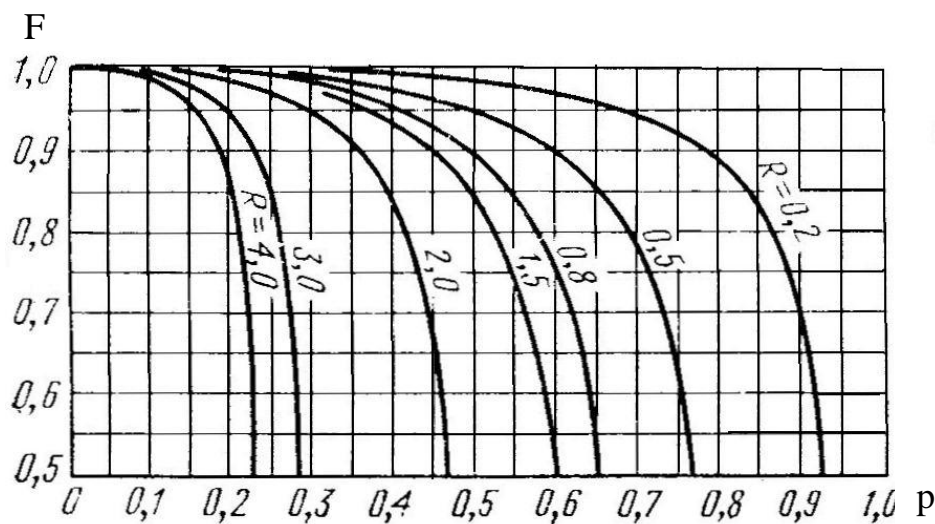


Fig.5.6, c

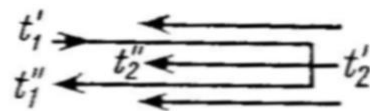
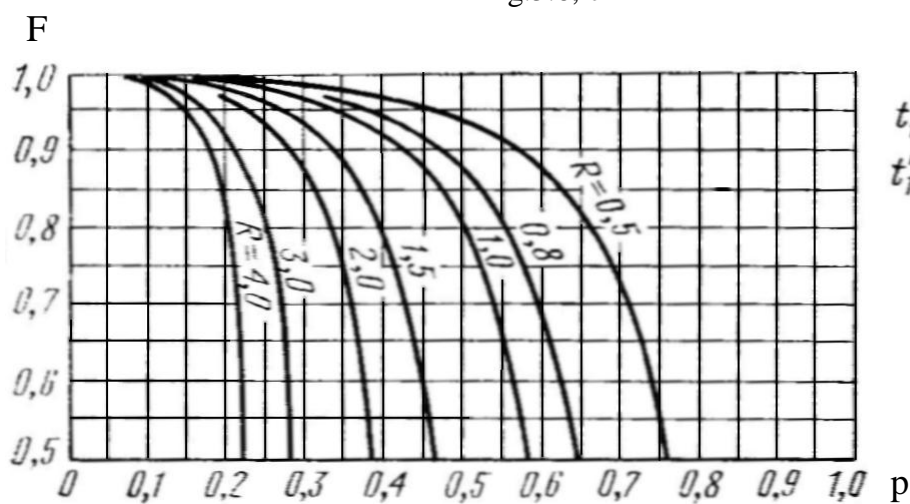


Fig.5.6, d

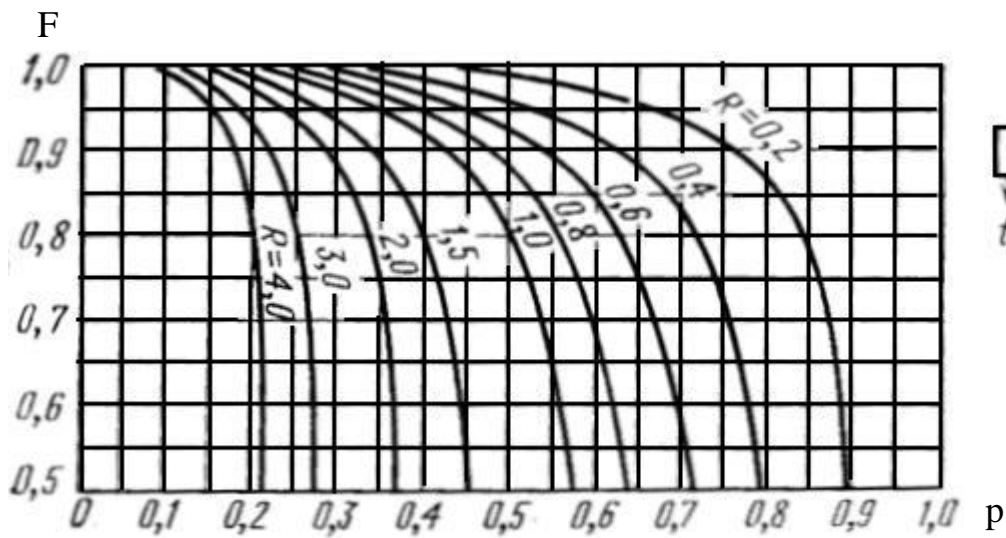


Fig.5.6, e

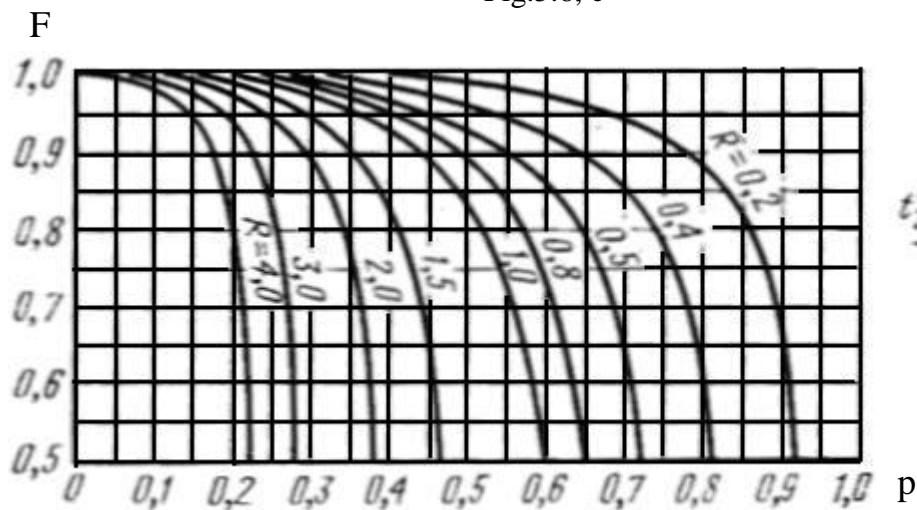


Fig.5.6, f

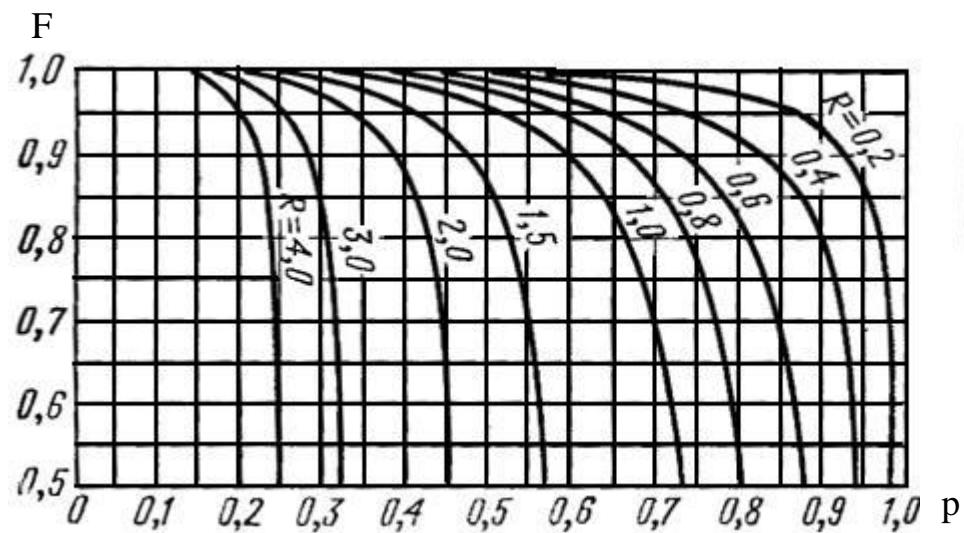


Fig.5.6, g

Metoda factorului de corectie F este utilizată în calculul termic de proiectare a aparatelor schimbătoare de căldură, factorul F reprezentând gradul de depărtare a aparatului considerat de performanțele aceluiași aparat în contracurent.

- aparate schimbătoare de căldură cu schimbarea stării de agregare a fluidelor:

În cazul **condensatoarelor** diagrama de variație a temperaturilor celor două fluide în lungul suprafeței de transfer de căldură este prezentată în figura 5.7.

Diferența medie logaritmică de temperatură:

$$\Delta t_{m,K} = \frac{t_2'' - t_2'}{\ln \frac{t_1 - t_2''}{t_1 - t_2'}} \text{ [grad]} \quad (5.39)$$

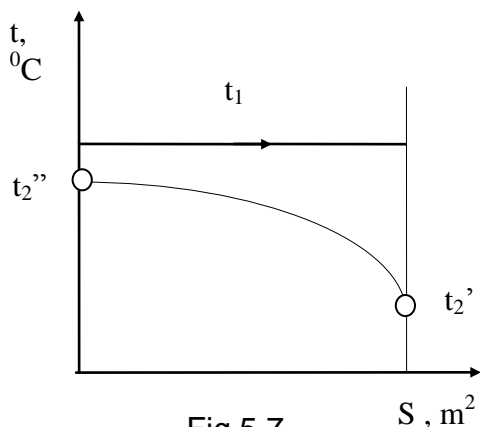


Fig.5.7

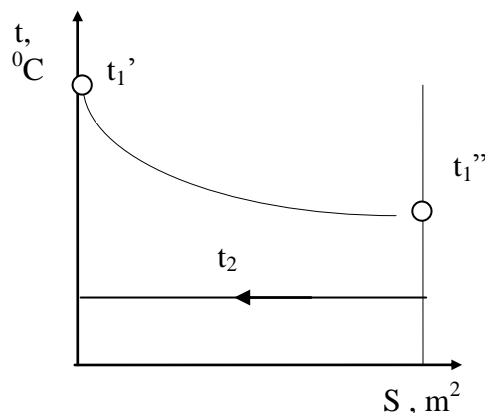


Fig.5.8

În cazul **vaporizatoarelor (fierbătoarelor)**, diagrama de variație a temperaturilor în lungul suprafeței de transfer de căldură este prezentată în figura 5.8.

Diferența medie logaritmică de temperatură:

$$\Delta t_{m,V} = \frac{t_1' - t_1''}{\ln \frac{t_1 - t_2}{t_1'' - t_2}} \text{ [grad]} \quad (5.40)$$

În cazul în care ambele fluide își schimbă starea de agregare, deci $\Delta t_{max} = \Delta t_{min}$, diferența medie logaritmică de temperatură se calculează cu relația:

$$\Delta t_m = \frac{\Delta t_{\max} + \Delta t_{\min}}{2} \text{ [grd]} \quad (5.41)$$

Concluzii.

Studiul diagramelor $F = f(P, R, \text{ schema de curgere})$ pune în evidență următoarele :

- pentru temperaturi date ale fluidelor, eficiența schemei de curgere scade în ordinea contracurent ($F = 1$), curgere mixtă, curgere încrucișată și echicurent ;
- pentru aparatele de suprafață în care unul sau ambele fluide își schimbă starea de agregare se arată că, indiferent de schema de curgere, $F = 1$, deci, se utilizează relația de calcul de la curgerea în contracurent .

Rezultă deci că aparatul schimbător de căldură în contracurent are eficiența cea mai mare din punct de vedere termodinamic, are cea mai mare diferență medie logaritmică de temperatură deci, cea mai mică suprafață de transfer de căldură.

5.2.2. Temperaturile medii ale fluidelor

Indiferent de schema de curgere a fluidelor în aparat, temperaturile medii ale fluidelor se calculează cu relațiile aproximative:

$$\begin{aligned} \text{- pentru } \delta t_1 > \delta t_2: \quad & t_1 = t_2 + \Delta t_m \text{ [}^\circ\text{C]} \\ & t_2 = 0,5 \cdot (t_2' + t_2'') \text{ [}^\circ\text{C]} \end{aligned} \quad (5.42)$$

$$\begin{aligned} \text{- pentru } \delta t_1 < \delta t_2: \quad & t_1 = 0,5 \cdot (t_1' + t_1'') \text{ [}^\circ\text{C]} \\ & t_2 = t_1 - \Delta t_m \text{ [}^\circ\text{C]} \end{aligned} \quad (5.43)$$

relații în care, diferența de temperatură δt_1 reprezintă răcirea fluidului cald, respectiv, δt_2 , încălzirea fluidului rece.

5.3. Indicatori de calitate ai aparatelor schimbătoare de căldură

Pentru anumite condiții impuse de procesul tehnologic, alegerea aparatului schimbător de căldură optim se face pe baza unor criterii (indicatori de calitate) : satisfacerea parametrilor tehnico-functionali (temperatură, presiune, mediu de lucru etc.), eficiență termică, randament energetic, respectiv, exergetic, parametrii tehnico-economici etc.

Intr-un aparat schimbător de căldură există trei categorii de pierderi :

- pierderi de temperatură în procesul de transfer de căldură datorită diferenței finite de temperatură între cele două fluide de lucru ;
- pierderi de flux termic în mediul ambiant prin pereții sau izolația termică a aparatului ;
- pierderi de presiune datorită învingerii rezistențelor hidraulice la curgerea celor două fluide prin aparat.

Eficiența termică a unui aparat schimbător de căldură reprezintă raportul dintre fluxul de căldură transmis efectiv între fluide, Φ , și fluxul maxim de căldură ce poate fi transmis în condițiile date ($S \rightarrow \infty$), Φ_{\max} :

$$\varepsilon = \frac{\Phi}{\Phi_{\max}} \quad (5.44)$$

Fluxul de căldură transmis între fluide depinde de schema de circulație a acestora prin aparat:

- pentru curgerea în echicurent:

$$\ln \frac{t_1' - t_2'}{t_1'' - t_2''} = \frac{k \cdot S}{C_1} \cdot \left(1 + \frac{C_1}{C_2}\right) \quad (5.45)$$

- pentru curgerea în contracurent:

$$\ln \frac{t_1' - t_2''}{t_1'' - t_2'} = \frac{k \cdot S}{C_1} \cdot \left(1 - \frac{C_1}{C_2}\right) \quad (5.46)$$

Rezultă temperatura finală a fluidului cald în cele două cazuri:

- pentru curgerea în echicurent:

$$t_1'' = t_2'' + (t_1' - t_2') \cdot e^{-\frac{k \cdot S}{C_1} \cdot \left(1 + \frac{C_1}{C_2}\right)} \quad (5.47)$$

- pentru curgerea în contracurent:

$$t_1'' = t_2' + (t_1' - t_2'') \cdot e^{-\frac{k \cdot S}{C_1} \cdot \left(1 - \frac{C_1}{C_2}\right)} \quad (5.48)$$

Dar, temperatura finală a fluidului cald mai poate fi calculată și din ecuația de bilanț termic pe aparat:

$$t_1'' = t_1' - \frac{C_2}{C_1} \cdot (t_2'' - t_2') \quad (5.49)$$

Rezultă:

- pentru curgerea în echicurent:

$$t_1'' \cdot \left(1 + \frac{C_1}{C_2}\right) = t_1' \cdot \frac{C_1}{C_2} + t_2' + (t_1' - t_2') \cdot e^{-\frac{k \cdot S}{C_1} \cdot \left(1 + \frac{C_1}{C_2}\right)} \quad (5.50)$$

- pentru curgerea în contracurent:

$$t_1'' \cdot \left[1 - \frac{C_1}{C_2} \cdot e^{-\frac{k \cdot S}{C_1} \cdot \left(1 - \frac{C_1}{C_2}\right)} \right] = t_2' + t_1' \cdot \frac{C_1}{C_2} \cdot e^{-\frac{k \cdot S}{C_1} \cdot \left(1 - \frac{C_1}{C_2}\right)} - (t_1' - t_2') \cdot e^{-\frac{k \cdot S}{C_1} \cdot \left(1 - \frac{C_1}{C_2}\right)} \quad (5.51)$$

Ecuatia de bilant termic pe aparat este:

$$\Phi = C_1 \cdot (t_1' - t_1'') = C_2 \cdot (t_2'' - t_2') = C_1 \cdot (t_1' - t_2') \cdot \frac{(t_1' - t_1'')}{(t_1' - t_2')} \quad (5.52)$$

Rezultă fluxurile de căldură transmise între cele două fluide:

- pentru curgerea în echicurent:

$$\Phi = (t_1' - t_2') \cdot \frac{C_1 \cdot C_2}{C_1 + C_2} \cdot \left[1 - e^{-\frac{k \cdot S}{C_1} \cdot \left(1 + \frac{C_1}{C_2}\right)} \right] \quad (5.53)$$

- pentru curgerea în contracurent:

$$\Phi = (t_1' - t_2') \cdot C_2 \cdot \frac{1 - e^{-\frac{k \cdot S}{C_1} \cdot \left(1 - \frac{C_1}{C_2}\right)}}{\frac{C_2}{C_1} - e^{-\frac{k \cdot S}{C_1} \cdot \left(1 - \frac{C_1}{C_2}\right)}} \quad (5.54)$$

Fluxul maxim de căldură transmis între cele două fluide se obține pentru $S \rightarrow \infty$; prin urmare:

- pentru curgerea în echicurent:

$$\Phi_{\max} = (t_1' - t_2') \cdot \frac{C_1 \cdot C_2}{C_1 + C_2} \quad (5.55)$$

- pentru curgerea în contracurent:

$$\Phi_{\max} = (t_1' - t_2') \cdot C_1 \quad (5.56)$$

Eficiența termică a aparatului, funcție de schema de circulație a fluidei va fi:

- pentru curgerea în echicurent:

$$\varepsilon = \frac{\Phi}{\Phi_{\max}} = 1 - e^{-\frac{k \cdot S}{C_1} \cdot \left(1 + \frac{C_1}{C_2}\right)} \quad (5.57)$$

- pentru curgerea în contracurent:

$$\varepsilon = \frac{\Phi}{\Phi_{\max}} = \frac{C_2}{C_1} \left[\frac{1 - e^{-\frac{k \cdot S}{C_1} \cdot \left(1 - \frac{C_1}{C_2}\right)}}{\frac{C_2}{C_1} - e^{-\frac{k \cdot S}{C_1} \cdot \left(1 - \frac{C_1}{C_2}\right)}} \right] \quad (5.58)$$

Eficiența termică pune în evidență în ce măsură suprafața de transfer de căldură, S , este optimă sau necesitatea intensificării transferului de căldură prin mărirea coeficientului total de transfer de căldură, k .

Randamentul energetic (coeficientul de reținere a căldurii în aparat), η_r , se determină din ecuația de bilanț termic:

$$\Phi_1 = \Phi_2 + \Phi_p = \frac{\Phi_2}{\eta_r} \quad (5.59)$$

$$\eta_r = \frac{\Phi_2}{\Phi_1} = 1 - \frac{\Phi_p}{\Phi_1} \quad (5.60)$$

Randamentul energetic evaluează pierderile de flux termic în mediul ambiant prin pereții sau izolația termică a aparatului, Φ_p . Are semnificația unui randament al izolației termice. Pentru aparatele izolate corespunzător, are valorile $\eta_r = 0,98 \dots 0,995$.

Randamentul exergetic este definit ca raportul dintre creșterea exergiei fluidului rece și scăderea exergiei fluidului cald. Rezultă din ecuația de bilanț exergetic:

$$\eta_{\text{ex}} = \frac{\Delta E_2}{\Delta E_1} = 1 - \frac{\Pi}{\Delta E_1}, \quad (5.61)$$

unde, Π reprezintă pierderile de exergie care însoțesc transferul de căldură în aparat.

Calculul tehnico - economic al aparatelor schimbătoare de căldură constituie criteriul determinant în alegerea tipului optim de aparat, pentru anumite condiții de funcționare date:

$$P_t = P_i + P_e, \text{ lei/W}, \quad (5.62)$$

unde: P_t , [lei/W] - cheltuielile totale raportate la unitatea de căldură transferată;
 P_i , [lei/W] - cheltuielile de investiții raportate la unitatea de căldură transferată;
 P_e , [lei/W] - cheltuielile de exploatare raportate la unitatea de căldură transferată.

5.4. Alegerea tipului de aparat schimbător de căldură.

O exploatare industrială normală a unui aparat schimbător de căldură urmărește în primul rând menținerea regimului termic optim, regim în care sunt satisfăcute toate cerințele procesului termic, cu un consum cât mai mic de agent de încălzire sau răcire.

Alegerea celui mai convenabil tip constructiv de schimbător de căldură se face ținând seama de o serie de factori importanți:

- fluxul termic transmis între fluidele de lucru;
- condițiile de temperatură în care se realizează transferul de căldură;
- presiunile fluidelor de lucru din aparat;
- condițiile transferului de căldură (coeficientul total de transfer de căldură);
- rezistențele hidraulice sau aeraulice la curgerea fluidelor de lucru prin aparat;
- materialele utilizate în construcția aparatului:
- posibilitatea protejării împotriva coroziunii;
- posibilitatea montării aparatului în instalație;
- posibilitățile de curățire ușoară de depuneri a aparatului.

Intensificarea transferului de căldură se poate realiza intervenind asupra fluidului de lucru cu coeficient de convecție redus prin mărirea vitezei acestuia, utilizând suprafețe de transfer de căldură nervurate, asigurând păstrarea curată a suprafețelor, prin alegerea potrivită a secțiunilor de curgere a fluidelor de lucru prin aparat, prin eliminarea zonelor de stagnare a fluidelor de lucru etc.

Reducerea la minim a pierderilor de căldură în mediul înconjurător prin corpul aparatului se realizează printr-o izolare corespunzătoare a acestuia (alegerea

materialului termoizolator corespunzător și calcularea grosimii optime a stratului de izolație).

Alegerea tipului de schimbător de căldură trebuie să asigure o investiție minimă și cheltuieli anuale de întreținere cât mai reduse.

Soluția constructivă aleasă trebuie să se poată materializa cu o mare productivitate, iar intervențiile pentru întreținere și reparații periodice să se realizeze fără opriri de lungă durată a întregii instalații tehnologice.

Exploatarea aparatului trebuie să îndeplinească normele de tehnica securității muncii, asigurând în același timp controlul și reglarea parametrilor fluidelor de lucru.

Cap.6. IZOLATII TERMICE

6.1. Izolarea termică a pereților plani

Izolarea termică a spațiilor răcite (fig.6.1,a)

Izolarea termică a pereților, planșeelor și pardoselilor spațiilor răcite (tunele și camere de refrigerare sau congelare, depozite frigorifice) necesită condiții deosebite de execuție datorită valorilor scăzute ale temperaturilor interioare, variației rapide a acestora și umidității mari a aerului interior. Rolul izolației termice în acest caz este de a reduce absorbția de căldură din exterior în vederea menținerii unui regim de temperatură și umidități cât mai stabil.

Materialul se aplică pe suprafața interioară a pereților spațiilor răcite cu condiția realizării unei continuități perfecte a stratului de izolație între pereți, planșeu și pardoseală.

În timpul răcirii aerului interior (în timpul funcționării instalației frigorifice) apare fenomenul de condensare a vaporilor de apă din aerul ambiant pe suprafața caldă a pereților și pătrunderea condensului în interiorul pereților izolați, datorită diferenței dintre presiunile parțiale ale vaporilor de apă din aerul exterior și interior. Apare, în acest caz, necesitatea montării unei bariere de vapori în interiorul stratului de izolație termică.

Izolarea termică a spațiilor încălzite (fig.6.1,b)

Izolarea termică a pereților, planșeelor și pardoselilor spațiilor încălzite (camere de termostatare, cuptoare de coacere, celule de afunare la cald în industria alimentară, cuptoare de încălzire, cuptoare de tratamente termice în industrie) are rolul de a reduce pierderea de căldură în exterior în vederea menținerii unui regim de temperatură și umiditate cât mai stabil.

Materialul se aplică pe suprafața interioară a pereților spațiilor încălzite cu condiția realizării unei continuități perfecte a stratului de izolație între pereți, planșeu și pardoseală.

6.1.1. Calculul grosimii izolației termice pentru o densitatea de flux termic cunoscută (condiții la limită de stea a II-a)

Cu notațiile din figura 6.1, densitatea de flux termic transmisă prin perete se calculează cu relația:

$$q_p = \frac{|t_i - t_e|}{\frac{1}{\alpha_i} + \frac{\delta_1}{\lambda_1} + \frac{\delta_{iz}}{\lambda_{iz}} + \frac{\delta_3}{\lambda_3} + \frac{1}{\alpha_e}} \quad [\text{W/m}^2] \quad (6.1)$$

unde :

α_e [W/m².grad] este coeficientul de convecție aer exterior-perete ;

- pentru incintele răcite, în funcție de amplasarea și tipul peretelui, valorile coeficientului α_e [$\text{W}/\text{m}^2\cdot\text{grad}$] sunt prezentate în tabelul 6.1.

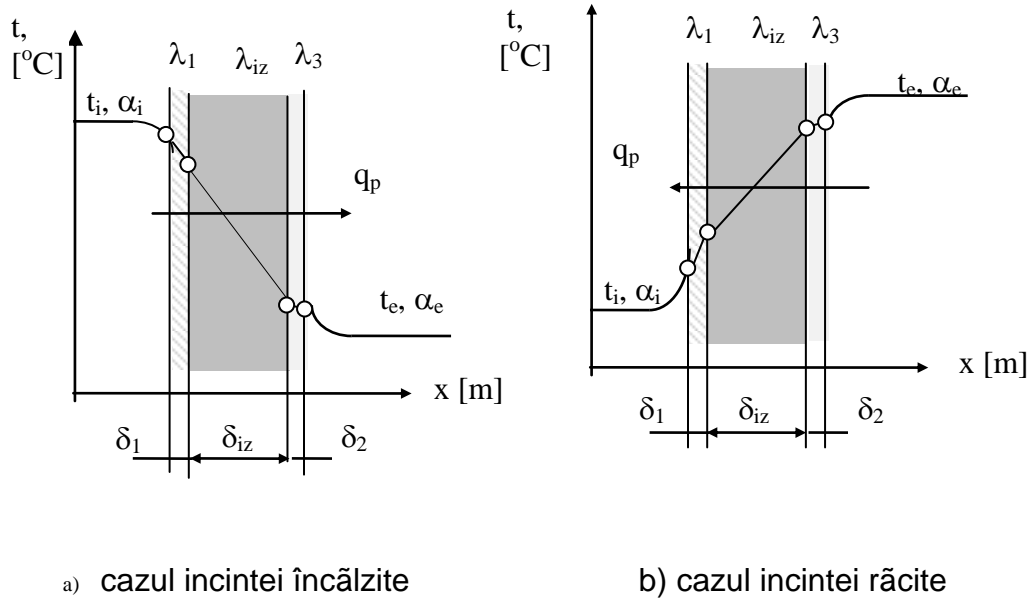


Fig.6.1

Tabelul 6.1

Amplasarea și tipul peretelui	$\alpha_e, \alpha_e,$ [$\text{W}/\text{m}^2\cdot\text{grad}$]
Pereți exteriori și acoperișuri fără pod, expuși curenților de aer	28...30
Pereți exteriori și acoperișuri fără pod, în contact cu aerul atmosferic cu circulație moderată	23...24
Acoperiș cu pod	11...12
Pereți interiori ce separă spațiul răcit de culoare sau camere vecine ventilate	15...18
Plafoane și pardoseli interioare	10...12
Suprafața interioară a pereților unei camere încălzite sau răcite	8...9
Pereții interiori ai camerei de depozitare a produselor răcite, cu circulație moderată a aerului	9
Pereții interiori ai camerei de congelare, camerei de racier preliminară a produselor, cu circulație intensă a aerului	11

- pentru pereții unor cuptoare valorile coeficientului de convecție α_e , [$\text{W}/\text{m}^2\cdot\text{grad}$] și pierderile exterioare de căldură q_{pc} [W/m^2], funcție de temperatură și tipul peretelui, sunt prezentate în tabelul 6.2.

Tabelul 6.2

t, [°C]	α_e [W/m ² .grad]		q_p [W/m ²]	
	pereti vopsiti cu lac de aluminiu	pereti din zidarie	pereti vopsiti cu lac de aluminiu	Pereti din Zidarie
40	8,70	10,05	781,78	899,99
50	9,13	10,58	1151,15	1331,15
60	9,56	11,11	1548,82	1795,80
70	9,98	11,63	1967,42	2302,30
80	10,42	12,13	2427,88	2850,67
90	10,85	12,72	2930,20	3440,90
100	11,28	13,26	3453,45	4060,42
110	11,70	13,89	3007,63	4763,67
120	12,14	14,30	4596,23	5399,94
130	12,56	14,88	5190,64	6153,42
140	12,98	15,40	5839,47	6927,83
150	13,43	15,93	6530,16	7741,10
160	13,86	16,47	7241,78	8581,30
170	14,28	16,80	7974,33	9460,36
180	14,72	17,56	8727,81	10423,10
190	15,15	18,08	9544,08	11385,92
200	15,58	18,61	10360,35	12395,60
210	16,00	19,19	11218,48	13478,92
220	16,42	19,71	12135,21	14546,35
230	16,86	20,24	13018,46	15655,64
240	17,30	20,70	13939,38	16744,00
250	17,73	21,28	14964,95	17999,80

α_i [W/m².grad] - coeficientul de convecție perete - aer interior;
 - pentru incintele răcite, în funcție de amplasarea și tipul peretelui, valorile coeficientului α_i [W/m².grad] sunt prezentate în tabelul 6.1.

$\sum \frac{\delta_i}{\lambda_i}$ [m².grad/W] – suma rezistențelor termice ale straturilor componente ale peretelui, în afara stratului de izolație termică ;
 t_i , t_e , [°C] – temperatura aerului interior, respectiv, exterior.

Rezultă grosimea stratului de izolație termică:

$$\delta_{iz} = \lambda_{iz} \cdot \left[\frac{|t_i - t_e|}{q_p} - \left(\frac{1}{\alpha_i} + \frac{\delta_1}{\lambda_1} + \frac{\delta_3}{\lambda_3} + \frac{1}{\alpha_e} \right) \right], \text{ [m]} \quad (6.2)$$

Grosimea stratului de izolație termică se standardizează pentru fiecare material în parte.

Cu noua valoare a grosimii stratului de izolație termică se recalculează densitatea de flux termic, q_p , [W/m²].

Pentru incintele răcite, valorile recomandate pentru pătrunderea de căldură (densitatea de flux termic) depind de temperatura aerului interior din spațiul răcit, de mărimea și destinația spațiului respectiv. Pentru calcule practice se poate adopta $q = 9,3 \text{ W/m}^2$, pentru pereți și tavan (pereți izolați cu polistiren expandat) și $q = 13,95 \text{ W/m}^2$, pentru pardoseală (perete izolat cu plută).

În general, pentru incintele încălzite, valorile recomandate pentru pierderea de căldură (densitatea de flux termic) depind de temperatura aerului interior, conform tabelului 6.3.

Tabelul 6.3

Temperatura aerului din incintă t_i [°C]					
50	75	100	125	150	200
58	67	76	85	93	110
Temperatura aerului din incintă t_i [°C]					
225	250	300	350	400	450
119	127	144	160	178	195

- pentru pereții unor cuptoare valorile pierderilor exterioare de căldură q_p [W/m²], funcție de temperatură și tipul peretelui, sunt prezentate în tabelul 6.2.

6.1.2. Calculul grosimii izolației termice pentru o valoare dată a coeficientului total de transfer de căldură

Cu notațiile din figura 6.1. coeficientul total de transfer de căldură se calculează cu relația:

$$k = \frac{1}{\frac{1}{\alpha_e} + \sum \frac{\delta_i}{\lambda_i} + \frac{\delta_{iz}}{\lambda_{iz}} + \frac{1}{\alpha_i}} \text{ [W/m}^2\text{.grad]} \quad (6.3)$$

Rezultă grosimea stratului de izolație termică:

$$\delta_{iz} = \lambda_{iz} \cdot \left[\frac{1}{k} - \left(\frac{1}{\alpha_e} + \sum \frac{\delta_i}{\lambda_i} + \frac{1}{\alpha_i} \right) \right] \text{ [m]} \quad (6.4)$$

Grosimea stratului de izolație calculată se standardizează pentru fiecare perete și material în parte.

Cu noua valoare a grosimii stratului de izolație termică se recalculază coeficientul total de transfer de căldură k .

În calculele practice se poate adopta o valoare a coeficientului total de transfer de căldură $k = (0,2 \dots 0,5) \text{ W/m}^2\text{.grad}$, pentru pereți și tavan (pereți izolați cu polistiren expandat) și $k = (0,3 \dots 0,7) \text{ W/m}^2\text{.grad}$, pentru pardoseală (perete izolat cu plută).

Pentru un calcul rapid se pot adopta următoarele valori ale coeficientului total de transfer de căldură, funcție de diferența de temperatură $\Delta t = t_e - t_i$ (tabelul 6.4).

Tabelul 6.4

Δt [grd]	50...35	35...30	30...25	25...30	20...15	15...10	10
k [W/m ² .grd]	0,23...0,35	0,40	0,45	0,52	0,58	0,63	0,70

Pentru diverse elemente izolate ale incintelor răcite valorile coeficientului total de transfer de căldură sunt indicate după cum urmează:

- în tabelul 6.5, pentru pereți exteriori;
- în tabelul 6.6, pentru pereți interiori;
- în tabelul 6.7, funcție de destinația incintei răcite;
- în tabelul 6.8, funcție de poziția peretelui.

Tabelul 6.5

Temperatura aerului din incinta răcită t_i [°C]	k [W/m ² .grd]		
	zona nordică	zona medie	zona sudică
-30...-18	0,32	0,25	0,23
-10	0,40	0,35	0,29
-4	0,46	0,40	0,35
0	0,52	0,46	0,40
4	0,65	0,58	0,49
12	0,78	0,70	0,58

Tabelul 6.6

Temperatura aerului din incinta răcită t_i [°C]	k [W/m ² .grd]					
	zona nordică		zona medie		zona sudică	
	a	b	a	B	a	b
-30...-18	0,29	0,28	0,25	0,23	0,21	0,20
-10	0,37	0,35	0,31	0,29	0,25	0,20
-4	0,43	0,39	0,37	0,35	0,31	0,29
0	0,48	0,45	0,42	0,39	0,36	0,33
4	0,58	0,53	0,52	0,49	0,44	0,41

Obs.: a) acoperiș cu pod
b) acoperiș fără pod

Tabelul 6.7

Incinta răcită	Temp.aerului t_i [°C]	k [W/m ² .grd]
Camera de congelare	-23...-35	0,35
Depozit produse congelate	-18...-25	0,41
Depozit produse refrigerate	0	0,52
	4	0,70
	12	0,92

Tabelul 6.8

Poziția peretelui	k [W/m ² .grd]
Perete între două depozite de produse congelate	0,52
Perete între două depozite de produse refrigerate	0,58
Perete între camere de congelare și depozite de produse congelate	0,46
Perete între camere de congelare și depozite de	0,35

produse refrigerate	
Perete între un depozit de produse congelare și un depozit de produse congelate	0,46

Pentru diverse construcții cu pereți executați din panouri mari de beton, valorile coeficientului total de transfer de căldură sunt prezentate în tabelul 6.9.

Tabelul 6.9

Material	Greut.spec. ρ [kg/m ²]	Gros.perete δ [mm]	k [W/m.K]	
			per.int.	per.ext.
Panouri mari în strat omogen tencuiți interior și exterior	1300	260	1511,9	1349,1
	1350	300	1453,7	1314,2
Panouri mari în trei straturi având la interior și exterior beton armat, iar la mijloc termoizolație:				
- plăci semirigide din vată minerală	1600	200	1337,4	1209,5
- sticlă spongioasă	1450	220	1279,3	1163,0
- plută minerală	1600	200	1279,3	1163,0

6.2. Izolarea termică a pereților cilindrici

Calculul termic al sistemelor de conducte reprezintă un caz particular al transferului de căldură între două fluide despărțite de un perete format din unul sau mai multe straturi.

În funcție de temperatura fluidului transportat se deosebesc două categorii de conducte izolate termic:

- conduce care transportă fluide calde (fig.6.2,a), la care izolația termică are drept scop reducerea pierderilor de căldură și de temperatură în mediul ambiant și asigurarea unor temperaturi pe suprafața exterioară în conformitate cu normele de protecție a muncii;
- conduce care transportă fluide reci (fig.6.2,b), la care izolația termică are drept scop micșorarea absorbției de căldură din mediul ambiant și evitarea condensării umidității din aer pe suprafața conductelor.

6.2.1. Calculul grosimii izolației termice pentru un flux termic liniar cunoscut (condiții la limită de speța a II-a)

Se consideră o conductă cu un strat de izolație de bază și un strat protector (fig.6.2,a, pentru conducte care transportă fluide calde și fig.6.2,b, pentru conducte care transportă fluide reci). În vederea calculării grosimii izolației termice sunt necesare următoarele date:

- amplasarea conductei și temperatura mediului ambiant t_e [°C];
- dimensiunile conductei d_i și d_e [m];
- temperatura fluidului transportat t_f [°C];
- construcția și materialul izolației termice λ_{iz} [W/m.K];

- modul de susținere a conductei, armăturile și compensatoarele de dilatație.

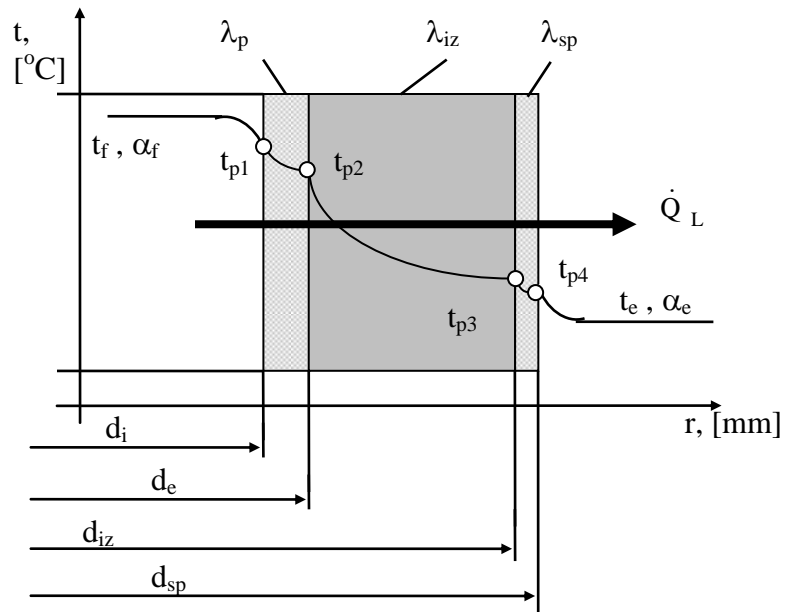


Fig.6.2,a
Conductă care transportă fluide calde

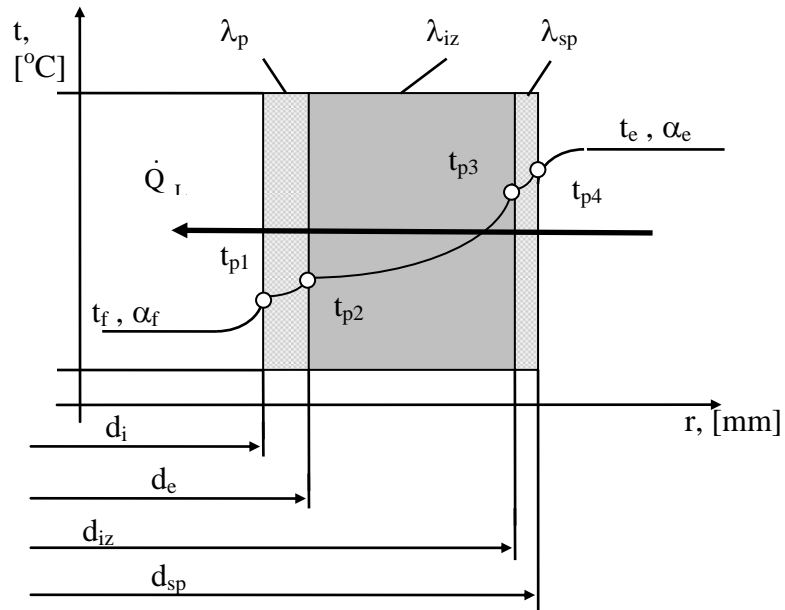


Fig.6.2,b
Conductă care transportă fluide reci

Fluxul termic linear (unitar) transmis prin conducta izolată se calculează cu relația:

$$\Phi_L = \frac{|t_f - t_e|}{R_{Li} + R_{Lp} + R_{Liz} + R_{Lsp} + R_{Le}} \quad [\text{W/m}] \quad (6.5)$$

unde:

$$R_{Li} = \frac{1}{\pi \cdot d_i \cdot \alpha_i} \text{ [m.grd/W]} \text{ este rezistența superficială liniară a fluidului transportat;}$$

Rezistența superficială liniară R_{Li} se ia în calcule în următoarele cazuri:

- la diametre ale conductei $d_i < 50$ mm, dacă $\alpha_i < 150$ W/m².grd;
- la diametre ale conductei $50 < d_i < 500$ mm, dacă $\alpha_i < 120$ W/m².grd;
- la diametre ale conductei $d_i > 500$ mm, dacă $\alpha_i < 90$ W/m².grd.

Pentru unele fluide (abur supraîncălzit de înaltă presiune, abur saturat, apă, agenți frigorifici, uleiuri), rezistența superficială R_{Li} se poate neglija, reprezentând sub 1% din rezistența totală;

$$R_{Lp} = \frac{1}{2 \cdot \pi \cdot \lambda_p} \cdot \ln \frac{d_e}{d_i} \text{ [m.grd/W]} - \text{rezistența termică liniară a peretelui conductei ;}$$

Pentru conductele metalice, conductivitatea termică a materialului are valori ridicate ($\lambda > 15$ W/m.K), din care cauză, rezistența termică R_{Lp} poate fi neglijată, reprezentând sub 1% din rezistența totală.

$$R_{Liz} = \frac{1}{2 \cdot \pi \cdot \lambda_{iz}} \cdot \ln \frac{d_{iz}}{d_{ei}} \text{ [m.grd/W]} - \text{rezistența termică liniară a stratului de izolație;}$$

$$R_{Lsp} = \frac{1}{2 \cdot \pi \cdot \lambda_{sp}} \cdot \ln \frac{d_{sp}}{d_{izi}} \text{ [m.grd/W]} - \text{rezistența termică liniară a stratului}$$

protector ;

În general, stratul protector este realizat sub forma unui înveliș metalic (tablă vopsită, tablă zincată, tablă din aluminiu) sau sub forma unui strat de tencuială, cu grosimi de (10...20) mm. În tabelul 6.10 este indicată conductivitatea termică λ_{sp} [W/m.K] pentru câteva materiale utilizate la realizarea stratului protector.

Tabelul 6.10

Material	ρ [kg/m ³]	λ_{sp} [W/m.K]
Ciment și gips	900...1000	0,23 la 50°C
Pastă bituminoasă și mastic asfaltos	1000...1150	0,30 la 50°C
Ciment	1600...1900	0,29 la 50°C
Strat anticoroziv	1000...1100	0,17...0,23 la 50°C

În cazul învelișului metalic, rezistența termică R_{Lsp} poate fi neglijată.

În cazul stratului de tencuială, rezistența termică R_{Lsp} reprezintă până la 20% din rezistența totală.

$$R_{Le} = \frac{1}{\pi \cdot d_{spi} \cdot \alpha_e} \text{ [m.grd/W]} - \text{rezistența superficială liniară a mediului ambiant ;}$$

funcție de diametrul conductei și de amplasarea acesteia, în tabelul 6.11 sunt prezentate valori pentru rezistența superficială liniară a mediului ambiant.

Pentru calcule exacte, valorile coeficientului de convecție strat protector-mediul ambiant α_e [W/m².grd] funcție de amplasarea conductei, sunt prezentate în tabelul 6.12.

Rezultă rezistența termică a stratului de izolație:

$$R_{Liz} = \frac{t_f - t_e}{\dot{Q}_L} - (R_{Li} + R_{Lp} + R_{Lsp} + R_{Le}) =$$

$$= \frac{1}{2 \cdot \pi \cdot \lambda_{iz}} \cdot \ln \frac{d_{iz}}{d_e} \quad [\text{m.grd/W}] \quad (6.6)$$

Grosimea stratului de izolație termică:

$$\ln \frac{d_{iz}}{d_e} = 2 \cdot \pi \cdot \lambda_{iz} \left(\frac{t_f - t_e}{\dot{Q}_L} - R_{Li} - R_{Lp} - R_{Le} \right) \quad [\text{m}], \quad (6.7)$$

de unde:

$$\delta_{iz} = 0,5 \cdot d_e \cdot \left(\frac{d_{iz}}{d_e} - 1 \right) \quad [\text{m}] \quad (6.8)$$

Tabelul 6.11

D _n [mm]	Conducte în încăperi						Conducte în aer liber		
	cu coeficient mic de radiație a învelișului			cu coeficient mare de radiație a învelișului					
	Temperatura fluidului transportat t _f [°C]								
	100	300	500	100	300	500	100	300	500
32	0,50	0,35	0,30	0,33	0,22	0,17	0,12	0,09	0,07
40	0,45	0,30	0,25	0,29	0,20	0,15	0,10	0,07	0,05
50	0,40	0,25	0,20	0,25	0,17	0,13	0,09	0,06	0,04
100	0,25	0,19	0,15	0,15	0,11	0,10	0,07	0,05	0,04
125	0,21	0,17	0,13	0,13	0,10	0,09	0,05	0,04	0,03
150	0,18	0,15	0,11	0,12	0,09	0,08	0,05	0,04	0,03
200	0,16	0,13	0,10	0,10	0,08	0,07	0,04	0,03	0,03
250	0,13	0,10	0,09	0,09	0,07	0,06	0,03	0,03	0,02
300	0,11	0,09	0,08	0,08	0,07	0,06	0,03	0,02	0,02
350	0,10	0,08	0,07	0,07	0,06	0,05	0,03	0,02	0,02
400	0,09	0,07	0,06	0,06	0,05	0,04	0,02	0,02	0,02
500	0,075	0,065	0,06	0,05	0,045	0,04	0,02	0,02	0,016
600	0,062	0,055	0,05	0,043	0,038	0,035	0,017	0,015	0,014
700	0,055	0,051	0,045	0,038	0,035	0,032	0,015	0,013	0,012
800	0,048	0,045	0,042	0,034	0,031	0,029	0,013	0,012	0,011
900	0,044	0,041	0,038	0,031	0,028	0,026	0,012	0,011	0,010
1000	0,040	0,037	0,034	0,028	0,026	0,024	0,011	0,010	0,009
2000	0,022	0,020	0,017	0,015	0,014	0,013	0,006	0,006	0,005

- Obs.: 1. Pentru temperaturi ale fluidului transportat t_f < 100°C se aleg valorile pentru t_f = 100°C;
 2. Invelișurile cu coeficient mic de radiație sunt executate din tablă zincată, tablă din aliaje de aluminiu și aluminiu oxidat, tablă vopsită cu lacuri din aluminiu;
 3. Invelișurile cu coeficient mare de radiație sunt executate din tencuială, plăci de sticlă, diverse vopsele (exclusive din aluminiu).

Grosimea stratului de izolație termică se standardizează, funcție de materialul ales.

Tinând seama de stratul protector din ciment și paste bituminoase cu diverse grosimi, se calculează grosimea reală a stratului de izolație cu coeficientul de corecție Δ [mm], cu valori date în tabelul 6.13.

Tabelul 6.12

Amplasarea conductei	In încăperi		In aer liber la viteza vântului w [m/s]		
	cu coeficient mic de radiație a învelișului	cu coeficient mare de radiație a învelișului	5	10	15
orizontală	6	10	20	25	35
verticală	7	11	25	35	50

Obs. : In absența datelor privind viteza vântului, se admite $w = 10$ m/s.

Tabelul 6.13

δ_{sp} [mm]	λ_{iz} [W/m.K]					
	0,07	0,08	0,09	0,10	0,11	0,12
10	2	2	2	3	3	3
15	3	3	4	4	5	5
20	4	4	5	6	6	7

La alegerea grosimii stratului de izolație termică trebuie să se țină seama și de tasarea materialului prin coeficientul de tasare K_t , definit ca raportul dintre volumul construcției termoizolate în funcțiune și volumul construcției la montaj. Se recomandă $K_t > 1$, pentru a preveni deprecierea izolației termice.

Pentru câteva materiale termoizolatoare, valorile coeficientului de tasare sunt recomandate în tabelul 6.14.

Tabelul 6.14

Material	K_t
Saltele din vată minerală perforată	1,2...1,3
Saltele din vată de sticlă cu legătură sintetică	1,6
Saltele și plăci din vată minerală moale cu legătură sintetică	1,5
Plăci semirigide din vată minerală cu legătură sintetică	1,2
Plăci din vată minerală cu legătură cu amidon	1,2
Plăci semirigide din vată de sticlă cu legătură sintetică	1,15
Plăci moi din vată minerală cu legătură din bitum	1,5
Plăci semirigide din vată minerală cu legătură din bitum	1,2

Grosimea stratului de izolație termică la montaj va fi:

$$\delta_o = \delta_{iz} \cdot K_t = \frac{d_e - \delta_{iz}}{d_e + 2 \cdot \delta_{iz}} \quad [m] \quad (6.9)$$

Valorile fluxului termic liniar (unitar) ϕ_L [W/m] funcție de diametrul exterior al conductei neizolate d_e [m], temperature fluidului transportat t_f [°C] și de amplasarea conductei sunt prezentate în tabelul 6.15.

Tabelul 6.15

d _e [mm]	t _f [°C]									
	80		100		180		200		250	
	a	b	a	b	a	b	a	b	a	b
10	8	13	21	24	35	37	48	49	62	60
20	12	15	27	31	43	47	58	63	74	79
32	14	17	33	36	50	53	67	72	86	90
48	15	21	36	42	57	62	76	84	98	105
57	16	24	37	47	62	67	81	91	105	112
76	17	29	43	52	67	77	91	100	115	126
89	19	33	45	58	72	83	95	108	122	133
108	26	36	52	64	79	90	105	117	131	145
133	31	41	62	70	88	99	117	129	140	158
159	36	44	70	76	98	109	130	140	163	172
194	41	49	77	85	108	120	144	151	178	188
219	46	53	81	91	116	128	154	163	192	204
273	49	62	91	101	129	145	170	186	213	230
325	52	70	99	116	142	163	186	209	233	256
377	58	82	107	133	152	181	204	231	254	279
426	62	95	114	149	163	201	221	254	273	302
478	70	104	127	158	180	215	238	273	294	326
529	77	110	140	169	198	228	256	285	314	349
630	95	121	163	186	227	254	294	320	364	384
720	110	134	186	205	256	277	326	345	395	416
830	128	157	209	233	291	309	366	384	442	463
920	157	180	238	262	320	344	401	430	483	512
1020	174	209	262	297	349	384	430	473	523	564

Tabelul 6.15 (continuare)

d _e [mm]	t _r [°C]									
	300		350		4000		450		500	
	a	b	a	b	A	b	a	b	a	b
10	74	73	88	85	101	98	114	109	128	122
20	90	94	105	110	121	127	136	143	152	157
32	105	108	122	126	140	144	158	163	176	181
48	119	126	138	145	158	167	179	197	199	209
57	126	134	148	156	169	178	192	201	213	223
76	140	149	164	172	188	198	213	221	236	244
89	147	158	173	184	198	209	224	235	250	259
108	159	172	186	200	212	227	238	254	264	281
133	177	188	205	219	234	247	263	278	291	307
159	193	204	223	238	256	267	287	302	317	334
194	212	223	247	259	281	291	317	326	350	363
219	228	242	264	279	302	314	337	351	372	391
273	254	271	294	312	336	355	376	395	416	440
325	279	302	323	349	369	395	413	442	459	488
377	302	329	349	379	400	430	448	477	498	529
426	326	356	374	409	430	463	483	512	535	570
478	352	384	395	436	465	488	521	547	577	605
529	378	407	436	465	500	523	558	582	618	640
630	430	448	494	512	564	582	628	645	698	709
720	471	488	547	558	616	630	686	700	762	772
830	518	540	599	622	675	698	750	773	826	851
920	558	599	645	680	727	762	808	843	884	930
1020	611	657	698	744	779	837	866	922	948	1006

Obs.: a) – conducte izolate amplasate în încăperi și canale cu temperatura medie a aerului t_e = (20...30)°C;

b) – conducte izolate amplasate în aer liber cu temperatura medie t_e = (0...15)°C și conducte subterane amplasate în canale nevizibile cu temperatura medie a solului t_e = 5°C.

Fluxul termic total transmis prin suprafața conductei izolate va fi:

$$\Phi = \Phi_L \cdot L_c \text{ [W]} \quad (6.10)$$

unde, L_c [m] este lungimea de calcul (echivalentă) a conductei; se calculează cu relația:

$$L_c = K \cdot L + I \text{ [m]} \quad (6.11)$$

cu: K – coeficient ce ține seama de pierderile suplimentare de căldură prin elementele de susținere a conductei (tabelul (6.16));

L [m] – lungimea conductei;

I [m] – lungimea de conductă izolată care echivalează pierderile de căldură prin armăturile de închidere (vane, ventile – tabelul 6.17 și prin îmbinări (pentru îmbinări cu flanșe se recomandă I = 1...1,5 m).

Tabelul 6.16

Modul de susținere a conductei	Coeficientul K	
	conducte amplasate în încăperi	conducte amplasate în aer liber
- prin agățare	1,10	1,15
- prin rezemare	1,15	1,25

Tabelul 6.17

d _i [mm]	Conducte în încăperi		Conducte în aer liber	
	t _f = 100°C	t _f = 400°C	t _f = 100°C	t _f = 400°C
100	2,5	5,0	4,5	6,0
500	3,0	7,5	6,0	8,5

Dacă lungimea conductei nu este cunoscută se mărește valoarea coeficientului K astfel:

- pentru conducte amplasate în încăperi K = 1,2;
- pentru conducte amplasate în aer liberi K = 1,25.

6.2.2. Calculul grosimii izolației termice pentru o temperatură dată pe suprafața acesteia

Normele de protecție a muncii impun temperatura pe suprafața exterioară a conductei izolate t_{p4} egală cu 50°C, pentru stratul protector din tencuială și 55°C, pentru stratul protector metallic. Temperatura de 60°C este limita maxima admisibilă peste care apare accidentarea prin arsură a personalului de exploatare.

Conform notațiilor din figura 6.2,a (conductă care transportă fluide calde), fluxul termic liniar (unitar) se calculează cu relația:

$$\Phi_L = \frac{t_i - t_{p4}}{R_{Li} + R_{Lsp} + R_{Liz} + R_{Lp}} = \alpha_e \cdot \pi \cdot d_{sp} \cdot (t_{p4} - t_e) \quad [W/m] \quad (6.12)$$

Rezistențele termice R_{Li} și R_{Lp} pot fi neglijate.

Grosimea stratului de izolație termică se calculează în două etape:

a) se neglijează rezistența termică a stratului protector R_{Lsp} = 0; rezultă;

$$\frac{d_{iz}}{d_e} \cdot \ln \frac{d_{iz}}{d_e} = 2 \cdot \lambda_{iz} \cdot \frac{t_i - t_{p4}}{d_e \cdot \alpha_e \cdot (t_{p4} - t_2)} \quad (6.13)$$

Ecuatie de forma x · ln x = const. (x = d_{iz}/d_e), rezolvarea ei făcându-se grafic sau prin încercări.

Rezultă:

$$\delta_{iz} = 0,5 \cdot d_e \cdot \left(\frac{d_{iz}}{d_e} - 1 \right) \quad [m] \quad (6.14)$$

b) ținând seama de stratul protector se calculează grosimea reală a stratului de izolație termică cu coeficientul de corecție Δ [mm] (tabelul 6.13).

$$\bar{\delta}_{iz} = \delta_{iz} - \Delta \quad [mm] \quad (6.15)$$

Grosimea stratului de izolație termică la montaj se calculează cu relația (6.9).
 Se calculează fluxul termic linear (unitar) Φ_L [W/m} și apoi, modificând grosimea stratului de izolație se verifică temperatura impusă t_{p4} [°C].

6.2.3. Calculul grosimii izolației termice pentru o scădere a temperaturii fluidului transportat

Ecuția de bilanț termic pentru elemental de conductă de lungime dL (figura 6.3) este:

$$d\Phi_1 = d\Phi_2 \quad (6.16)$$

unde: $d\Phi_1$ este fluxul termic elementar pierdut în mediul ambient; se calculează cu relația:

$$d\Phi_1 = \frac{t_f - t_0}{R} \cdot dL \quad (6.17)$$

cu R rezistența termică totală;

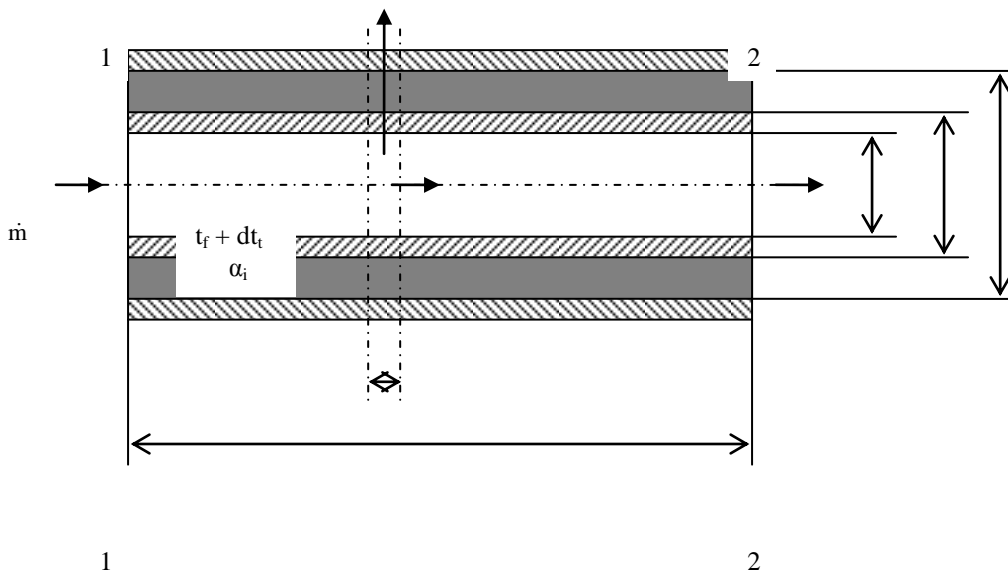


Fig.6.3

$d\Phi_2$ - fluxul termic elementar cedat de fluid (temperatura se micșorează cu dt_f);
 se calculează cu relația:

$$d\Phi_2 = -\dot{m} \cdot c_p \cdot dt_f \quad (6.18)$$

Rezultă:

$$\frac{t_f - t_0}{R} \cdot dL = -\dot{m} \cdot c_p \cdot dt_f \quad (6.19)$$

$$\frac{dt_f}{t_f - t_0} = - \frac{dL}{\dot{m} \cdot c_p \cdot R} \quad (6.20)$$

Prin integrare

$$\int_{t_{f1}}^{t_{f2}} \frac{dt_f}{t_f - t_0} = - \int_0^L \frac{dL}{\dot{m} \cdot c_p \cdot R} \quad (6.21)$$

Se obține:

$$\ln \frac{t_{f1} - t_0}{t_{f2} - t_0} = \frac{L}{\dot{m} \cdot c_p \cdot R} \quad (6.22)$$

Rezistența termică totală va fi:

$$R = R_i + R_p + R_{iz} + R_{sp} + R_e = \frac{L}{\dot{m} \cdot c_p \cdot \ln \frac{t_{f1} - t_0}{t_{f2} - t_0}} \quad (6.23)$$

Grosimea stratului de izolație termică:

$$\ln \frac{d_{iz}}{d_e} = 2 \cdot \pi \cdot \lambda_{iz} \cdot \left(\frac{L}{\dot{m} \cdot c_p \cdot \ln \frac{t_{f1} - t_0}{t_{f2} - t_0}} - R_i - R_p - R_{sp} - R_e \right) \quad (6.24)$$

de unde:

$$\delta_{iz} = 0,5 \cdot d_e \cdot \left(\frac{d_{iz}}{d_e} - 1 \right) \quad [m] \quad (6.25)$$

Capitolul 7

TRANSFERUL DE MASĂ

Dacă un sistem este alcătuit din unul sau mai mulți componenți în care concentrația variază de la un loc la altul, există tendința naturală de echilibrare a concentrației prin transportul masei din zonele cu concentrații mai ridicate către cele cu concentrații mai reduse. Intensitatea procesului depinde de gradientul concentrației și de rezistența opusă de mediu procesului de transfer.

Transferul de masă poate apare atât în faza gazoasă, cât și în faza lichidă, în sistemele gaz-lichid, vapori-lichid, lichid-lichid, cu sau fără transfer simultan de căldură și impuls. Aplicațiile tehnice mai importante ale transferului de masă sunt absorbția de gaz, absorbția unui lichid într-un solid absorbant, distilarea, extracția de lichid, umidificarea etc.

Transferul de masă se face în două moduri:

- transferul de masă prin difuzie moleculară, analog cu transferul de căldură prin conducție termică sau cu transferul de impuls în curgere laminară. Se datorește tendinței naturale de reducere a diferenței de concentrație dintr-un fluid prin mișcarea dezordonată a moleculelor sau atomilor care alcătuiesc fluidul;

- transferul de masă prin difuzie turbulentă, analog transferului de căldură prin convecție termică. Reprezintă transferul de masă de la o suprafață solidă către un fluid în mișcare sau între două fluide nemiscibile în mișcare relativă. Fenomenul depinde de proprietățile de transport ale fluidului și de caracteristicile hidrodinamice ale procesului.

7.1. Parametrii caracteristici transferului de masă

Concentrația unui component A este raportul dintre masa componentului și volumul total al amestecului. Funcție de felul în care se exprimă masa componentului, avem:

- concentrația de masă:

$$\rho_A = \frac{m_A}{V} \text{ [kg/m}^3\text{] ,} \quad (7.1)$$

cu m_A [kg] , masa componentului;

- concentrația molară:

$$c_A = \frac{\rho_A}{M_A} \text{ [kmol/m}^3\text{] ,} \quad (7.2)$$

cu M_A [kg/kmol] , masa molară a componentului

Gradientul concentrației, definit în mod similar cu gradientul de temperatură, reprezintă variația elementară a concentrației componentului A cu distanța, pe direcția sa de difuzie :

$$\text{grad } \rho_A = \frac{\partial \rho_A}{\partial x} \quad [\text{kg/m}^3 \cdot \text{m}] \quad (7.3)$$

Viteza. Fiecare component din amestec are o viteză de difuzie proprie care complică problema determinării vitezei amestecului. Se definește:

- o viteză medie masică, funcție de densitățile masice, ρ_i și vitezele componentelor, w_i , ca o medie ponderată dată de relația:

$$w = \frac{\sum_{i=1}^n \rho_i \cdot w_i}{\rho} \quad [\text{m/s}] \quad (7.4)$$

- o viteză medie molară, funcție de concentrațiile molare ale componentelor, c_i :

$$w = \frac{\sum_{i=1}^n c_i \cdot w_i}{c} \quad [\text{m/s}] \quad (7.5)$$

Fluxul masic, q_m , este raportul dintre debitul masic, Q_m [kg/s], și aria suprafeței de transfer de masă, S [m²]:

$$q_m = \frac{Q_m}{S} = \frac{\Delta Q_m}{S \cdot \Delta \tau} \quad [\text{kg/m}^2 \cdot \text{s}] \quad (7.6)$$

Fluxul masic unitar, n_{Az} , [kg/m²·s], raportat la un sistem fix de axe, are două componente:

- $q_{mA} = - \rho \cdot D_{AB} \cdot \nabla g_A$ - fluxul masic relativ - contribuția gradientului de concentrație;

- $\rho A \cdot w = g_A \cdot (n_A + n_B)$ – contribuția deplasării amestecului.

Rezultă :

$$N_A = - \rho \cdot D_{AB} \cdot \nabla g_A + g_A \cdot (n_A + n_B) \quad (7.7)$$

7.2. Legile transferului de masă

7.2.1. Legea lui Fick

Legea de bază a difuziei moleculare este legea lui Fick: fluxul de substanță A care difuzează într-un sistem izoterm și izobar este proporțional cu gradientul concentrației.

Pentru difuzia unidirecțională în direcția z, legea lui Fick este :

$$J_{Az} = -D_{AB} \cdot \frac{dc_A}{dz} \quad [\text{kmol/m}^2 \cdot \text{s}] , \quad (7.8)$$

unde: J_{az} - este fluxul molar în direcția z, raportat la viteza medie molară;

$\frac{dc_A}{dz}$ - gradientul concentrației molare în direcția z;

D_{AB} - factor de proporționalitate, numit coeficient de difuzie, pentru componentul A care difuzează prin componentul B.

Semnul (-) arată că difuzia se face în sensul scăderii concentrației.

7.3. Ecuația diferențială a transferului de masă

Pentru stabilirea ecuației diferențiale a transferului de masă, se scrie o ecuație de bilanț de substanță pentru un volum elementar de control (fig.7.1).

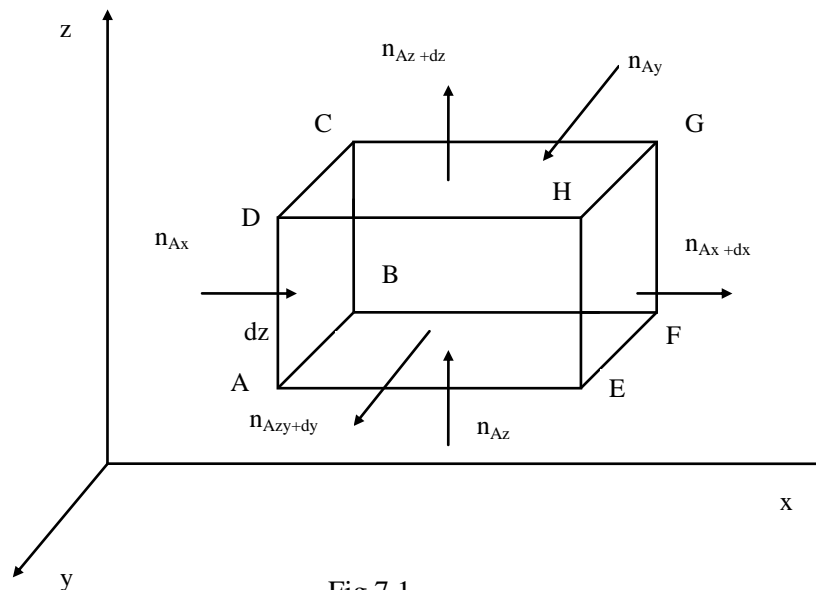


Fig.7.1

Se consideră un volum elementar $dV = dx \cdot dy \cdot dz$, într-un sistem de axe rectangulare, prin care curge un amestec care conține componentul A.

Legea conservării masei în volumul elementar arată că:

Viteza de variație a cantității de component A din volum = Variația fluxului de substanță care străbate suprafața volumului + Viteza de generare a substanței în interiorul volumului elementar

- Viteza de variație a cantității de component A din volum este $\frac{\partial \rho_A}{\partial \tau} \cdot dV$.
- Variația fluxului de substanță care străbate suprafața exterioară a volumului elementar se determină luând separat fiecare suprafață de control:
 - direcția x: $n_{Ax} \cdot dy \cdot dz|_x - n_{Ax} \cdot dy \cdot dz|_{x+dx}$
 - direcția y: $n_{Ay} \cdot dx \cdot dz|_y - n_{Ay} \cdot dx \cdot dz|_{y+dy}$
 - direcția z: $n_{Az} \cdot dx \cdot dy|_z - n_{Az} \cdot dx \cdot dy|_{z+dz}$
- Viteza de generare a substanței în volumul elementar prin intermediul unor reacții chimice sau nucleare este $q_{mv,A} \cdot dV$.

Rezultă:

$$\frac{\partial \rho_A}{\partial \tau} \cdot dV = n_{Ax} \cdot dy \cdot dz|_x - n_{Ax} \cdot dy \cdot dz|_{x+dx} + n_{Ay} \cdot dx \cdot dz|_y - n_{Ay} \cdot dx \cdot dz|_{y+dy} + n_{Az} \cdot dx \cdot dy|_z - n_{Az} \cdot dx \cdot dy|_{z+dz} + q_{mv,A} \cdot dV \quad (7.9)$$

Impărțind cu volumul $dV = dx \cdot dy \cdot dz$ și reducând termenii asemenea, se obține:

$$\frac{n_{Ax}|_{x+dx} - n_{Ax}|_x}{dx} + \frac{n_{Ay}|_{y+dy} - n_{Ay}|_y}{dy} + \frac{n_{Az}|_{z+dz} - n_{Az}|_z}{dz} + \frac{\partial \rho_A}{\partial \tau} - q_{mv,A} = 0 \quad (7.10)$$

relație, care pusă sub formă diferențială, devine:

$$\frac{\partial}{\partial x} n_{Ax} + \frac{\partial}{\partial y} n_{Ay} + \frac{\partial}{\partial z} n_{Az} + \frac{\partial \rho_A}{\partial \tau} - q_{mv,A} = 0 \quad (7.11)$$

sau:

$$\nabla n_A + \frac{\partial \rho_A}{\partial \tau} - q_{mv,A} = 0 \quad (7.12)$$

- ecuația de continuitate pentru componentul A.

In mod similar, se poate scrie ecuația de continuitate pentru componentul B :

$$\nabla n_B + \frac{\partial \rho_B}{\partial \tau} - q_{mv,B} = 0 \quad (7.13)$$

Adunând relațiile (7.12) și (7.13), rezultă:

$$\nabla(n_A + n_B) + \frac{\partial(\rho_A + \rho_B)}{\partial \tau} - (q_{mv,A} + q_{mv,B}) = 0 \quad (7.14)$$

Pentru un amestec de doi componenți, există relațiile :

$$N_A + n_B = \rho_A \cdot w_A + \rho_B \cdot w_B = \rho \cdot w \quad (7.15)$$

$$\rho_A + \rho_B = \rho \quad (7.16)$$

$$q_{mv,A} = - q_{mv,B} , \quad (7.17)$$

deoarece generarea componentului A se face pe seama epuizării componentului B.

Se obține ecuația de continuitate pentru amestec:

$$\nabla(\rho \cdot w) + \frac{\partial \rho}{\partial \tau} = 0 , \quad (7.18)$$

ecuație identică cu ecuația de continuitate pentru curgerea unui fluid omogen.

7.4. Transferul de masă convectiv

Transferul de masă convectiv sau prin difuzie turbulentă implică transportul de substanță între o suprafață și un fluid în mișcare sau între două fluide nemiscibile în mișcare relativă. Mecanismul transferului de masă convectiv necesită și transferul de masă prin difuzie moleculară prin stratul de fluid stagnant și, respectiv, prin stratul de fluid în mișcare laminară. Dacă fluidul curge turbulent, există o deplasare a unor particule de fluid transversal pe liniile de curent care accelerează transferul de substanță. Rezistența care controlează intensitatea procesului de transfer de masă este rezistența de valoare maximă care se localizează în procesul de difuzie moleculară din filmul de fluid stagnant sau laminar.

7.4.1. Ecuația de bază. Relații criteriale

Ecuația de bază a transferului de masă convectiv (prin difuzie turbulentă) este asemănătoare legii lui Newton pentru transferul de căldură prin convecție:

$$n_A = k_c \cdot (\rho_{Ai} - \rho_A) \text{ [kg/m}^2 \cdot \text{s]} , \quad (7.19)$$

unde: n_A - fluxul masic unitar de component A care părăsește interfața solid-fluid;

k_c , m/s - coeficientul de transfer de masă;

ρ_{Ai} , kg/m³ - concentrația substanței A care difuzează la interfață;

ρ_A , kg/m³ - concentrația substanței A în fluid la o distanță de interfață egală cu grosimea stratului limită de concentrație.

Pentru determinarea coeficientului de transfer de masă convectiv se folosesc patru metode principale:

- analiza dimensională, urmată de cercetări experimentale;
- analiza exactă a stratului limită;
- analiza aproximativă a stratului limită;
- analogia dintre transferul de masă, impuls și energie.

Cea mai utilizată metodă este analiza dimensională, prezentată în capitolul Convecția termică.

În calculul transferului de masă se utilizează o serie de criterii adimensionale, dintre care cele mai importante sunt:

- **criteriul Schmidt**, Sc : raportul dintre difuzivitatea moleculară a impulsului și difuzivitatea moleculară a masei:

$$Sc = \frac{v}{D_{AB}} = \frac{\eta}{\rho \cdot D_{AB}} \text{ - analog criteriului Prandtl.}$$

- **criteriul Lewis**, Le : raportul dintre difuzivitatea moleculară a căldurii și a masei:

$$Le = \frac{\lambda}{\rho \cdot c_p \cdot D_{AB}} = \frac{a}{D_{AB}}$$

- **criteriul Sherwood**, Sh : raportul dintre rezistența la transferul de masă convectiv și rezistența la transferul de masă molecular al fluidului:

$$Sh = \frac{k_c \cdot L}{D_{AB}} \text{ - analog criteriului Nusselt,}$$

unde, L este lungimea caracteristică.

Ecuțiile criteriale utilizate sunt de forma:

$Sh = f(Re, Sc)$ - pentru convecția forțată

$Sh = f(Gr^*, Sc)$ - pentru convecția naturală, unde criteriul Grashof se calculează cu relația $Gr = \frac{L^3 \cdot \Delta \rho_A}{\rho \cdot \nu^2}$.

CUPRINS

INTRODUCERE	1
Mărimi caracteristice transferului de căldură	1
Modurile elementare de transfer de căldură	3
Cap.1. CONDUȚIA TERMICA	5
1.1. Ecuațiile diferențiale ale conducției termice	5
1.2. Condiții de determinare univocă a conducției termice	6
1.3. Conducția termică în regim staționar prin corpuri fără surse interioare de căldură	8
A. Perete plan	8
Condiții la limită de speța I-a	8
Condiții la limită de speța a III-a	10
Condiții la limită de speța a IV-a	11
Condiții la limită de speța a II-a	14
B. Perete cilindric	16
Condiții la limită de speța I-a	16
Condiții la limită de speța a III-a	18
Condiții la limită de speța a IV-a	19
Condiții la limită de speța a II-a	22
C. Perete sferic	25
Condiții la limită de speța I-a	25
Condiții la limită de speța a III-a	26
Condiții la limită de speța a IV-a	28
Cap.2. CONVECȚIA TERMICĂ	30
2.1. Factorii care influențează transferul de căldură prin convecție	30
2.2. Legea lui Newton. Coeficientul de convecție	31
2.3. Metode aplicate în studiul convecției termice	32
2.4. Convecția termică fără schimbarea stării de agregare a fluidelor	37
2.4.1. Convecția liberă	37
Convecția liberă în spațiu nelimitat	37
Convecția liberă în spațiu limitat	39
2.4.2. Convecția forțată	41
2.4.2.1. Convecția forțată la curgerea fluidelor prin conducte (țevi)	41
2.4.2.2. Convecția forțată la curgerea fluidelor prin canale	43
Convecția forțată la curgerea fluidelor prin canale inelare	43
Convecția forțată la curgerea fluidelor prin canale de secțiune dreptunghiulară	44
Convecția forțată la curgerea fluidelor prin canale de secțiune pătrată	44
Convecția forțată la curgerea fluidelor prin spațiul dintre corpul aparaturii și fasciculul de țevi	45
2.4.2.3. Convecția forțată la curgerea fluidelor peste o țevă singulară	45
2.4.2.4. Convecția forțată la curgerea fluidelor peste un fascicul de țevi netede	46

2.4.2.5. Convecția forțată la curgerea peliculară a lichidelor pe suprafețe verticale	47
2.5. Convecția termică cu schimbarea stării de agregare a fluidelor	48
2.5.1. Condensare	48
2.5.2. Fierbere (vaporizare)	48
Cap.3. RADIAȚIA TERMICA	50
3.1. Mărimi caracteristice radiației termice	50
3.2. Legile radiației termice	51
3.3. Transferul de căldură prin radiație între un corp și un gaz	53
3.4. Transferul de căldură prin radiație între două suprafețe plane paralele separate printr-un mediu transparent radiației termice	54
Cap.4. TRANSFERUL TOTAL DE CALDURA	56
4.1. Intensificarea transferului de căldură	61
4.1.1. Intensificarea transferului de căldură prin creșterea coeficientului total de transfer de căldură	61
4.1.2. Intensificarea transferului de căldură prin creșterea suprafeței de transfer de căldură	62
a) Cazul peretelui plan cu nervuri de secțiune constantă	63
b) Cazul peretelui cilindric cu nervuri de secțiune constantă	65
Cap.5. APARATE SCHIMBATOARE DE CALDURA	68
5.1. Clasificarea aparatelor schimbătoare de căldură	68
5.2. Calculul termic al aparatelor schimbătoare de căldură	70
5.2.1. Calculul diferenței medii logaritmice de temperatură	71
5.2.2. Temperaturile medii ale fluidelor	80
5.3. Indicatori de calitate ai aparatelor schimbătoare de căldură	80
5.4. Alegerea tipului de aparat schimbător de căldură	84
Cap.6. TRANSFERUL DE MASA	86
6.1. Parametrii caracteristici transferului de masă	86
6.2. Legile transferului de masă	87
6.2.1. Legea lui Fick	87
6.3. Ecuația diferențială a transferului de masă	88
6.4. Transferul de masă convectiv	90
6.4.1. Ecuația de bază. Relații criteriale	90
CUPRINS	92
BIBLIOGRAFIE	94
TESTE	95
RASPUNSURI	98

BIBLIOGRAFIE

1. Arădău, D., s.a., Termotehnică, Indrumar de laborator, Universitatea din Galati, 1989
2. Gociu, Gh., Transmiterea căldurii, Universitatea din Galati, 1984
3. Ștefănescu, D., s.a., Transferul de căldură în tehnică. Culegere de probleme, Vol.I si II, Ed. Tehnică, Bucuresti, 1986
4. Ștefănescu, D., s.a., Transferul de căldură și masă. Teorie și aplicații, E.D.P., București, 1986
5. Miron, V., Aparate schimbătoare de căldură. Recomandări privind calculul termic, Ed. Evrica, Brăila, 1999
6. Miron, V., Izolații termice, Ed. Evrica, Brăila, 1999
7. Leca, A., sa. Procese de transfer de căldură, Ed. Tehnică, București, 2000
8. Miron, V., Paraschiv, Simona, Paraschiv, Spiru, Transfer de căldură. Indumar de laborator, Editura Fundației Universitare « Dunărea de Jos », Galati, 2006